

PROGETTO:

## Sistema per parapetti in vetro Defender DF810FR (CH)

CONTENUTO:

### 01 Determinazione della resistenza del sistema tramite calcolo statico

REV.: 00

DATA: 15/12/2023

Committente:

Logli Massimo S.p.A

Via Giovanni Bensi, 8

I - 20152 Milano

**solidic**

STRUCTURAL ENGINEERING

Via Nicolodi 39

I-39100 Bolzano (BZ)

T +39 0471 180 00 23

info@solidic.it

www.solidic.it

Tecnico

DI Felix Bertagnolli



*Felix Bertagnolli*

## Modifiche

REV.	Data	Tecnico	Commenti
00	15/12/2023	BF	Prima Edizione

## INDICE

1 Premessa .....	5
1.1 Descrizione .....	5
1.2 Luogo di installazione .....	8
1.3 Vita nominale .....	8
1.4 Schema statico.....	8
1.5 Stati limite considerati .....	8
1.6 Sicurezza anticaduta - Prova del pendolo.....	8
1.7 Geometria .....	9
1.8 Principi normativi - Svizzera .....	13
1.8.1     Generale .....	13
1.8.2     Alluminio.....	13
1.8.3     Strutture in vetro .....	13
1.9 Coefficienti parziali per le azioni o per l'effetto delle azioni .....	13
1.10 Durabilità secondo EN 1990 2.4 .....	13
1.11 Programmi utilizzati.....	14
2 Materiali.....	15
2.1 Alluminio secondo EN 1999-1-1 .....	15
2.2 Vetro secondo SIA 2057-2021 .....	17
2.3 Intercalare.....	18
2.3.1     PVB.....	18
2.3.2     Intercalare SGP .....	20
3 Carichi .....	21
3.1 Sovraccarichi lineari orizzontali.....	21
3.2 Combinazione dei sovraccarichi lineari orizzontali con l'azione del vento .....	22

4 Calcolo statico.....	23
4.1 Dimensionamento del vetro.....	23
4.1.1 Generale .....	23
4.1.2 Dimensionamento del vetro tramite il programma di calcolo Mepla .....	27
4.1.3 Tabelle dei risultati - Dimensionamento vetro DF810FR - Carichi verso l'esterno	34
4.1.4 Tabelle dei risultati - Dimensionamento vetro DF810FR - Carichi verso l'interno	41
4.2 Dimensionamento del profilo in alluminio estruso.....	46
4.2.1 Informazioni generali.....	46
4.2.2 Tabelle dei risultati - Dimensionamento del profilo DF810FR - Carichi verso l'esterno	48
4.2.3 Tabelle dei risultati - Dimensionamento del profilo DF810FR - Carichi verso l'interno	50
5 Riepilogo dei risultati del dimensionamento del vetro e del profilo .....	52
5.1 Carico del vento aggiuntivo wk al sovraccarico lineare orizzontale .....	52
5.1.1 Risultati basati sulla resistenza ultima del vetro e del profilo.....	52
5.1.2 Risultati basati sulla limitazione della deformazione del vetro.....	55
5.2 Conclusioni - applicazione per carico lineare orrizontale .....	57
5.2.1 Risultati basati sulla resistenza ultima del vetro e del profilo.....	57
5.2.2 Risultati basati sulla limitazione della deformazione del vetro.....	59
5.3 Forze sugli ancoranti .....	60
Allegati - Calcolo numerico .....	62
a) Fondamenti di calcolo .....	62
b) Risultati del calcolo numerico DF810FR .....	67

## 1 Premessa

### 1.1 Descrizione

Nelle seguenti pagine viene documentata la determinazione della portata massima del parapetto **Defender DF810FR** prodotto dalla ditta Massimo Logli per l'utilizzo in Svizzera. Il calcolo del sistema per parapetti (vetro + profilo di base in alluminio) viene eseguito in conformità alle normative vigenti in Svizzera e allo stato dell'arte. Il parapetto corrisponde alla categoria 1 B vincolata sulla parte inferiore, secondo la norma **SIA-2057-2021**. I calcoli statici sono stati eseguiti tenendo conto di un'altezza variabile del parapetto da 600 mm a 1600 mm per un carico lineare applicato sull'estremità superiore del parapetto pari a 0.8 kN/m e 1.6 kN/m nella direzione di caduta, nonché 0.40 kN/m e 0.80 kN/ sulla direzione opposta secondo la norma **SIA 261-2020**. La larghezza minima del vetro considerata nei calcoli è di 500 mm. In situazioni di installazione di protezione anticaduta devono essere rispettate anche le dimensioni minimi e massime definite nel certificato di costruzione **AbP-P-2023-3022** (sicurezza anticaduta).

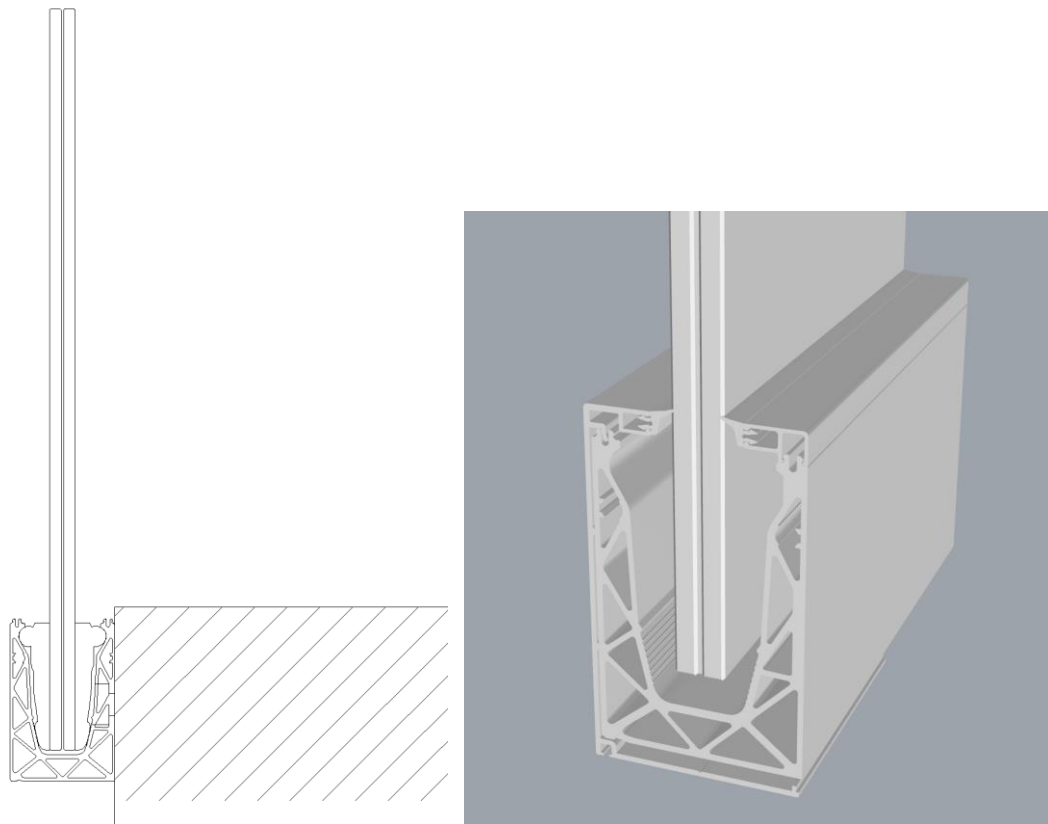
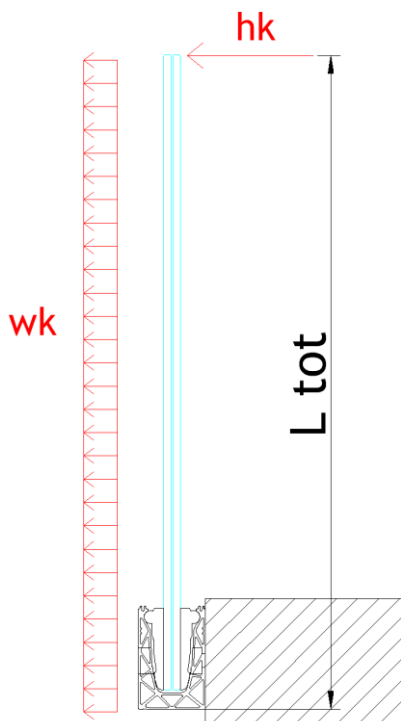


Fig.: sistema per parapetti *Defender DF810FR*

L'altezza di riferimento  $L_{tot}$  riportata sulle tabelle e nei grafici dei risultati DF810FR si riferisce alla distanza dal bordo superiore del vetro alla struttura portante su cui è fissato il profilo, come da immagine sotto riportata.



Le stratigrafie oggetto del calcolo, da installare sul profilo Defender DF810FR sono le seguenti:

- Vetro stratificato di sicurezza: composto da 8+8 Temperato + 0.76 mm Intercalare PVB
- Vetro stratificato di sicurezza: composto da 10+10 Temperato + 0.76 mm Intercalare PVB
- Vetro stratificato di sicurezza: composto da 8+8 Temperato + 0.76 mm Intercalare SGP
- Vetro stratificato di sicurezza: composto da 10+10 Temperato + 0.76 mm Intercalare SGP

**Si raccomanda l'uso di vetro temperato HST.**

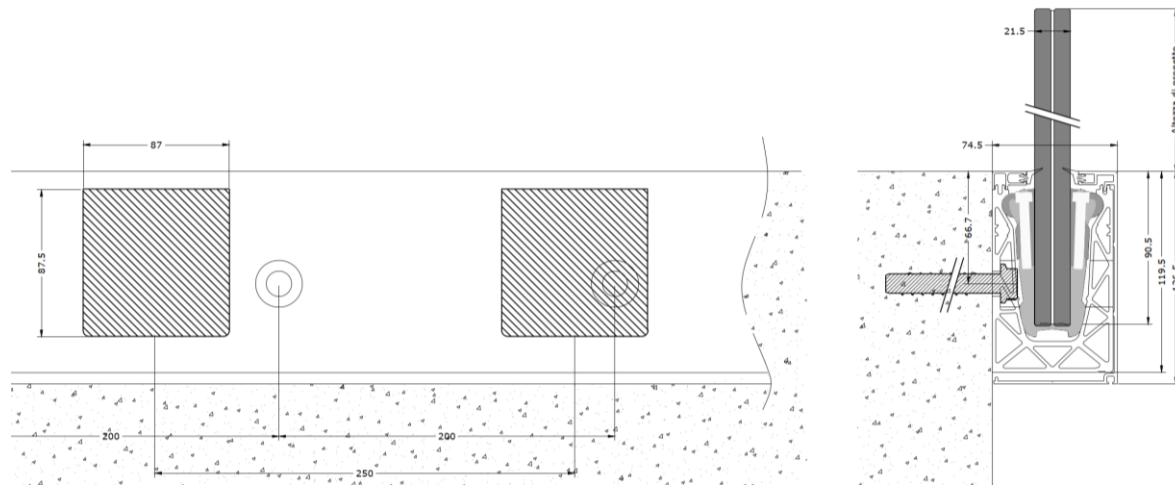
**Il sovraccarico lineare orizzontale, la scelta della stratigrafia delle lastre ed il concetto di rottura per il sistema Defender 810, fanno riferimento ad ambienti non suscettibili di affollamento fino a un carico pari a  $hk \leq 1,60 \text{ kN/m}$ .**

La progettazione non tiene conto dei trattamenti superficiali sulle lastre. L'uso di vetro smaltato o serigrafato deve essere verificato separatamente e non è incluso nel presente

calcolo. In conformità alla norma SIA-2057-2021, non è stato rispettato alcun trasferimento di taglio tra le lastre durante la progettazione delle stratigrafie contenenti intercalare PVB. Viene quindi utilizzato il metodo di calcolo semplificato contenuto nella sopra citata norma.

Mentre per le stratigrafie contenenti intercalare SGP, il trasferimento di taglio viene rispettato a seconda della categoria d'uso dell'ambiente dove viene installato il parapetto e della temperatura dell'intercalare secondo il benestare tecnico AbZ-Z-70.3-253 (fare riferimento ai capitoli corrispondenti riportati di seguito).

Il fissaggio della lastra di vetro stratificato sul profilo in alluminio avviene tramite morsetti in plastica locali, da posizionare con un interasse pari a o inferiore a 250mm. Inoltre, deve essere mantenuta una distanza pari o inferiore a 125mm tra i bordi del profilo estruso e i morsetti in plastica. Ciò è quanto si è tenuto conto nella progettazione delle lastre tramite l'applicazione di supporti lineari locali.



Il profilo DF810FR in alluminio estruso è realizzato in lega di alluminio EN AW6063-T6. Quest'ultimo deve essere fissato alla struttura portante mediante tasselli o altri idonei dispositivi di fissaggio meccanici con interasse massimo pari a 200mm.

**La verifica degli ancoranti non fa parte di questo documento e deve essere eseguita da un tecnico qualificato in base alle condizioni di installazione per il singolo progetto.**

In conformità con la norma SIA-2057-2021e AbP-P-2023-3022, tutti i bordi del parapetto devono essere protetti. La distanza massima tra i vetri deve essere inferiore o uguale a 30 mm. Deve essere previsto un **corrimano o una protezione dei bordi** sul bordo superiore del vetro. Tutti i requisiti indicati sul certificato di costruzione AbP devono essere rispettati.

La situazione di rottura della singola lastra viene verificata in conformità alla norma SIA-2057-2021, sezione 4.6, per lo stato di rottura NB3A., ed inclusa nelle tabelle e nei grafici dei risultati (minimo dal calcolo nello SLU e rottura della lastra). Poiché tutti i bordi devono essere protetti, viene presa in considerazione come situazione di carico eccezionale, solamente la rottura della lastra posizionata sul lato dell'impatto.

La determinazione, la valutazione e la combinazione dei sovraccarichi orizzontali, dei carichi del vento o di qualsiasi altro carico nonché la verifica dell'altezza del parapetto secondo le norme edilizie, deve essere eseguita da un tecnico qualificato. Inoltre, il dimensionamento degli elementi di fissaggio e l'idoneità generale del parapetto per la situazione di installazione deve essere eseguito da un tecnico qualificato sulla base del progetto esecutivo, in conformità alle norme europee e Svizzere attualmente in vigore.

## 1.2 Luogo di installazione

Svizzera

## 1.3 Vita nominale

50 anni - Costruzioni con livelli di prestazioni ordinari

## 1.4 Schema statico

Lo schema statico utilizzato per il calcolo del parapetto corrisponde ad una trave a sbalzo vincolata alla base tramite due supporti.

## 1.5 Stati limite considerati

Nel calcolo documentato di seguito, vengono presi in considerazione i seguenti stati limite:

**Stato Limite Ultimo** - (carico statico)

## 1.6 Sicurezza anticaduta - Prova del pendolo

La sicurezza contro le cadute (prova d'urto con pendolo - urto morbido) viene garantita tramite prove in laboratorio, i quali risultati sono riportati nel certificato di costruzione P-2023-3022. Tutti i requisiti indicati nel suddetto documento devono essere rispettati.

## 1.7 Geometria

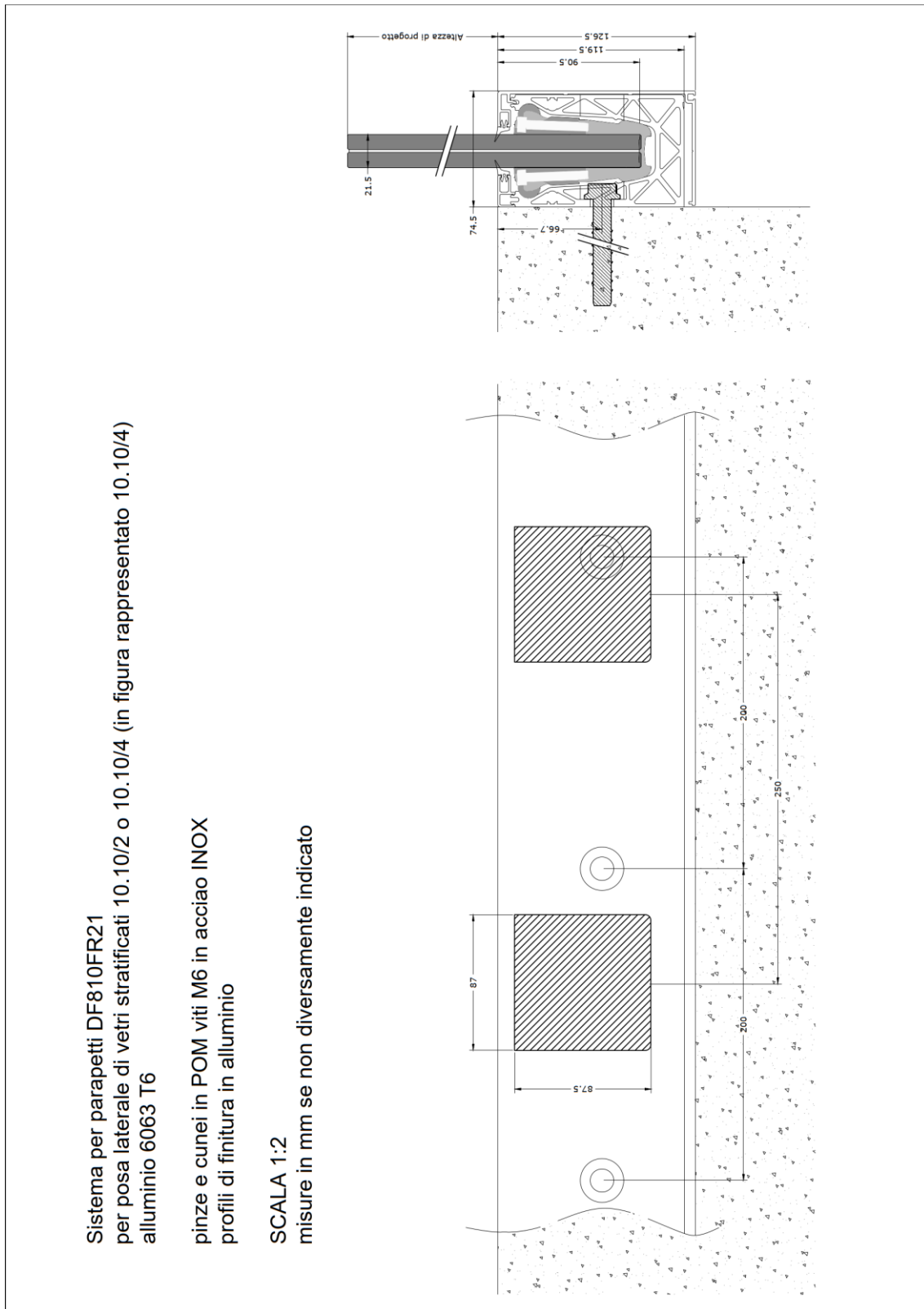


Fig.: sistema per parapetti DF810FR21

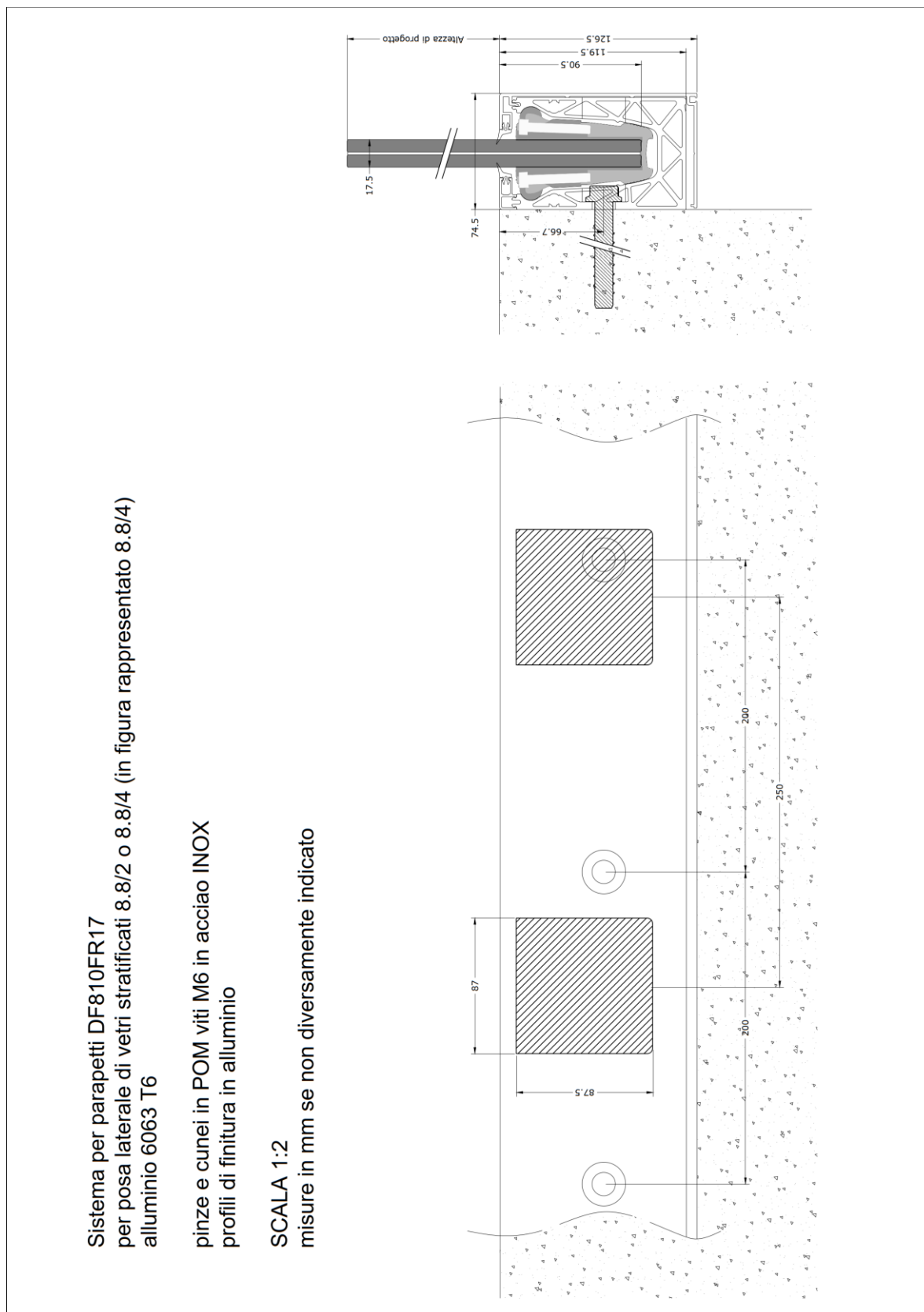
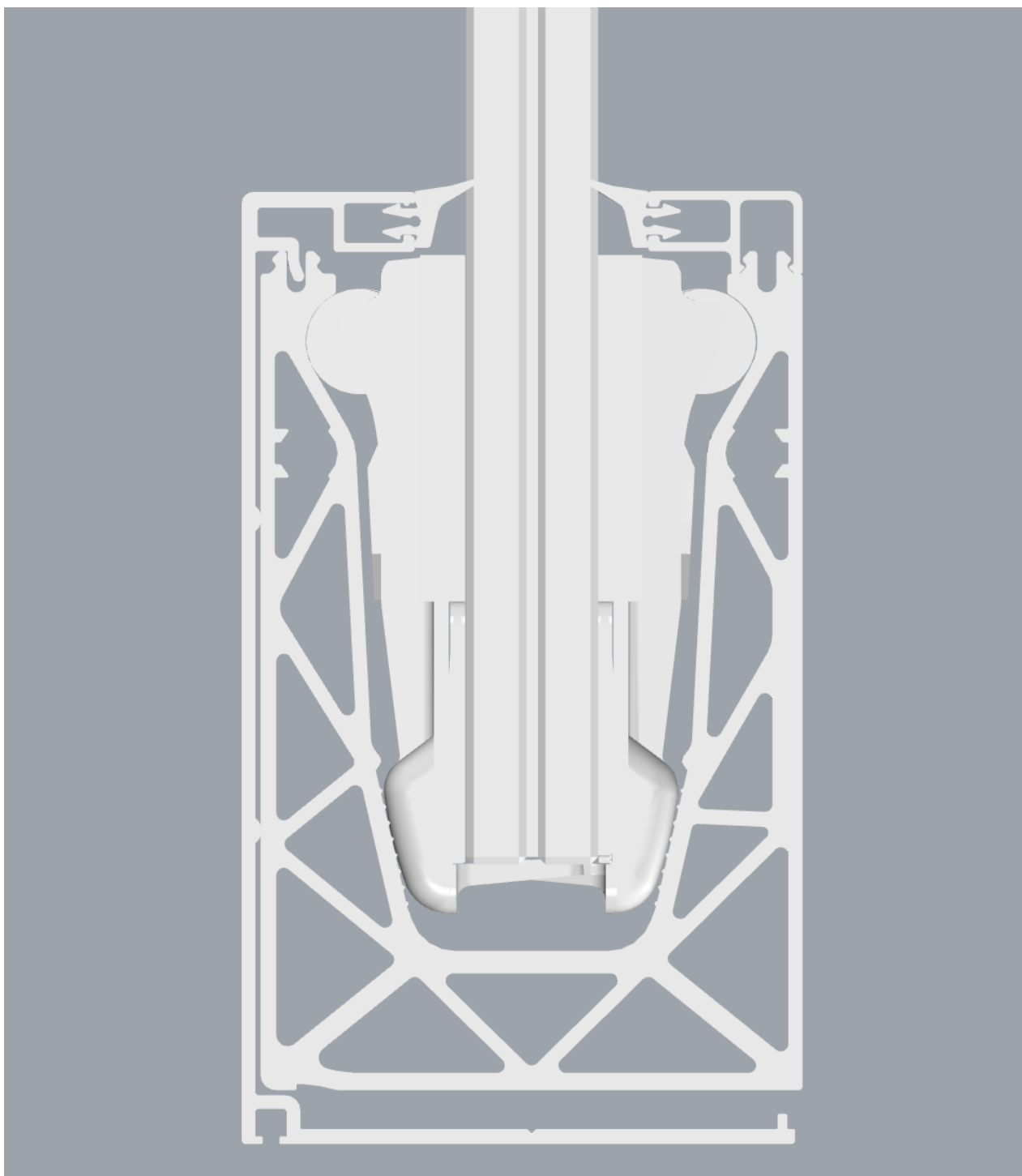
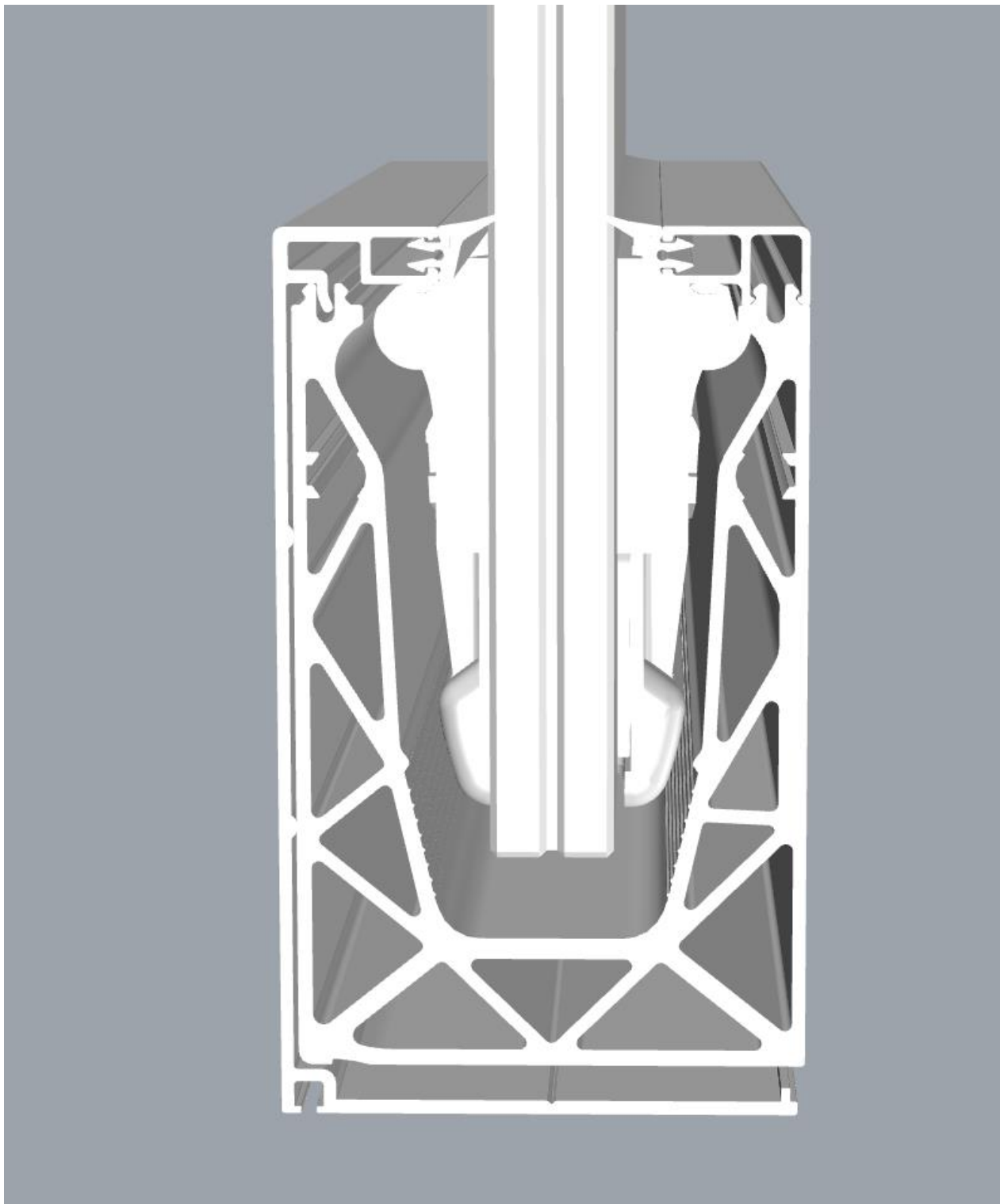


Fig.: sistema per parapetti DF810FRF17



*Fig.: sezione DF810FR*



*Fig.: vista isometrica DF810FR*

## 1.8 Principi normativi - Svizzera

### 1.8.1 Generale

SIA 260:2013	Criteri generali di progettazione strutturale	08.2013
SIA 261:2020	Azioni sulle strutture	08.2020

### 1.8.2 Alluminio

#### Eurocodice 9: Progettazione delle strutture in alluminio

DIN EN 1999-1-1	Parte 1-1: Regole strutturali generali	03.2014
-----------------	--	---------

### 1.8.3 Strutture in vetro

SIA 2057:2021	Strutture in vetro	08.2021
---------------	--------------------	---------

## 1.9 Coefficienti parziali per le azioni o per l'effetto delle azioni

I coefficienti parziali di sicurezza vengono applicati in modo che l'azione causata risulti sfavorevole nella verifica di resistenza.

Coefficienti parziali considerati sulle azioni

- Carichi permanenti      1.35/1.00
- Carichi variabili        1.50/0.00

## 1.10 Durabilità secondo EN 1990 2.4

L'utilizzo dei componenti descritti nel presente documento e la loro durata di vita devono essere presi in considerazione nella progettazione e nella scelta della protezione anticorrosione. È necessario garantire l'ispezione e la manutenzione dei singoli componenti e assicurare una protezione anticorrosione permanente.

## 1.11 Programmi utilizzati

Programma	Sviluppatore	Versione
Sofistik	Sofistik AG	2023
SMath Studio	SMath	1.0.8253
SJ Mepla	SJ Software GmbH	5.0.14
Microsoft Excel	Microsoft	365

## 2 Materiali

### 2.1 Alluminio secondo EN 1999-1-1

Caratteristiche del materiale per la lega EN AW 6063-T6 ed EP (profili estrusi) utilizzata per il profilo di base con spessore inferiore o uguale a 25mm:

Modulo di elasticità:	$E=70000 \text{ N/mm}^2$
Numero di Poisson:	$\nu=0.30$
Coefficiente di dilatazione termica:	$\alpha=23*10^{-6} \text{ 1/K}$
Densità:	$\rho=2700 \text{ kg/m}^3$
Punto di snervamento:	$f_{ok}=160 \text{ N/mm}^2$
Resistenza a trazione:	$f_{uk}=195 \text{ N/mm}^2$
Coefficiente parziale sul lato materiale:	$\gamma_m=1.10$

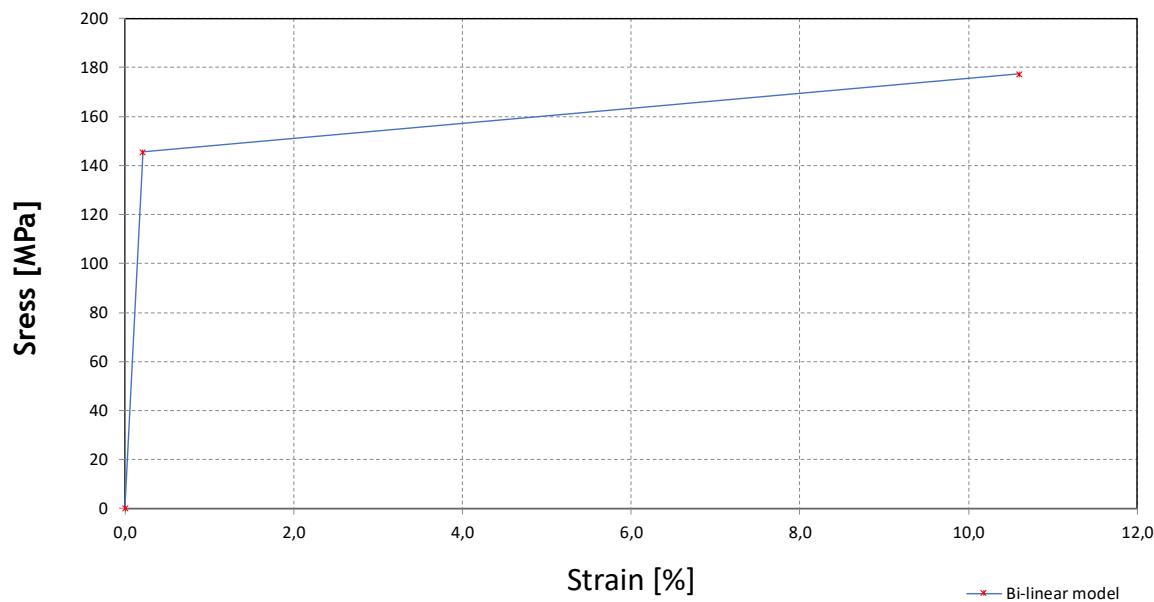
Nel calcolo del profilo tramite elementi finiti, viene utilizzata una legge materiale elastoplastica bilineare con incrudimento.

## Stress - Strain curves According to EN 1999-1-1 Annex E

Standard	Material	$\gamma_m$	E	$f_o = f_y$	$f_{Max} = f_u$	$f_{od}$	$f_{ud}$
DIN-EN 1999-1-1	EN AW 6063 T6 $t \leq 25$	[ - ]	[N/mm <sup>2</sup> ]	[N/mm <sup>2</sup> ]	[N/mm <sup>2</sup> ]	[N/mm <sup>2</sup> ]	[N/mm <sup>2</sup> ]

Bi-linear model

## Stress-Strain Curves



## Formulas

$$\sigma = E \times \varepsilon \quad \text{for } 0 \leq \varepsilon \leq \varepsilon_p \quad (\text{E.1})$$

$$\sigma = f_p + E_1 \times (\varepsilon \times \varepsilon_p) \quad \text{for } \varepsilon_p \leq \varepsilon \leq \varepsilon_{max} \quad (\text{E.2})$$

Bi-linear model	
$\sigma$ (MPa)	$\varepsilon$
0	0,0
145,5	0,20779
177,3	10,60000

$$\varepsilon_u = 0,3 - 0,22 \times \frac{f_o}{400} = 21,2 \quad [\%] \quad (\text{E.2.1.1})$$

$$\varepsilon_p = \frac{f_o}{E} = 0,2078 \quad [\%]$$

$$\varepsilon_{max} = 0,5 \times \varepsilon_u = 10,600 \quad [\%]$$

$$E_1 = \frac{(f_u - f_o)}{(\varepsilon_u - \varepsilon_p)} = 2 \quad [\text{N/mm}^2]$$

## 2.2 Vetro secondo SIA 2057-2021

Modulo di elasticità:	E=70000 N/mm <sup>2</sup>
Numero di Poisson:	$\nu=0.23$
Coefficiente di dilatazione termica:	$\alpha=9 \cdot 10^{-6}$ 1/K
Densità:	$\rho=2500$ kg/m <sup>3</sup>

### Valori caratteristici di resistenza a flessione del vetro fk:

Vetro di sicurezza temperato (ESG) secondo EN 12150-1 (2000):	fk=120 N/mm <sup>2</sup>
Vetro temperato (TVG) secondo EN 1863-1 (2011):	fk=70 N/mm <sup>2</sup>
Vetro float (FL) secondo EN 572-1 (2012):	fk=45 N/mm <sup>2</sup>

### Valori di progetto di resistenza di trazione a flessione del vetro fRd:

Non viene rispettato alcun trasferimento di taglio tra le lastre durante la progettazione delle stratigrafie contenenti intercalare PVB.

#### Vetro stratificato di sicurezza composto da vetro temperato

$$f_{g.k.ESG} := 120 \text{ MPa}$$

$$k_{mod} := 1.0$$

$$k_E := 1.0 \quad \text{Per carichi distribuiti}$$

$$k_v := 1.1 \quad \text{Se viene utilizzato il metodo semplificato}$$

$$k_c := 1.0$$

$$\gamma_m := 1.50$$

$$f_{g.d.ESG} := k_{mod} \cdot k_E \cdot k_v \cdot k_c \cdot \frac{f_{g.k.ESG}}{\gamma_m} = 88 \text{ MPa}$$

Valore di resistenza analogo al valore definito dalla norma DIN 18008

## 2.3 Intercalare

### 2.3.1 PVB

Intercalare in polivinile-butirrale (PVB)

Proprietà meccaniche a 23°C:

Carico di rottura > 20 N/mm<sup>2</sup>

Allungamento a rottura > 250 %

Le caratteristiche sopra riportate devono essere confermate dal produttore tramite il certificato di conformità 2.1 secondo EN 10204: 1995-08.

La SIA 2057-2021 non consente per il metodo semplificato di rispettare il trasferimento di taglio tra le lastre con l'utilizzo dell'intercalare PVB se il trasferimento di taglio ha un effetto favorevole sulla verifica.



### 2.3.2 Intercalare SGP

I parametri di rigidezza dell'intercalare SGP sono contenuti nel benestare tecnico AbZ Z-70.3-253, valido fino al 14.04.2025.

Tabelle 1: Kennwerte für Einfachverglasungen

Lastfall		Schubmodul G [N/mm <sup>2</sup> ]	K <sub>VSG<sup>2</sup></sub>	K <sub>mod</sub>
Fassadenbereich	<b>Verglasungen ohne absturzsichernde Funktion</b>			
	Lastfall Wind	100	1	0,7
	<b>Verglasungen mit absturzsichernder Funktion</b>			
	Lastfall horizontale Nutzlast infolge von Personen <sup>3</sup>	4	1	0,7
	Lastfall Holm und Wind	65	1	0,7
Innenbereich	<b>Verglasungen ohne absturzsichernde Funktion</b>			
	Lastfall Wind	100	1	0,7
	<b>Verglasungen mit absturzsichernder Funktion</b>			
	Lastfall Holm	65	1	0,7
	Lastfall Holm und Wind	65	1	0,7
Überkopf- bereich	Lastfall Schnee	60	1	0,4
	Lastfall Wind und Schnee	60	1	0,7
	Lastfall Eigengewicht	0	1,1	0,25

Tabelle 2: Kennwerte für Schubmodule entsprechend der Zwischenschichttemperatur

Zwischenschichttemperatur T [°C]	30	35	40	45	50	55	60
Schubmodul G [N/mm <sup>2</sup> ]	65	30	9	7	4	3	2

Nel calcolo statico vengono analizzate due situazioni di applicazione:

Utilizzo nell'area della facciata (ESTERNO): G<sub>ext</sub>=4 N/mm<sup>2</sup> → E<sub>ext</sub> = G\*2\*(1+v)=11.92 N/mm<sup>2</sup>

Uso interno (INTERNO): G<sub>int</sub>=65 N/mm<sup>2</sup> → E<sub>int</sub> = G\*2\*(1+v)=193.7 N/mm<sup>2</sup>

### 3 Carichi

#### 3.1 Sovraccarichi lineari orizzontali

Secondo la norma SIA 261-2020 i seguenti sovraccarichi orizzontali devono essere applicati in modo sfavorevole come carichi variabili sul corrimano o sul bordo superiore del vetro, a seconda della categoria di utilizzo: 0.8 kN/m und 1.6 kN/m.

Deve essere applicato un sovraccarico lineare orizzontale pari a quanto sopra indicato in direzione della caduta, mentre viene applicato in direzione opposta, la metà del carico applicato in direzione della caduta, come da concetto definito dalla norma DIN 1991-1-1.

- Verso l' esterno: 0.80 kN/m und 1.60 kN/m
- Verso l'interno: 0.40 kN/m und 0.80 kN/m

**Il sovraccarico lineare orizzontale, la scelta della stratigrafia delle lastre ed il concetto di rottura per il sistema Defender 810, fanno riferimento ad ambienti non suscettibili di affollamento fino a un carico pari a  $h_k \leq 1,60$  kN/m.**

#### Holmlasten nach SIA 261 - 2020

Tabelle 20 Charakteristische Werte der horizontalen Kräfte auf Abschrankungen für Personen

Bauwerkstyp	Nutzung		$q_k$ in kN/m
Gebäude	Kategorie	Art der Nutzfläche	
A, B, D	A, B, D	Wohn-, Büro- und Verkaufsflächen	0,8
	C	Versammlungsflächen	1,6 <sup>1)</sup>
	E, F, G	Lager-, Fabrikations-, Park- und Verkehrsflächen	0,8 <sup>2)</sup>
Brücken	alle Verkehrsarten		1,6 <sup>1) 3)</sup>
Dienststege	nicht öffentlich zugänglich		0,4

<sup>1)</sup>  $q_k$  muss auf mindestens 3,0 kN/m erhöht werden, wenn ein Menschengedränge möglich ist.

<sup>2)</sup> Für spezielle Nutzungen von Lager- und Fabrikationsflächen ist  $q_k$  projektspezifisch festzulegen.

<sup>3)</sup>  $q_k$  darf um höchstens 50% reduziert werden, wenn kein Menschengedränge möglich ist.

$$H_{k,ABDEFG} := 0,80 \frac{\text{kN}}{\text{m}}$$

$$H_{k,c} := 1,60 \frac{\text{kN}}{\text{m}} \quad \text{Per ambienti non suscettibili di affollamento}$$

### 3.2 Combinazione dei sovraccarichi lineari orizzontali con l'azione del vento

Il sovraccarico lineare viene combinato con le azioni del vento secondo la norma SIA-260-2013, come riportato di seguito

$$f_{Ed1} = \gamma_Q * f_{hk} + \psi_{0.Wind} * \gamma_Q * f_{wk}$$

$$f_{Ed2} = \gamma_Q * f_{hk} * \psi_{0.Holm} + \gamma_Q * f_{wk}$$

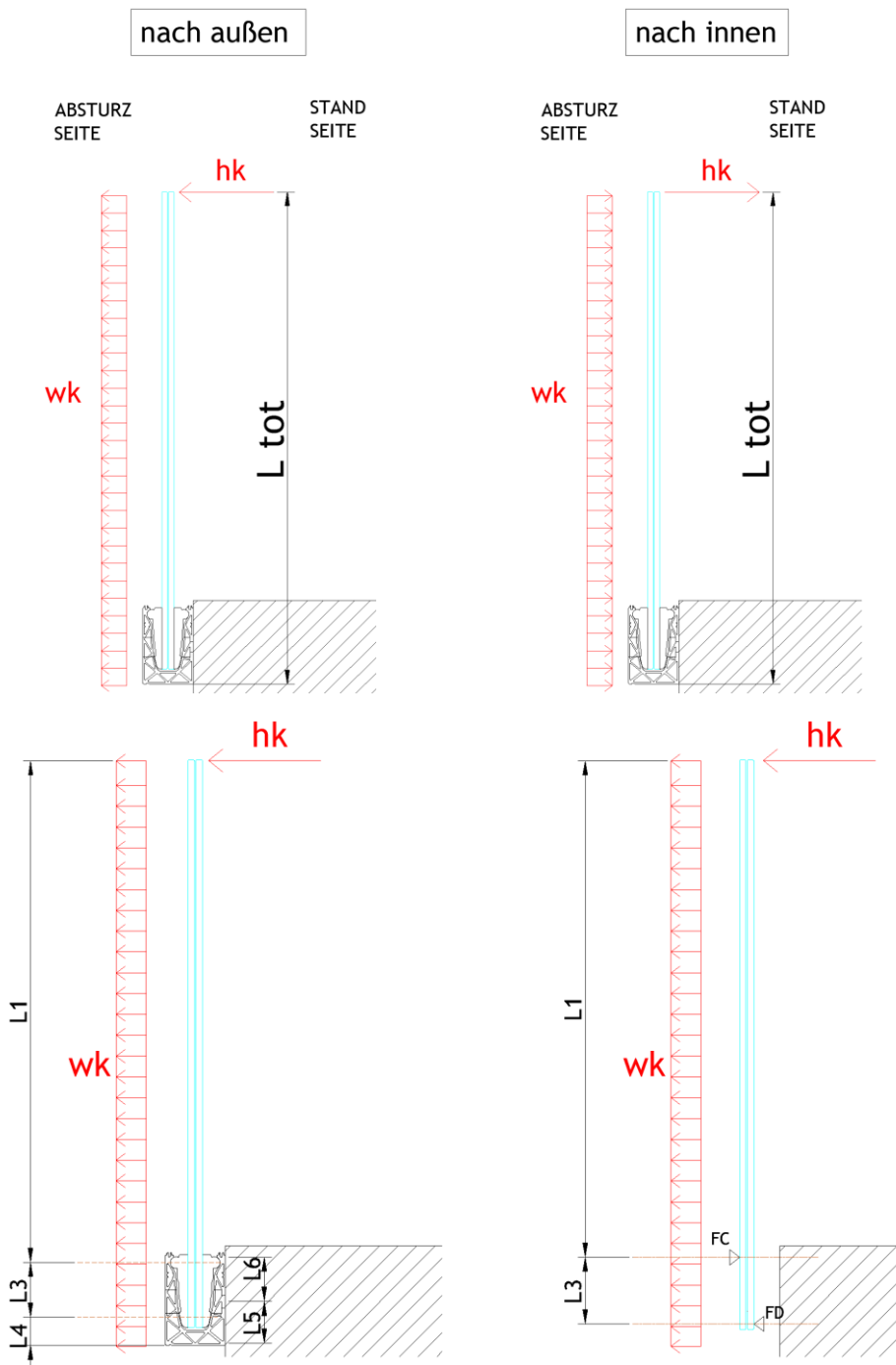
con  $\gamma_Q=1.50$ ,  $\psi_{0.Wind}=0.60$ ,  $\psi_{0.Holm}=0.70$

## 4 Calcolo statico

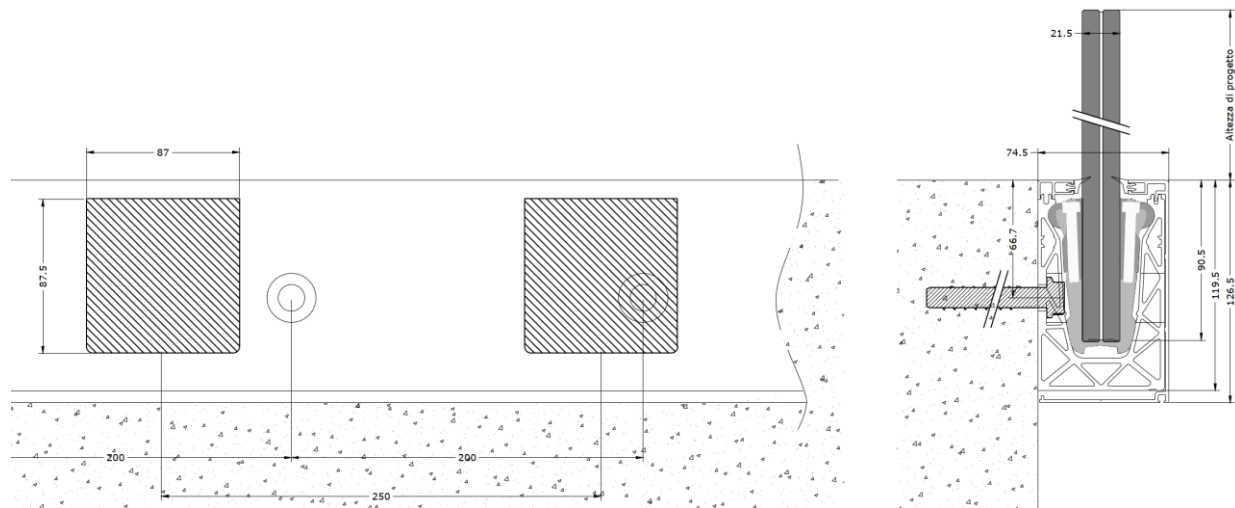
### 4.1 Dimensionamento del vetro

#### 4.1.1 Generale

La verifica delle lastre viene effettuata tramite il programma di calcolo SJ Mepla.



Il calcolo delle sollecitazioni nella lastra di vetro tiene conto di un rilevamento realistico dei morsetti in plastica come appoggi elastici locali con una lunghezza di 87 mm, posizionati con interasse pari a 250 mm ed una distanza dal bordo del profilo pari a 125 mm. La larghezza della lastra di vetro è di 500 mm, ovvero sono previsti 2 morsetti per lastra.



Il calcolo viene eseguito utilizzando i seguenti parametri (vedi figura riportata nella seguente pagina).

Abmessungen [mm]									
Profil	L2	L3	L4	L5	L6	L7	e fix	b Klemme	e Klemme
DF810FR17 / DF810FR21	12	70	29,5	50	53	-0,5	200	87	250

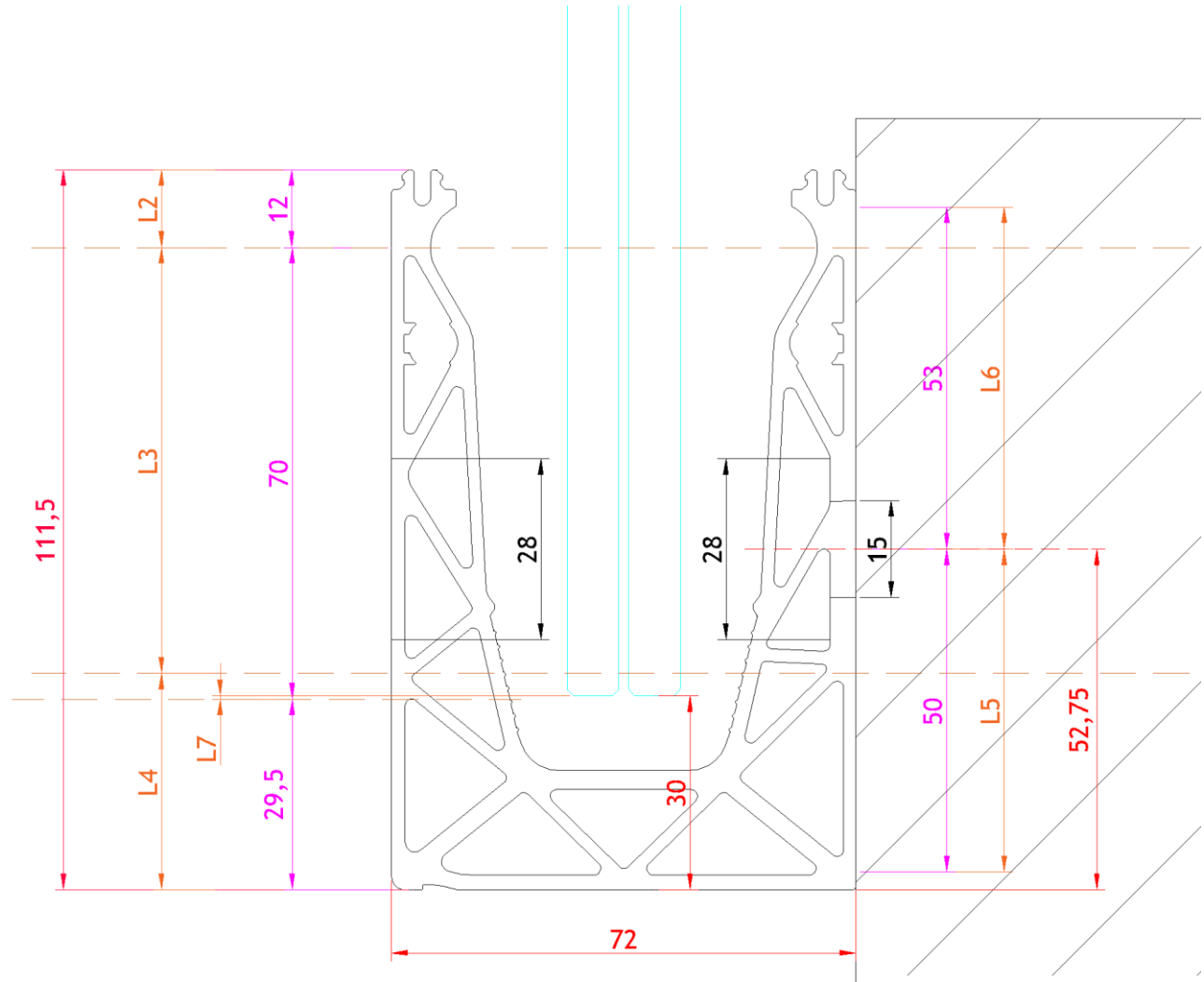


Fig.: parametri di calcolo DF810FR

Il calcolo delle sollecitazioni massime nelle lastre di vetro viene eseguito in due fasi. Nella prima fase, viene applicato un sovraccarico lineare orizzontale di  $h_k = 1,0 \text{ kN/m}$ , sul bordo superiore del parapetto in vetro. Vengono poi prese in considerazione diverse altezze del vetro ad incrementi di 50mm, a partire da 600 mm fino ad arrivare a 1600 mm di altezza. In una seconda fase, conoscendo la tensione massima ammissibile nel vetro, è possibile calcolare il carico del vento  $w_k$  uniformemente distribuito, che può essere sostenuto in aggiunta al sovraccarico lineare orizzontale di  $h_k$ , sull'altezza del vetro.

$$f_{d,Glas} = \gamma_Q * \sigma h_k + \psi_{0,Wind} * \gamma_Q * \sigma W_{k1}$$

$$f_{d,Glas} = \gamma_Q * \sigma h_k * \psi_{0,Holm} + \gamma_Q * \sigma W_{k2}$$

$$\sigma_{wk1} = (f_{d,Glas} - \gamma_Q * \sigma h_k) / (\psi_{0,Wind} * \gamma_Q) \rightarrow W_{k1} = \sigma_{wk1} / \sigma_{max,wu} \rightarrow w_{kmin} = \min(w_{k1}, w_{k2})$$

$$\sigma_{wk2} = (f_{d,Glas} - \gamma_Q^* \sigma_{hk}^* \psi_{0,Holm}) / \gamma_Q \quad \rightarrow \quad W_{k2} = \sigma_{wk2} / \sigma_{max,wu}$$

Con  $\gamma_Q=1.50$ ,  $\psi_{0,Wind}=0.60$ ,  $\psi_{0,Holm}=0.70$

A tale scopo, le sollecitazioni del vetro vengono calcolate anche applicando il carico del vento distribuito uniformemente sull'altezza e sulla lunghezza con una pressione unitaria  $wu$  pari a 1 kN/m<sup>2</sup>.

Di seguito è riportato, per una certa altezza, un esempio del calcolo Mepla per i carichi unitari  $hu=1$  kN/m e  $wu=1$  kN/m<sup>2</sup>, nonché lo scenario di rottura della singola lastra.

Per tutte le altre stratigrafie e altezze del vetro, il calcolo è stato effettuato allo stesso modo regolando le variabili come l'altezza del vetro, il modulo di elasticità dell'intercalare e lo spessore del vetro.

Nota: La progettazione del vetro in Mepla viene eseguita sulla base del sistema per parapetti DF810LM. Quest'ultimo ha lo stesso sistema di vincolo del profilo DF810FR. Dunque, il dimensionamento del vetro riportato di seguito è anche valido per le lastre installate sul suddetto profilo.

#### 4.1.2 Dimensionamento del vetro tramite il programma di calcolo Mepla

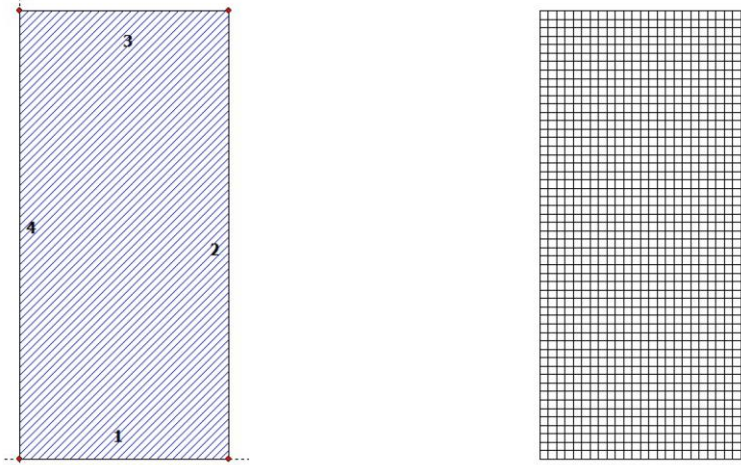
Calcolo del carico unitario del sovraccarico orizzontale lineare hu applicato sul bordo superiore del parapetto - vetro stratificato di sicurezza intatto:

---

 Projekt: 23065 Defender 810 - GER+CH, Logli - DF810LM\_H - 10\_10\_500\_1070\_87\_2

23.08.2023

Seite: 1

**SJ MEPLA Berechnungsprotokoll:**

**Geometrie:**

Rand	Randpunkt mm	Bogenmitte mm	Drehrichtung
1	0.00	0.00	+/-
2	500.00	0.00	

Dieser Ausdruck wurde durch das Programm SJ MEPLA erstellt. Copyright 2000-2022 by SJ Software GmbH Aachen.

---

 Projekt: 23065 Defender 810 - GER+CH, Logli - DF810LM\_H - 10\_10\_500\_1070\_87\_2

23.08.2023

Seite: 2

 3 500.00 1070.00  
 4 0.00 1070.00

**Lager:**
**Randlager:**  
 Rand Lagerungsart  
 2 u,φ : fest - w,v,θ : frei (Symmetrie in x-Richtung)  
 4 u,φ : fest - w,v,θ : frei (Symmetrie in x-Richtung)

**Elastische Linienlager:**  

Nr	von x	nach x	E-Modul N/mm²	Breite mm	Höhe mm	Kontakt	
1	81.50	69.50	168.50	69.50	3000.00	20.00	10.00 0
2	331.50	69.50	418.50	69.50	3000.00	20.00	10.00 0
3	81.50	3.50	168.50	3.50	3000.00	20.00	10.00 0
4	331.50	3.50	418.50	3.50	3000.00	20.00	10.00 0

**Federlager:**  

Paket	Schicht	x mm	y mm	z mm	C_x N/mm	C_y N/mm	C_z N/mm	C_φ N/mm	C_θ N/mm
1	1	0.0	0.0	0.0	1.000e+00	1.000e+00	0.000e+00	0.000e+00	0.000e+00
1	1	500.0	0.0	0.0	0.000e+00	1.000e+00	0.000e+00	0.000e+00	0.000e+00

**Schichten:**
**Schichtenaufbau:**  
 Paket Schicht Beschreibung  
 1 3 ESG  
 1 2 PVB Langzeitbelastung  
 1 1 ESG

**Kennwerte:**  

Paket	Schicht	E-Mod. N/mm²	v	Dicke mm	Dichte kg/m³	αt 1/K	ΔT K
1	3	70000.00	0.23	10.00	2550.00	1.0000e-05	0.00
1	2	0.00	0.50	0.76	1070.00	8.0000e-05	0.00
1	1	70000.00	0.23	10.00	2550.00	1.0000e-05	0.00

Dieser Ausdruck wurde durch das Programm SJ MEPLA erstellt. Copyright 2000-2022 by SJ Software GmbH Aachen.

# 23065 Defender 810 - CH, Logli

Projekt: 23065 Defender 810 - GER+CH, Logli - DF810LM\_H - 10\_10\_500\_1070\_87\_2

23.08.2023  
Seite: 3**Lasten:**

Linienlasten:				qx	qy	qz
Paket	--- von --	-- nach --		N/mm	N/mm	N/mm
1	0.00	1070.00	500.00	1070.00	0.00	0.00

Flächenlasten:	
- konstant verteilt:	
Paket	Druck
1	0.00000e+00

**Berechnungsverfahren:**  
geometrisch linear  
statische Berechnung**Kenndaten des finiten Element Netzes:**

Elementgröße	:	20.0 mm
Anzahl der Elemente	:	1325
Anzahl der Knoten	:	5457 (pro Paket)
Anzahl der Unbekannten	:	48257

**Berechnungsergebnis:****Minimale und maximale Verformungen w:**

Paket	--- Ort --- Verformung		
	x	y	w
1	mm	mm	mm
	500.00	0.00	-0.10 (min)
	10.00	1070.00	29.94 (max)

**Maximale Hauptzugspannung:**

Paket	Schicht	x		y		σ	σ (max)
		mm	mm	mm	mm	N/mm²	N/mm²
1	(oben)	162.25	2.28	15.52	38.86	-	-
	(unten)	370.00	78.48	38.86	38.86		
1	(oben)	162.25	2.28	15.52	38.86		
	(unten)	370.00	78.48	38.86	38.86		

Dieser Ausdruck wurde durch das Programm SJ MEPLA erstellt. Copyright 2000-2022 by SJ Software GmbH Aachen.

Projekt: 23065 Defender 810 - GER+CH, Logli - DF810LM\_H - 10\_10\_500\_1070\_87\_2

23.08.2023  
Seite: 4**Extremale Spannungen und Reaktionskraft in der elastischen Linienlagerung:**

Nr.	σ N/mm²	Reaktionskraft (Fz) N	
1	3.759 (max)	4039.77	
	1.637 (min)		
2	3.759 (max)	4039.77	
	1.637 (min)		
3	-0.522 (max)	-3789.77	
	-6.323 (min)		
4	-0.522 (max)	-3789.77	
	-6.323 (min)		

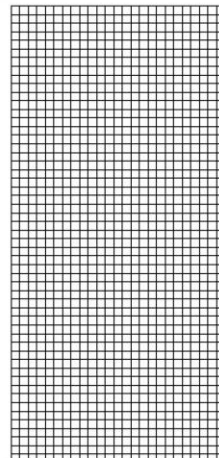
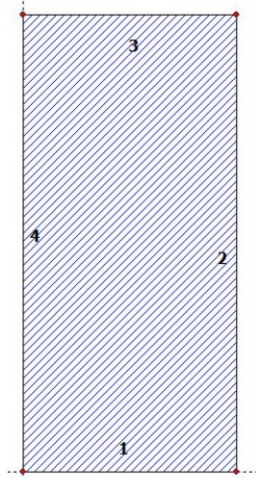
Extremwerte:		
x	y	σ
mm	mm	N/mm²
332.37	69.50	3.759 (max)
332.37	3.50	-6.323 (min)

Paket	Schicht	u (x / y) mm	v mm	w mm	φ rad	θ rad	Fx N	Fy N	Fz N	M_φ Nm	M_θ Nm
1	1	0.00	0.00	-0.10	0.0000	-0.0013	0.00	0.00	-0.00	0.00	-0.00
( 500.00 / 0.00 )											
1	1	0.00	0.00	-0.10	0.0000	-0.0013	0.00	0.00	-0.00	0.00	-0.00

Dieser Ausdruck wurde durch das Programm SJ MEPLA erstellt. Copyright 2000-2022 by SJ Software GmbH Aachen.

Calcolo del carico unitario uniformemente distribuito wu applicato sulla superficie del parapetto - vetro stratificato di sicurezza intatto:

Projekt: 23065 Defender 810 - GER+CH, Logli - DF810LM\_W - 10\_10\_500\_1070\_87\_2

23.08.2023  
Seite: 1**SJ MEPLA Berechnungsprotokoll:****Geometrie:**

Rand	Randpunkt mm	Bogenmitte mm	Drehrichtung
1	0.00	0.00	+/-
2	500.00	0.00	

Dieser Ausdruck wurde durch das Programm SJ MEPLA erstellt. Copyright 2000-2022 by SJ Software GmbH Aachen.

Projekt: 23065 Defender 810 - GER+CH, Logli - DF810LM\_W - 10\_10\_500\_1070\_87\_2

23.08.2023  
Seite: 23 500.00 1070.00  
4 0.00 1070.00**Lager:**

Rand	Lagerungsart
2	u,φ : fest - w,v,θ : frei (Symmetrie in x-Richtung)
4	u,φ : fest - w,v,θ : frei (Symmetrie in x-Richtung)

Nr	von		nach		E-Modul N/mm²	Breite mm	Höhe mm	Kontakt
	x	y	x	y				
1	81.50	69.50	168.50	69.50	3000.00	20.00	10.00	0
2	331.50	69.50	418.50	69.50	3000.00	20.00	10.00	0
3	81.50	3.50	168.50	3.50	3000.00	20.00	10.00	0
4	331.50	3.50	418.50	3.50	3000.00	20.00	10.00	0

Paket	Schicht	x	y	z	C_x N/mm	C_y N/mm	C_z N/mm	C_φ Nmm	C_θ Nmm
1	1	0.0	0.0	0.0	1.000e+00	1.000e+00	0.000e+00	0.00e+00	0.00e+00
1	1	500.0	0.0	0.0	0.000e+00	1.000e+00	0.000e+00	0.00e+00	0.00e+00

**Schichten:**

Paket	Schicht	Beschreibung
1	3	ESG
1	2	PVB Langzeitbelastung
1	1	ESG

Paket	Schicht	E-Mod. N/mm²	v	Dicke mm	Dichte kg/m³	αt 1/K	ΔT K
1	3	70000.00	0.23	10.00	2550.00	1.0000e-05	0.00
1	2	0.00	0.50	0.76	1070.00	8.0000e-05	0.00
1	1	70000.00	0.23	10.00	2550.00	1.0000e-05	0.00

Dieser Ausdruck wurde durch das Programm SJ MEPLA erstellt. Copyright 2000-2022 by SJ Software GmbH Aachen.

# 23065 Defender 810 - CH, Logli

Projekt: 23065 Defender 810 - GER+CH, Logli - DF810LM\_W - 10\_10\_500\_1070\_87\_2

23.08.2023  
Seite: 3**Lasten:**

**Flächenlasten:**  
 - konstant verteilt:  
 Paket Druck  
 N/mm<sup>2</sup>  
 1 1.00000e-03

**Berechnungsverfahren:**  
 geometrisch linear  
 statische Berechnung

**Kenndaten des finiten Element Netzes:**

Elementgröße	:	20.0 mm
Anzahl der Elemente	:	1325
Anzahl der Knoten	:	5457 (pro Paket)
Anzahl der Unbekannten	:	48257

**Berechnungsergebnis:**

**Minimale und maximale Verformungen w:**  
 --- Ort --- Verformung  
 Paket x y w  
 mm mm mm  
 1 500.00 0.00 -0.05 (min)  
 500.00 1070.00 11.59 (max)

**Maximale Hauptzugspannung:**  
 Paket Schicht x y σ σ (max)  
 mm mm N/mm<sup>2</sup> N/mm<sup>2</sup>  
 1 3 (oben) 162.25 2.28 7.57 19.50  
 (unten) 370.00 78.48 19.50  
 1 1 (oben) 162.25 2.28 7.57 19.50  
 (unten) 130.00 78.48 19.50

**Extremale Spannungen und Reaktionskraft in der elastischen Linienlagerung:**  
 Nr. σ Reaktionskraft  
 N/mm<sup>2</sup> (Fz) N  
 1 2.063 (max) 2154.19

Dieser Ausdruck wurde durch das Programm SJ MEPLA erstellt. Copyright 2000-2022 by SJ Software GmbH Aachen.

Projekt: 23065 Defender 810 - GER+CH, Logli - DF810LM\_W - 10\_10\_500\_1070\_87\_2

23.08.2023  
Seite: 4

0.845 (min)
2 2.063 (max) 2154.19
0.845 (min)
3 -0.281 (max) -1886.69
-3.095 (min)
4 -0.281 (max) -1886.69
-3.095 (min)

**Extremwerte:**  
 x y σ  
 mm mm N/mm<sup>2</sup>  
 332.37 69.50 2.063 (max)  
 332.37 3.50 -3.095 (min)

**Federn:**  
 Paket Schicht u v w φ θ Fx Fy Fz M φ M θ  
 (x / y) mm mm mm rad rad N N N NNm NNm  
 ( 0.00 / 0.00 )  
 1 1 0.00 0.00 -0.05 0.0000 -0.0007 0.00 0.00 -0.00 0.00 -0.00  
 ( 500.00 / 0.00 )  
 1 1 0.00 0.00 -0.05 0.0000 -0.0007 0.00 0.00 -0.00 0.00 -0.00

Dieser Ausdruck wurde durch das Programm SJ MEPLA erstellt. Copyright 2000-2022 by SJ Software GmbH Aachen.

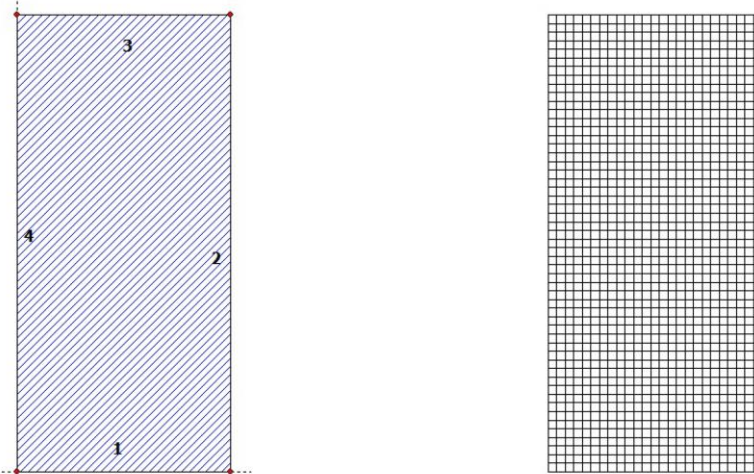
# 23065 Defender 810 - CH, Logli

## Calcolo del carico unitario del sovraccarico orizzontale lineare hu applicato sul bordo superiore del parapetto - rottura della singola lastra

Projekt: 23065 Defender 810 - GER+CH, Logli - DF810LM\_H\_Ausfall - 0,000001\_10\_500\_1070\_87\_2

23.08.2023  
Seite: 1

### SJ MEPLA Berechnungsprotokoll:



#### Geometrie:

Rand	Randpunkt	Bogenmitte	Drehrichtung
1	0.00	0.00	+/-
2	500.00	0.00	

Dieser Ausdruck wurde durch das Programm SJ MEPLA erstellt. Copyright 2000-2022 by SJ Software GmbH Aachen.

Projekt: 23065 Defender 810 - GER+CH, Logli - DF810LM\_H\_Ausfall - 0,000001\_10\_500\_1070\_87\_2

23.08.2023  
Seite: 2

3 500.00 1070.00  
4 0.00 1070.00

#### Lager:

Rand	Lagerungsart
2	u,φ : fest - w,v,θ : frei (Symmetrie in x-Richtung)
4	u,φ : fest - w,v,θ : frei (Symmetrie in x-Richtung)

#### Elastische Linienlager:

Nr.	von	x	y	nach	x	y	E-Modul	Breite	Höhe	Kontakt
1	81.50	69.50	168.50	69.50	3000.00	20.00	10.00	0		
2	331.50	69.50	418.50	69.50	3000.00	20.00	10.00	0		
3	81.50	3.50	168.50	3.50	3000.00	20.00	10.00	0		
4	331.50	3.50	418.50	3.50	3000.00	20.00	10.00	0		

#### Federlager:

Paket	Schicht	x	y	z	C_x	C_y	C_z	C_φ	C_θ
1	1	0.0	0.0	0.0	1.000e+00	1.000e+00	0.000e+00	0.00e+00	0.00e+00
1	1	500.0	0.0	0.0	0.000e+00	1.000e+00	0.000e+00	0.00e+00	0.00e+00

#### Schichten:

Paket	Schicht	Beschreibung
1	3	ESG
1	2	PVB Langzeitbelastung
1	1	ESG

#### Kennwerte:

Paket	Schicht	E-Modul	v	Dicke	Dichte	αt	ΔT
1	3	70000.00	0.23	0.00	2550.00	1.0000e-05	0.00
1	2	0.00	0.50	0.76	1070.00	8.0000e-05	0.00
1	1	70000.00	0.23	10.00	2550.00	1.0000e-05	0.00

Dieser Ausdruck wurde durch das Programm SJ MEPLA erstellt. Copyright 2000-2022 by SJ Software GmbH Aachen.

# 23065 Defender 810 - CH, Logli

Projekt: 23065 Defender 810 - GER+CH, Logli - DF810LM\_H\_Ausfall - 0.000001\_10\_500\_1070\_87\_2

23.08.2023  
Seite: 3**Lasten:****Linienlasten:**

Paket	--- von --		-- nach --		qx	qy	qz
	x	y	x	y	N/mm	N/mm	N/mm
1	0.00	1070.00	500.00	1070.00	0.00	0.00	1.00

**Flächenlasten:**

- konstant verteilt:	
Paket	Druck
	N/mm²

1 0.00000e+000

**Berechnungsverfahren:**geometrisch linear  
statische Berechnung**Kenndaten des finiten Element Netzes:**

Elementgröße	:	20.0 mm
Anzahl der Elemente	:	1325
Anzahl der Knoten	:	5457 (pro Paket)
Anzahl der Unbekannten	:	48257

**Berechnungsergebnis:****Minimale und maximale Verformungen w:**

Paket	--- Ort ---			Verformung
	x	y	w	
1	500.00	0.00	-0.18 (min)	
	490.00	1070.00	59.53 (max)	

**Maximale Hauptzugspannung:**

Paket	Schicht	x	y	σ	σ (max)
		mm	mm	N/mm²	N/mm²
1	3 (oben)	497.75	2.28	-0.01	-0.01
	(unten)	2.25	2.28	-0.01	-0.01
1	1 (oben)	162.25	2.28	33.49	75.98
	(unten)	142.25	78.48	75.98	75.98

Dieser Ausdruck wurde durch das Programm SJ MEPLA erstellt. Copyright 2000-2022 by SJ Software GmbH Aachen.

Projekt: 23065 Defender 810 - GER+CH, Logli - DF810LM\_H\_Ausfall - 0.000001\_10\_500\_1070\_87\_2

23.08.2023  
Seite: 4**Extremale Spannungen und Reaktionskraft in der elastischen Linienlagerung:**

Nr.	σ	Reaktionskraft
1	4.868 (max)	(Fz) N 4039.77
	1.246 (min)	
2	4.868 (max)	4039.77
	1.246 (min)	
3	-0.262 (max)	-3789.77
	-8.391 (min)	
4	-0.262 (max)	-3789.77
	-8.391 (min)	

**Extremwerte:**

x	y	σ
mm	mm	N/mm²
332.37	69.50	4.868 (max)
417.63	3.50	-8.391 (min)

**Federn:**

Paket	Schicht	u	v	w	φ	θ	Fx	Fy	Fz	M <sub>φ</sub>	M <sub>θ</sub>
(x / y)		mm	mm	mm	rad	rad	N	N	N	Nmm	Nmm
( 0.00 / 0.00 )	1	0.00	0.00	-0.18	0.0000	-0.0023	0.00	0.00	-0.00	0.00	-0.00
( 500.00 / 0.00 )	1	1	0.00	0.00	-0.18	0.0000	-0.0023	0.00	0.00	-0.00	-0.00

Dieser Ausdruck wurde durch das Programm SJ MEPLA erstellt. Copyright 2000-2022 by SJ Software GmbH Aachen.

Concetto di rottura secondo la norma SIA -2057-2021

#### Capacità portante allo stato di rottura

Tabelle 9 Nutzungsabhängige Nachweise für absturzsichernde Verglasungen<sup>2</sup>

Einbausituation nach Figur 6		Kategorie der Nutzfläche (SIA 261)				
		Kat. A	Kat. B	Kat. C	Kat. D	Kat. H
Gruppe 1A	4-seitig	NB0	NB0	NB3A	NB3A	–
	nicht 4-seitig	NB3A	NB3A			–
Gruppe 1B	≤ 2,0 kN/m	NB3A	NB3A	NB3A	NB3A	–
	> 2,0 kN/m	–	–	NB3B*	–	–
Gruppe 1C	≤ 1,0 kN/m	NB3A	NB3A	–	NB3A	–
	≤ 2,0 kN/m	–	–	NB3B*	–	–
Gruppe 2	≤ 1,0 kN/m	NB0				–
	> 1,0 kN/m	NB3A				–
Gruppe 3		NB0				–

\* Bei Einbausituationen mit einem geringen Risiko eines gleichzeitigen Bruches mehrerer Scheiben kann der Nachweis nach NB3A erfolgen. In diesem Fall ist eine projektspezifische Risikoanalyse durchzuführen.

In Tabelle 9 wird eine viereckige Verglasung vorausgesetzt. Für davon abweichende Geometrien ist Tabelle 9 sinngemäss zu interpretieren.

Per sovraccarichi ≤ 2kN/m -> NBA3A

Il concetto di rottura della singola lastra corrisponde a quanto definito dalla norma DIN 18008

Nachweise im Bruchzustand (NB) werden in den Stufen 0 bis 4 klassifiziert:

- NB0 Keine zusätzlichen Nachweise erforderlich.
- NB1 Die Resttragfähigkeit unter Eigengewicht ist im teilweise gebrochenen Zustand gemäss 4.6.2 nachzuweisen.
- NB2 Die Resttragfähigkeit unter Eigengewicht ist im vollständig gebrochenen Zustand gemäss 4.6.3 nachzuweisen.
- NB3 Die Resttragfähigkeit unter Eigengewicht und weiteren Einwirkungen ist im teilweise gebrochenen Zustand gemäss 4.6.2 nachzuweisen.  
NB3A mit einer gebrochenen Scheibe  
NB3B mit zwei gebrochenen Scheiben
- NB4 Die Resttragfähigkeit unter Eigengewicht und weiteren Einwirkungen ist im vollständig gebrochenen Zustand gemäss 4.6.3 nachzuweisen.

Si utilizzano i seguenti coefficienti di combinazione delle azioni per la verifica della situazione di carico eccezionale secondo la norma SIA 260

$$\psi_{1.Holm} := 0.70$$

$$\psi_{2.Wind} := 0.20$$

### 4.1.3 Tabelle dei risultati - Dimensionamento vetro DF810FR - Carichi verso l'esterno

**DF810FR17 - 8.8.4 ESG mit PVF - Folie - Lasten in Absturzrichtung nach außen (OUT)**

L <sub>3</sub>	70	mm	mm	Abstand oberer zu unterer Lagerpunkt Glas im Profil
L <sub>4</sub>	29.5	mm	mm	Abstand anderer Lagerpunkt Glas/Profil zu Unterkerne Profil
L <sub>7</sub>	-0.5	mm	mm	Horizontale Einheitslast als zu einleiten an der Oberkerne Glas
Fu	1	mm	mm	Horizontale Einheitslast als Flächendruck auf der gesamten Glasstützung
wu	1	N/mm <sup>2</sup>	N/mm <sup>2</sup>	Etwodt PVF-Folie nach DIN EN 1267-2021
EJ-Folie	0.0001	N/mm <sup>2</sup>	N/mm <sup>2</sup>	Charakteristische Brügezugsfestigkeit ESG nach SLA-2057-2021
FrL-ESG	120	N/mm <sup>2</sup>	N/mm <sup>2</sup>	Bemessungswert Material für ESG nach SLA-2057-2021 für VSG-Scheibe
ym-ESG	1.5	N/mm <sup>2</sup>	N/mm <sup>2</sup>	Kombinationsbewert für Holzhasen (Katz/C) nach SLA-246-2013
FrL-ESG	88.00	N/mm <sup>2</sup>	N/mm <sup>2</sup>	Kombinationsbewert für Windlasten nach SLA-246-2013
r0-Halm	0.7	-	-	Teilsicherheitsbewert Lastseite für variable Lasten nach SLA-246-2013
r0-Wind	0.6	-	-	
rQ	1.5	-	-	

DF810FR17 - 8.8.4 ESG mit PVF - Folie - Lasten in Absturzrichtung nach außen (OUT)											
Ltot	L1	L Glas	hu	wu	def_wu	emax_hu	emax_wu	MRd,glass	hk/N/mm <sup>2</sup>	hk/N/mm <sup>2</sup>	def_wk1
600	500.5	570.0	7.93	7.47	1.57	1.49	0.80	23.70	35.56	0.40	58.27
650	550.5	620.0	7.93	7.47	2.26	1.49	0.80	26.30	39.44	0.45	53.95
700	600.5	690.0	32.87	9.15	3.14	1.49	0.80	28.46	42.26	0.40	4.40
750	650.5	720.0	38.61	10.74	4.27	1.47	0.80	31.05	46.57	0.53	3.61
800	700.5	770.0	20.71	12.73	5.67	1.48	0.80	33.22	49.84	0.57	2.43
850	750.5	820.0	44.74	25.25	16.90	7.39	1.48	35.79	53.69	0.65	3.12
900	800.5	870.0	47.47	30.42	19.07	9.47	1.48	38.00	56.96	0.65	3.48
950	850.5	920.0	50.68	36.25	21.67	11.96	1.48	40.54	60.82	0.69	3.20
1000	900.5	970.0	51.42	42.77	24.13	14.92	1.48	42.74	64.10	0.73	2.75
1050	950.5	1020.0	56.61	50.04	27.02	18.40	1.48	48.80	67.93	0.77	2.30
1100	1000.5	1070.0	59.36	58.08	29.78	22.45	1.48	50.80	47.00	0.81	1.83
1150	1050.5	1120.0	62.55	66.95	32.97	27.13	1.48	52.40	50.04	0.85	1.43
1200	1100.5	1170.0	65.30	76.67	36.02	32.51	1.48	54.80	52.24	0.89	1.20
1250	1150.5	1220.0	68.49	87.79	30.52	38.65	1.48	54.79	52.19	0.93	1.46
1300	1200.5	1270.0	71.24	98.84	42.86	45.63	1.48	56.99	55.49	0.97	1.79
1350	1250.5	1320.0	74.42	111.38	46.66	53.50	1.48	59.34	89.30	1.01	1.99
1400	1300.5	1370.0	77.18	124.93	50.30	62.36	1.48	61.74	92.62	1.05	2.13
1450	1350.5	1420.0	80.36	139.54	54.40	72.27	1.48	64.29	96.43	1.10	2.37
1500	1400.5	1470.0	81.12	155.24	58.32	83.31	1.48	66.30	99.74	1.13	2.57
1550	1450.5	1520.0	86.30	172.08	62.73	95.58	1.48	69.04	103.56	1.18	2.79
1600	1500.5	1570.0	89.05	190.09	66.94	109.15	1.48	71.24	106.86	1.21	20.96

DF810FR17 - 8.8.4 ESG mit PVF - Folie - Lasten in Absturzrichtung nach außen (OUT)											
hk=1.6 N/mm <sup>2</sup>	defEmax_1.6 N/mm <sup>2</sup>	defEmax_1.6 N/mm <sup>2</sup>	ut_1.6	defWk1 N/mm <sup>2</sup>	defWk2 N/mm <sup>2</sup>	hk=1.6 N/mm <sup>2</sup>	defWk1 N/mm <sup>2</sup>	defWk2 N/mm <sup>2</sup>	defWk1 mm	defWk2 mm	defSLE mm
1.60	47.41	71.11	0.81	18.76	2.51	3.41	12.69	3.94	5.36	15.05	
1.60	52.59	78.89	0.90	10.12	21.85	1.11	16.62	2.50	5.40	18.12	
1.60	56.93	85.39	0.97	9.20	22.77	1.29	21.31	0.85	5.50	21.82	
1.60	62.10	93.14	1.06	5.72	15.20	0.45	26.78	0.00	5.10	26.78	
1.60	66.45	99.67	1.13	12.97	12.15	0.89	33.14	0.00	4.72	33.14	
1.60	71.58	107.38	1.22	21.53	8.56	1.27	40.40	0.00	3.74	40.40	
1.60	75.95	113.93	1.29	28.81	5.50	0.51	48.67	0.00	2.73	48.67	
1.60	81.69	121.63	1.38	37.37	1.91	0.29	58.03	0.00	1.95	58.03	
1.60	85.47	138.21	1.46	44.68	1.16	1.05	68.43	0.00	0.00	68.43	
1.60	90.36	135.86	1.54	53.18	0.74	0.18	80.06	0.00	0.00	80.06	
1.60	94.98	142.46	1.62	60.52	7.82	-0.26	92.93	0.00	0.00	92.93	
1.60	100.08	150.12	1.71	69.02	-11.39	-2.09	107.12	0.00	0.00	107.12	
1.60	104.48	156.72	1.78	76.36	-14.47	-2.12	122.67	0.00	0.00	122.67	
1.60	109.58	164.38	1.87	84.86	-18.04	-2.15	139.66	0.00	0.00	139.66	
1.60	113.98	170.98	1.94	92.20	-21.12	-0.46	158.14	0.00	0.00	158.14	
1.60	119.07	178.61	2.03	-100.68	-24.68	-2.16	178.21	0.00	0.00	178.21	
1.60	123.49	185.23	2.10	-108.04	-27.77	-0.55	189.89	0.00	0.00	189.89	
1.60	128.58	192.86	2.19	-115.52	-31.34	-2.14	223.26	0.00	0.00	223.26	
1.60	132.99	199.49	2.27	-123.88	-34.43	-0.59	246.38	0.00	0.00	246.38	
1.60	138.08	207.12	2.35	-132.26	-37.99	-2.11	273.33	0.00	0.00	273.33	
1.60	142.48	213.72	2.43	-139.69	-41.07	-2.09	304.14	0.00	0.00	304.14	

# 23065 Defender 810 - CH, Logli

## DF810FR17 - 8.8.4 ESG mit PVB - Folie - Ausfall einer Scheibe - Belastung in Absturzrichtung nach außen

Fu: 1 Horizontal Einheitlast als Linienlast an der Oberkante Glasturzüge

frk\_ESG: 120 Charakteristische Biegezugfestigkeit ESG nach SIA-2057\_2021

ym\_ESG: 1,5 N/mm<sup>2</sup>

frd\_ESG: 80,00 N/mm<sup>2</sup>

yL\_Holm: 0,7 -

Q-exp: 1,0 -

Bemessungswert der Biegezugfestigkeit ESG nach SIA-2057\_2021 für eine Scheibe

Kombinationsbeiwert für Holznägel K0\_C bei außergewöhnlicher Lastfallkombination nach SIA-260\_2013

Teilsicherheitsbeiwert Lasteinheit für von fallende Ecken bei außergewöhnlicher Lastfallkombination nach SIA-2057\_2021

DF810FR17 - 8.8.4 ESG mit PVB - Folie - Ausfall einer Scheibe - Belastung in Absturzrichtung nach außen

Ltot mm	L1 mm	L Glas mm	hu emax_hu N/mm <sup>2</sup>	hk=0.8 kNm				hk=0.8 kNm				hk=1.6 kNm				
				hk 0.8 exp	eff d & R exp	ut 0.8 exp	L1 max exp	hk max exp	L Glas max exp	Ltot max exp	tot min 0.8	hk 1.6 exp	eff d & R exp	ut 1.6 exp	L Glas max exp	Ltot max exp
mm	mm	mm	N/mm <sup>2</sup>	N/mm <sup>2</sup>	N/mm <sup>2</sup>	N/mm <sup>2</sup>	mm	mm	N/mm <sup>2</sup>	N/mm <sup>2</sup>	mm	N/mm <sup>2</sup>	N/mm <sup>2</sup>	N/mm <sup>2</sup>	mm	mm
400	500,5	500,0	98,00	0,56	39,93	0,41	1216	1235	1315	600	1,12	65,86	0,52	608	677	707
450	550,5	620,0	65,38	0,56	36,61	0,46	1203	1222	1302	630	1,12	73,23	0,52	601	671	701
500	600,5	70,60	0,56	39,54	0,49	1215	1285	1315	700	1,12	79,07	0,59	608	677	707	
550	650,5	77,15	0,56	43,20	0,54	1205	1274	1304	750	1,12	86,41	1,08	602	672	702	
600	700,5	82,39	0,56	46,14	0,58	1215	1284	1314	800	1,12	92,28	1,15	607	677	707	
650	750,5	82,00	0,56	49,80	0,62	1206	1275	1305	850	1,12	99,60	1,25	603	672	702	
700	800,5	87,00	0,56	52,74	0,66	1214	1284	1314	900	1,12	105,48	1,32	607	677	707	
750	850,5	92,00	0,56	56,39	0,70	1207	1276	1306	950	1,12	112,78	1,41	603	673	703	
800	900,5	97,00	0,56	59,34	0,74	1214	1284	1314	1000	1,12	118,68	1,48	607	677	707	
850	950,5	102,00	0,56	62,98	0,79	1207	1277	1307	1050	1,12	125,97	1,57	604	673	703	
900	1000,5	112,47	0,56	65,94	0,82	1214	1283	1313	1100	1,12	131,88	1,65	607	676	706	
950	1050,5	117,75	0,56	69,57	0,87	1208	1277	1307	1150	1,12	139,15	1,74	604	673	703	
1000	1100,5	124,24	0,56	72,54	0,91	1214	1283	1313	1200	1,12	145,07	1,81	607	676	706	
1050	1150,5	129,53	0,56	76,17	0,95	1208	1278	1308	1250	1,12	152,33	1,90	604	674	704	
1100	120,0	136,01	0,56	81,31	0,99	1214	1283	1313	1300	1,12	158,27	1,98	607	676	706	
1150	1200,5	141,31	0,56	85,13	1,03	1209	1278	1308	1302	1,12	165,51	2,07	604	674	704	
1200	1270,0	147,78	0,56	82,76	1,03	1214	1283	1313	1302	1,12	171,45	2,14	607	676	706	
1250	1300,5	153,08	0,56	85,72	1,07	1214	1283	1313	1302	1,12	178,70	2,23	605	674	704	
1300	1370,0	159,55	0,56	89,35	1,12	1209	1279	1309	1302	1,12	184,64	2,31	607	676	706	
1350	1450	162,00	0,56	92,32	1,15	1214	1283	1313	1302	1,12	191,88	2,40	605	674	704	
1400	1500	164,86	0,56	95,94	1,20	1210	1279	1309	1302	1,12	197,84	2,47	607	676	706	
1450	1520,0	171,32	0,56	98,92	1,24	1214	1283	1313	1302	1,12	202,00	2,54	607	676	706	
1500	1550,5	176,64	0,56	105,92	1,28	1214	1283	1313	1302	1,12	207,16	2,61	607	676	706	
1550	1600	170,0	0,56	112,47	1,32	1214	1283	1313	1302	1,12	212,32	2,68	607	676	706	
1600	1650	176,64	0,56	119,32	1,36	1214	1283	1313	1302	1,12	217,48	2,75	607	676	706	
													Minimum	1272	1302	
													Minimum	671	701	

DF810FR21 - 10.10.4 ESG mit PVB - Folie - Lasten in Absturzrichtung nach außen (OUT)

Absstand zu unterer Lagerpunkt Glas im Profil	mm
Absstand unterer Lagerpunkt Glas/Profil zu Unterseite Glas	mm
Absstand unterer Lagerpunkt Glas/Profil als Linienlast an der Oberseite eines Glases	mm
Horizontale Einheitslast als Linienlast auf der gesamten Glasfläche	kN/m
Horizontale Einheitslast als Punktlast auf der gesamten Glasfläche	kN/m <sup>2</sup>
E-Modul PVB-Folie nach den Vorgaben der StA 2057-2021	N/mm <sup>2</sup>
E-Modul Karbonfaserplatten nach StA 2057-2021	N/mm <sup>2</sup>
Tatsicherheitsbeiwert Materiallast für ESG nach StA 2057-2021	-
Kombinationsbeiwert für Holzmasse (KAC) nach StA 2057-2021	-
Kombinationsbeiwert für Windlasten nach StA 260-2013	-
Teilsicherheitsbeiwert Lastseite für variable Lasten nach StA 260-2013	-

DFB10R21 - 10.10.4 ESG mit PV-Folie - Lasten in Absturzrichtung nach außen (OUT)											
Lust	L1	L2	hu	wu	def/wu	def/hu	def/hu	def/wu	def/wu	def/hu	def/hu
mm	mm	mm	mm	N/mm²	N/mm²	N/mm²	N/mm²	N/mm²	N/mm²	N/mm²	N/mm²
600	500,5	570,0	19,411	4,111	0,62	2,27	0,80	15,53	23,29	0,26	71,90
650	560,5	620,0	21,53	5,38	0,97	2,25	0,80	17,22	25,84	0,29	66,10
700	600,5	670,0	23,30	6,89	1,17	2,27	0,80	18,64	27,96	0,32	61,57
750	650,5	720,0	25,41	8,66	1,33	2,21	0,80	20,33	30,49	0,35	56,90
800	700,5	770,0	27,19	10,70	1,49	2,27	0,80	21,75	32,63	0,37	47,80
850	750,5	820,0	29,30	13,04	1,65	2,25	0,80	23,44	35,16	0,40	44,44
900	800,5	870,0	31,08	15,70	1,82	2,27	0,80	24,86	37,30	0,42	41,26
950	850,5	920,0	33,18	18,70	1,98	2,26	0,80	26,54	40,82	0,45	38,34
1000	900,5	970,0	34,97	22,06	2,17	2,27	0,80	27,98	41,96	0,48	35,34
1050	950,5	1020,0	37,07	25,80	1,95	2,26	0,80	29,66	44,48	0,51	32,45
1100	1000,5	1070,0	38,86	29,94	1,95	2,27	0,80	31,09	46,63	0,53	28,95
1150	1050,5	1120,0	40,95	34,49	1,41	2,26	0,80	32,76	49,14	0,56	25,73
1200	1100,5	1170,0	42,75	39,49	2,39	2,27	0,80	34,20	51,30	0,58	20,78
1250	1150,5	1220,0	44,84	44,95	2,58	2,26	0,80	35,87	53,81	0,61	17,99
1300	1200,5	1270,0	46,64	50,89	2,07	2,27	0,80	37,31	55,97	0,64	15,39
1350	1250,5	1320,0	48,72	57,33	2,36	2,27	0,80	38,98	58,46	0,66	13,02
1400	1300,5	1370,0	50,72	62,99	2,14	2,27	0,80	40,42	60,62	0,69	10,83
1450	1350,5	1420,0	52,61	71,80	2,56	2,26	0,80	42,74	63,13	0,72	8,73
1500	1400,5	1470,0	54,41	79,86	4,29	2,27	0,80	43,53	65,29	0,74	6,79
1550	1450,5	1520,0	56,49	88,51	4,10	2,26	0,80	45,19	67,79	0,77	4,83
1600	1500,5	1570,0	59,20	97,00	4,03	2,26	0,80	46,85	70,44	0,80	2,94

Df810PR21-10.10.4 ESG mit PVB - Folie - Lasten in Absturzrichtung nach außen (OUT)									
Hk 1.6		Hk 1.6 max. 1.6		Hk 1.6 max. 1.6		Hk 1.6		Hk 1.6	
kNm	mm	N/mm <sup>2</sup>	N/mm <sup>2</sup>	N/mm <sup>2</sup>	N/mm <sup>2</sup>	kg/m <sup>2</sup>	kg/m <sup>2</sup>	kg/m <sup>2</sup>	kg/m <sup>2</sup>
31.06	46.88	0.53	40.36	34.93	9.41	7.55	7.05	6.58	7.72
1.60	34.45	51.67	0.59	35.64	34.55	6.76	5.79	8.61	6.77
1.60	37.28	55.92	0.64	30.02	30.21	5.07	4.63	11.02	7.55
1.60	40.66	60.88	0.69	25.27	26.21	3.61	3.61	13.86	11.35
1.60	43.30	65.26	0.74	20.82	20.85	2.64	2.95	23.44	18.64
1.60	46.88	70.32	0.80	19.64	23.85	1.78	2.34	27.12	21.78
1.60	49.73	74.09	0.85	14.90	21.00	1.19	1.91	20.86	24.94
1.60	53.09	79.63	0.90	9.30	21.51	0.66	1.52	25.12	28.63
1.60	55.55	83.93	0.95	4.52	15.00	0.29	1.23	29.92	32.36
1.60	59.31	88.97	1.01	-1.08	17.15	-0.06	0.97	35.30	36.62
1.60	62.18	93.26	1.06	-5.85	15.14	-0.30	0.78	41.28	41.28
1.60	65.52	98.28	1.12	-11.42	12.80	-0.53	0.46	47.90	47.90
1.60	68.40	102.60	1.17	-16.22	10.79	-0.69	0.46	55.18	55.18
1.60	71.74	107.62	1.22	-21.80	8.45	-0.84	0.33	63.18	63.18
1.60	74.52	111.94	1.27	-26.60	6.43	-0.95	0.23	71.92	71.92
1.60	77.95	116.93	1.33	-32.34	4.16	-1.05	0.13	71.92	71.92
1.60	80.83	121.25	1.38	-36.94	2.08	-1.12	0.06	81.42	81.42
1.60	84.18	126.26	1.43	-42.52	-0.26	-1.24	-0.06	91.73	91.73
1.60	87.06	130.58	1.48	-47.32	-0.27	-1.24	-0.06	102.86	102.86
1.60	90.38	134.92	1.54	-52.86	-0.60	-1.29	-0.11	114.88	114.88
1.60	93.28	139.92	1.59	-57.69	-0.63	-1.32	-0.15	127.78	127.78

# 23065 Defender 810 - CH, Logli

## DF810FR21 - 10.10.4 ESG mit PVB - Folie - Auffall einer Scheibe - Belastung in Absturzrichtung nach außen

Fu: 1 Horizontal Einheitlast an der Oberkante Glasrückung

Frk. ESG: 120 Charakteristische Brügegfestigkeit ESG nach SIA 2057\_2021

vm.ESG: 1,5 Materialseitiges Biegefestigkeit ESG nach SIA 2057\_2021

fRd ESG: 80,00 Sicherheitsbeiwert des Biegefestigkeit ESG nach SIA 2057\_2021 für eine Scheibe

1,1 Halm: 0,7 Kombinationsbeiwert für Holzlasten Mat.C bei aufgelagerten Lastfallkombination nach SIA-260\_2013

7Q-exp: - Tiefsteheitsbeiwert. Lastente für vor alle Lasten bei ander gewohnter Lastfallkombination nach SIA-2057\_2021

DF810FR21 - 10.10.4 ESG mit PVB - Folie - Auffall einer Scheibe - Belastung in Absturzrichtung nach außen

Ltot mm	L1 mm	L <sub>Glas</sub> mm	hu mm	hk=0.8 kNm/m				hk=0.8 kNm/m				hk=0.8 kNm/m			
				hmax,hu N/mm <sup>2</sup>	effd,0.8 exp N/mm <sup>2</sup>	ut,0.8 exp N/mm <sup>2</sup>	L <sub>Glas</sub> ,max,exp mm	hmax,hu N/mm <sup>2</sup>	effd,1.6 exp N/mm <sup>2</sup>	ut,1.6 exp N/mm <sup>2</sup>	L <sub>Glas</sub> ,max,exp mm	hmax,hu N/mm <sup>2</sup>	effd,1.6 exp N/mm <sup>2</sup>	ut,1.6 exp N/mm <sup>2</sup>	L <sub>Glas</sub> ,max,exp mm
600	500,5	500,0	37,93	0,56	20,24	0,77	1885	1915	1985	1,12	2,48	0,53	943	1012	1042
650	550,5	620,0	42,07	0,56	23,56	0,79	1869	1939	1969	1,12	2,47	0,59	935	1004	1034
700	600,5	670,0	45,55	0,56	25,51	0,32	1883	1953	1983	1,12	51,02	0,64	942	1011	1041
750	650,5	720,0	49,67	0,56	27,82	0,35	1871	1940	1970	1,12	55,63	0,70	935	1005	1035
800	700,5	770,0	53,16	0,56	29,77	0,37	1882	1952	1982	1,12	59,54	0,74	941	1011	1041
850	750,5	820,0	57,27	0,56	32,07	0,40	1872	1942	1972	1,12	64,14	0,80	936	1006	1036
900	800,5	870,0	60,77	0,56	34,03	0,43	1882	1951	1981	1,12	68,06	0,85	941	1010	1040
950	850,5	920,0	64,87	0,56	36,33	0,45	1873	1942	1972	1,12	72,65	0,91	936	1006	1036
1000	900,5	970,0	68,38	0,56	38,29	0,48	1881	1951	1981	1,12	76,59	0,96	941	1010	1040
1050	950,5	1020,0	72,47	0,56	40,58	0,51	1874	1943	1973	1,12	81,17	1,01	937	1006	1036
1100	1000,5	1070,0	75,98	0,56	42,55	0,53	1881	1951	1981	1,12	85,10	1,06	941	1010	1040
1150	1050,5	1120,0	80,07	0,56	44,84	0,56	1874	1944	1974	1,12	89,68	1,12	937	1007	1037
1200	1100,5	1170,0	83,59	0,56	46,81	0,59	1881	1950	1980	1,12	93,62	1,17	940	1010	1040
1250	1150,5	1220,0	87,67	0,56	49,10	0,61	1875	1944	1974	1,12	98,19	1,23	937	1007	1037
1300	1200,5	1270,0	91,19	0,56	51,07	0,64	1881	1950	1980	1,12	102,13	1,28	940	1010	1040
1350	1250,5	1320,0	95,27	0,56	53,35	0,67	1875	1945	1975	1,12	106,70	1,33	938	1007	1037
1400	1300,5	1370,0	98,79	0,56	55,32	0,69	1881	1950	1980	1,12	110,64	1,38	940	1010	1040
1450	1350,5	1420,0	102,87	0,56	57,61	0,72	1875	1945	1975	1,12	115,21	1,44	938	1007	1037
1500	1400,5	1470,0	106,40	0,56	59,58	0,74	1880	1950	1980	1,12	119,17	1,49	940	1010	1040
1550	1450,5	1520,0	110,47	0,56	61,86	0,77	1876	1945	1975	1,12	123,73	1,55	938	1007	1037
1600	1500,5	1570,0	114,00	0,56	63,84	0,80	1880	1950	1980	1,12	127,68	1,60	940	1010	1040
							Minimum	1939	1969				Minimum	1004	1034



## DF810FR21 - 10.10.4 ESG mit SGF - Folie - EXT - Lasten in Absturzrichtung nach außen (OUT)

L3	70	mm										
L4	29,5	mm										
L7	-0,5	mm										
Fu	1	mm										
wu	11,92	mm										
EJ.Folie	120	mm										
rM.ESG	1,5	N/mm <sup>2</sup>										
rM.ESG	80,00	N/mm <sup>2</sup>										
rM.Holm	0,7	N/mm <sup>2</sup>										
rW.Wind	0,6	N/mm <sup>2</sup>										
γQ	1,5	-										

Abstand oberer zu unterer Lagerpunkt: Glas im Profil

Abstand unterer Lagerpunkt: Glas Profil zu Unterseite Profil

Abstand unterer Lagerpunkt: Glas Profil zu Unterseite Glas

Horizontale Einheitlast: ab Linienlast an der Oberkante Gleisbrückung

Horizontale Einheitlast: ab Flächenauslast auf der gesamten Gleisstützung

E-Modd SGF-Folie nach Z-70-3-25 für Lardauer H- und T-Brücke

Charakteristische Begeugungsfestigkeit ESG nach SIA-2057-2021

Bemessungswert Materiallast für ESG nach SIA-2057-2021 für VSG-Scheiben mit kvag=1,0 nach AbZ-70-3-25

Kombinationsbeiwert für Holmaufl. (RaC) nach SIA-260-2013

Kombinationsbeiwert für Windlasten nach SIA-260-2013

Teilichtheitsbeiwert Lastseite für variable Lasten nach SIA-260-2013

## DF810FR21 - 10.10.4 ESG mit SGF - Folie - EXT - Lasten in Absturzrichtung nach außen (OUT)

Ltot	L1	L Glas	hu	wu	def.wu	def.wu						
mm	mm	mm	mm	N/mm <sup>2</sup>								
600	500,5	570,0	2,38	0,51	2,41	0,80	2,39	0,80	2,42	0,80	2,38	0,80
650	550,5	620,0	18,43	5,23	14,74	22,12	23,78	3,0	19,96	0,25	66,72	44,02
700	600,5	670,0	19,82	6,12	0,94	2,42	0,80	15,86	0,80	17,30	0,25	64,32
750	650,5	720,0	21,61	4,47	7,23	1,23	2,41	0,80	17,39	25,93	0,32	60,08
800	700,5	770,0	23,00	5,35	8,27	1,59	2,44	0,80	18,40	27,60	0,35	58,22
850	750,5	820,0	24,80	6,33	9,56	2,01	2,42	0,80	19,84	29,76	0,37	55,82
900	800,5	870,0	26,19	7,40	10,75	2,51	2,45	0,80	20,95	31,43	0,39	53,97
950	850,5	920,0	27,98	8,59	12,19	3,10	2,43	0,80	22,38	33,58	0,42	51,58
1000	900,5	970,0	29,38	9,89	13,53	3,77	2,45	0,80	23,50	35,26	0,44	49,72
1050	950,5	1020,0	31,17	11,15	4,55	4,55	2,44	0,80	24,94	37,40	0,47	47,33
1100	1000,5	1070,0	32,56	16,64	2,85	2,43	2,46	0,80	26,05	39,07	0,49	45,48
1150	1050,5	1120,0	34,35	18,43	6,44	2,45	0,80	27,48	41,22	0,52	43,09	34,10
1200	1100,5	1170,0	35,75	16,30	20,07	7,57	2,46	0,80	28,60	42,90	0,54	41,22
1250	1150,5	1220,0	37,53	18,23	22,02	8,84	2,45	0,80	30,02	45,04	0,56	38,85
1300	1200,5	1270,0	38,93	20,30	23,81	10,26	2,47	0,80	31,14	46,72	0,58	36,98
1350	1250,5	1320,0	42,12	22,51	25,93	11,84	2,46	0,80	32,58	49,54	0,61	34,60
1400	1300,5	1370,0	42,12	24,87	27,88	13,99	2,47	0,80	33,70	50,34	0,63	32,73
1450	1350,5	1420,0	43,90	27,38	30,16	15,52	2,46	0,80	35,12	52,68	0,66	30,36
1500	1400,5	1470,0	45,30	30,05	32,26	17,64	2,47	0,80	36,24	54,68	0,68	28,49
1550	1450,5	1520,0	47,09	32,89	34,71	19,97	2,46	0,80	37,67	56,51	0,71	26,10
1600	1500,5	1570,0	48,49	35,89	36,96	22,52	2,48	0,80	38,79	58,19	0,73	24,24

hk 1,6	σEK,max.,1,6	σEd,max.,1,6	ut 1,6	σwk1	σwk2	hk 1,6 kN/m	wk1	wk2	wkmin,1,6	def.hk	def.wk1	def.wk2
kn/m	N/mm <sup>2</sup>	N/mm <sup>2</sup>	-	N/mm <sup>2</sup>	N/mm <sup>2</sup>	mm	kn/m <sup>2</sup>	kn/m <sup>2</sup>	kn/m <sup>2</sup>	mm	mm	mm
1,60	26,61	39,91	0,50	44,54	34,71	10,38	8,09	8,09	8,09	3,81	5,30	4,13
1,60	29,49	44,23	0,55	44,54	34,71	10,38	6,76	6,75	6,75	4,78	5,32	4,38
1,60	31,71	47,57	0,59	36,04	31,13	5,89	5,89	5,89	5,89	5,90	5,53	4,78
1,60	34,38	51,86	0,65	31,26	29,13	4,32	4,03	4,03	4,03	7,15	5,32	4,96
1,60	36,80	55,20	0,69	27,56	27,57	3,33	3,33	3,33	3,33	8,56	5,30	5,30
1,60	39,68	59,52	0,74	22,76	23,56	2,67	2,67	2,67	2,67	10,13	4,78	5,37
1,60	41,90	62,86	0,79	19,05	24,00	1,77	2,23	1,77	1,77	11,84	4,78	5,60
1,60	44,77	67,15	0,84	14,28	22,00	1,17	1,80	1,17	1,17	13,74	4,63	4,51
1,60	47,01	70,51	0,88	10,54	20,43	0,78	1,51	0,78	1,51	15,82	4,59	4,52
1,60	49,87	74,81	0,94	5,77	18,42	0,38	1,22	0,38	1,22	18,10	4,73	4,53
1,60	52,10	78,14	1,00	2,06	16,87	0,12	1,01	0,12	1,01	20,56	4,67	5,50
1,60	54,66	82,44	1,03	2,71	14,86	-0,15	0,81	-0,15	0,81	22,22	0,00	5,19
1,60	57,20	85,80	1,07	-6,44	13,29	-0,32	0,66	-0,32	0,66	26,08	0,00	4,54
1,60	60,05	90,07	1,13	-11,19	11,30	-0,51	0,51	-0,51	0,51	29,17	0,00	29,17
1,60	62,29	93,43	1,17	-14,92	9,73	-0,63	0,41	-0,63	0,41	32,48	0,00	4,19
1,60	65,15	97,73	1,22	-19,70	7,73	-0,76	0,30	-0,76	0,30	36,02	0,00	3,53
1,60	67,39	101,09	1,26	-23,43	6,16	-0,84	0,22	-0,84	0,22	39,79	0,00	3,00
1,60	70,24	105,36	1,32	-28,18	4,17	-0,93	0,14	-0,93	0,14	43,81	0,00	2,14
1,60	72,48	108,72	1,26	-31,91	2,60	-0,99	0,08	-0,99	0,08	48,08	0,00	1,42
1,60	75,34	113,02	1,41	-36,68	0,59	-1,06	0,02	-1,06	0,02	52,62	0,00	0,34
1,60	77,58	116,38	1,45	-40,42	0,98	-1,09	0,03	-1,09	0,03	57,42	0,00	0,00

DF810FR21 - 10.10.4 ESG mit SGP - Folie - INT - Lasten in Absturzrichtung nach außen (OUT)

Abstand oberer zu unterer Lagerpunkt Glas im Profil	mm
Abstand unterer Lagerpunkt Glas/Profil zu Unterkante	mm
Abstand unterer Lagerpunkt Glas/Profil zu Unterkante	mm
Horizontaler Einheitslast als Linieneinsatz an der rechteckigen Fläche	kg/m <sup>2</sup>
Horizontaler Einheitslast als Flächeneinsatz auf der rechteckigen Fläche	kg/m <sup>2</sup>
E-Modul/Stoffe nach AbZ Z-770_3-23 für Lastabfälle nach SIA 2057	N/mm <sup>2</sup>
Charakteristische Biegesteifigkeit für ESG nach SIA 2057	N/mm <sup>2</sup>
Teilweiseheitsbeiwert Materialeigenschaften für ESG nach SIA 2057	-
Teilweiseheitsbeiwert Materialseigenschaften für RüLESG	-
Bemessungswert der Biegefestigkeit ESG nach SIA 2057	N/mm <sup>2</sup>
Kombinationsbeiwert für Holzbauteile nach SIA 2057	-
Kombinationsbeiwert für Windlasten (Kat.C) nach SIA 2057	-
Kombinationsbeiwert für Windlasten (Kat.D) nach SIA 2057	-
Teilweiseheitsbeiwert Lassette für variable Lasten nach SIA 2057	-

DFB10/FR21-10.10.4 EG mit SGP - Folie, INT - Lasten in Absurzrichtung nach außen (OUT)											
List	L1 mm	L Gas mm	$\sigma_{max,hu}$ N/mm <sup>2</sup>	hu		wu		wku		wkw	
				def, hu mm	def, hu mm	def, wu mm	def, wu mm	def, wku mm	def, wku mm	def, wkw mm	def, wkw mm
600	500.5	570.0	12.62	1.25	3.98	0.37	3.14	0.19	70.18	21.84	14.02
650	560.5	620.0	14.03	1.60	4.67	0.31	3.19	0.80	11.22	17.63	11.43
700	600.5	670.0	15.04	2.01	5.51	0.67	3.20	12.03	18.05	0.23	45.48
750	650.5	720.0	16.50	2.49	6.38	0.88	3.20	19.80	0.25	65.89	9.62
800	700.5	770.0	17.51	3.03	7.28	1.01	3.20	14.01	21.01	10.44	44.09
850	750.5	820.0	18.97	3.64	7.28	1.13	3.16	15.18	22.76	6.53	6.93
900	800.5	870.0	20.00	4.19	8.16	1.42	3.20	15.99	23.99	0.30	42.71
950	900.5	920.0	21.44	5.11	9.3	1.78	3.17	17.15	25.73	0.32	62.24
1000	900.5	970.0	22.46	5.97	9.77	3.21	0.80	17.00	40.30	41.33	6.48
1050	920.0	1020.0	23.91	6.92	11.57	2.67	3.18	0.80	26.95	0.34	58.94
1100	1000.5	24.93	7.97	3.23	12.68	0.80	19.94	29.92	0.37	55.65	4.39
1150	1100.5	1120.0	26.38	9.11	14.09	3.67	3.19	0.80	21.10	31.66	53.72
1200	1150.5	1170.0	27.40	10.37	15.31	4.59	3.21	0.80	21.92	32.88	0.41
1250	1200.0	28.85	11.73	16.85	5.52	3.19	0.80	23.08	34.62	0.43	50.62
1300	1200.0	29.88	13.20	18.18	6.35	3.21	0.80	23.90	35.86	0.45	49.05
1350	1200.0	31.32	14.79	19.86	7.40	3.19	0.80	25.06	37.58	0.47	47.13
1400	1300.0	32.35	16.51	21.73	8.57	3.22	0.80	25.88	38.82	0.49	45.56
1450	1400.0	33.79	18.35	23.11	9.87	3.22	0.80	27.03	40.55	0.51	43.84
1500	1400.0	34.82	20.32	24.67	11.32	3.22	0.80	27.86	41.78	0.52	42.46
1550	1500.0	36.26	22.43	26.62	12.92	3.20	0.80	29.01	43.51	0.54	40.54
1600	1500.0	37.29	24.48	28.91	14.69	3.22	0.80	29.83	44.75	0.56	39.45

DFF810FR21 - 10.10.4 ESG mit SGP - Folie - INT - Lasten in Absturzrichtung nach außen (94T)

DFB10FR21 - 10-10.4 ESG mit SGF - Folie - INT - Lasten in Absturzrichtung nach außen (OUT)											
hk=1.6 KN/mm²											
hk<1.6			hk>1.6			hk<1.6			hk>1.6		
hk	hk,max. 1.6	defEd,max. 1.6	ut	1.6	defWk1	wk1	defWk2	wk2	wk,min. 1.6	defHk	defWk 1
mm	mm/mm <sup>2</sup>	-	mm	mm/mm <sup>2</sup>	mm	mm					
1.60	20.19	30.99	0.38	55.24	38/20	16.49	11.88	2.00	4.52	3.21	4.71
1.60	22.45	33.67	0.42	51.48	37/62	12.93	9.45	2.56	4.79	3.50	5.43
1.60	24.66	36.10	0.45	48.78	26/49	10.45	7.81	3.22	5.23	3.98	6.41
1.60	26.40	39.60	0.48	44.89	34/85	8.15	6.33	3.98	5.46	4.24	7.26
1.60	28.02	42.02	0.53	42.20	33/72	6.77	5.26	4.85	5.91	4.73	8.40
1.60	30.35	45.53	0.57	38.30	5/72	5.26	4.41	4.41	5.82	5.95	9.39
1.60	31.98	47.98	0.60	35.58	30/94	4.36	3.79	6.94	5.38	10.66	-
1.60	34.30	51.46	0.64	31.72	23/32	3.41	3.15	8.18	6.07	5.61	11.82
1.60	35.94	57.38	0.67	29.00	26/18	2.82	2.74	9.55	6.17	5.99	13.25
1.60	36.26	57.38	0.72	25.13	26/25	2.17	2.30	11.07	5.80	6.13	14.35
1.60	39.89	59.83	0.75	22.41	25/41	1.77	1.77	12.75	5.79	6.47	16.18
1.60	42.21	63.31	0.79	18.54	23/79	1.32	1.69	13.32	14.58	6.53	17.63
1.60	43.84	65.76	0.82	15.82	22/65	1.03	1.48	14.03	16.59	4.74	19.44
1.60	46.16	69.24	0.87	11.96	21/02	0.71	1.25	0.71	18.77	3.85	21.38
1.60	47.81	71.71	0.90	9.21	18/87	0.51	1.09	0.51	21.12	3.22	23.05
1.60	50.11	75.76	0.94	5.37	18/25	0.27	0.92	23.66	2.00	6.80	24.88
1.60	51.76	77.64	0.97	2.62	11.0	0.12	0.80	26.42	1.06	6.88	27.05
1.60	54.06	81.10	1.01	-1.22	14.49	-0.05	0.67	-0.05	29.36	0.00	6.61
1.60	55.71	83.57	1.04	-3.96	14.33	-0.16	0.58	-0.16	32.51	0.00	6.58
1.60	58.02	87.02	1.09	-7.80	12.72	-0.29	0.48	-0.29	35.89	0.00	6.17
1.60	59.66	89.50	1.12	-10.55	11.57	-0.37	0.41	-0.37	39.49	0.00	6.01

#### 4.1.4 Tabelle dei risultati - Dimensionamento vetro DF810FR - Carichi verso l'interno

DF810FR17 - 8.8.4 ESG mit PVB - Folie - Lasten gegen die Absturzrichtung nach innen (IN)														
L3											mm			
L4	70	29,5	mm	Absatz oberer Lagerpunkt Glas/Glas im Profil										
L7	-0,5	mm	Absatz unterer Lagerpunkt Glas/Glas/Polymer Profil											
Fu	1	mm	Absatz unterer Lagerpunkt Glas/Glas/Polymer Profil											
wa	1	mm	Absatz unterer Lagerpunkt Glas/Glas/Polymer Profil											
Ej,Folie	0,0001	N/mm <sup>2</sup>	E-Modul PVB-Folie nach den Vorgaben des ESG nach SkA 205/2021											
Rk,ESG	120	N/mm <sup>2</sup>	Charakteristische Biegezästigkeit ESG nach SkA 205/2021											
ym,ESG	1,5	N/mm <sup>2</sup>	Bemessungswert der Biegezästigkeit ESG nach SkA 205/2021 für VSG-Scheibe											
Rd,ESG	88,00	N/mm <sup>2</sup>	Kombinationsbewertet für Holmdäsen (Kat.C) nach SkA 260/2013											
r,Holm	0,7	N/mm <sup>2</sup>	Kombinationsbewertet für Winddäsen nach SkA 260/2013											
r,Wind	0,6	N/mm <sup>2</sup>	Kombinationsbewertet für Winddäsen nach SkA 260/2013											
z,Q	1,5	N/mm <sup>2</sup>	Kombinationsbewertet für variable Lasten nach SkA 260/2013											

DF810FR17 - 8.8.4 ESG mit PVB - Folie - Lasten gegen die Absturzrichtung nach innen (IN)											
Ltot	L1	L,Glas	def,hu	emax,hu	wu	def,wu	MRd,glass	hk 0,4	def,max,0,4	def,max,0,4	def,wk1
mm	mm	mm	mm	N/mm <sup>2</sup>	N/mm <sup>2</sup>	mm	kNm/m	kN/m	N/mm <sup>2</sup>	N/mm <sup>2</sup>	wk1
600	500,5	570,0	29,63	7,93	7,47	1,57	1,49	0,40	11,85	10,45	7,80
650	550,5	620,0	32,87	9,15	2,26	1,47	0,40	13,15	19,72	0,22	50,37
700	600,0	35,58	13,32	10,74	3,14	1,49	0,40	14,23	21,35	0,24	50,37
750	650,5	720,0	38,81	16,74	4,27	1,47	0,40	15,57	23,29	0,26	71,90
800	700,5	720,0	41,53	16,71	14,60	1,48	0,40	16,61	24,92	0,28	70,99
850	750,5	820,0	44,74	25,25	16,90	1,48	0,40	17,90	26,84	0,31	67,95
900	800,5	870,0	19,07	30,42	19,07	1,48	0,40	18,99	28,48	0,32	66,13
950	850,5	920,0	50,68	36,25	21,67	1,48	0,40	20,27	30,41	0,35	63,99
1000	900,5	970,0	52,77	24,13	14,92	1,48	0,40	22,16	43,71	0,36	62,16
1050	950,5	1020,0	56,61	50,04	27,02	18,40	1,48	0,40	22,64	33,97	0,39
1100	1000,5	1070,0	59,26	58,08	22,45	1,48	0,40	23,74	35,62	0,40	40,88
1150	1050,5	1120,0	62,95	66,95	32,97	27,13	1,48	0,40	25,02	37,53	0,43
1200	1100,5	1170,0	76,67	82,79	36,02	32,51	1,48	0,40	26,12	39,18	0,45
1250	1150,5	1220,0	68,49	87,29	39,52	38,65	1,48	0,40	27,40	41,09	0,47
1300	1200,5	1270,0	71,24	98,84	42,86	45,63	1,48	0,40	28,50	42,74	0,49
1350	1300,5	1320,0	74,42	111,38	46,16	53,50	1,48	0,40	29,77	44,65	0,51
1400	1350,5	1400,0	77,18	124,93	50,30	62,36	1,48	0,40	30,87	46,31	0,53
1450	1400,5	1420,0	80,36	139,54	54,40	72,27	1,48	0,40	32,14	48,22	0,55
1500	1450,5	1520,0	83,12	155,74	58,32	83,31	1,48	0,40	33,25	49,87	0,57
1550	1500,5	1570,0	86,30	172,08	62,73	95,58	1,48	0,40	34,52	51,78	0,59
1600	1500,5	190,09	66,94	190,15	1,48	0,40	35,62	53,43	0,61	38,41	0,57

DF810FR17 - 8.8.4 ESG mit PVB - Folie - Lasten gegen die Absturzrichtung nach innen (IN)											
hk 0,8											hk=0,8 kNm/m
hk=0,8											hk=0,8 kNm/m
def,k,max,0,8											def,wk1
def,k,max,0,8											wk1
def,k,max,0,8											wk2
def,k,max,0,8											wkmin, 0,8
def,k,max,0,8											def,hk
def,k,max,0,8											def,wk1
def,k,max,0,8											def,wk2
def,k,max,0,8											def,SLE
def,k,max,0,8											mm

# 23065 Defender 810 - CH, Logli

**DF810FR17 - 8.8.4 ESG mit SGP - Folie - EXT - Lasten gegen die Absturzrichtung nach innen (IN)**

L3	70	mm	Abstand oberer zu unterer Lagerpunkt Glas im Profil.									
L4	29.5	mm	Abstand unterer Lagerpunkt Glas/Profil zu Unterkante Profil.									
L7	-0.5	mm	Abstand unterer Lagerpunkt Glas/Profil zu Unterkante Glas.									
Fu	1	mm	Horizontale Einheitstast als Linienelement an der Oberkante Glasdrückung.									
wu	1	mm	Horizontale Einheitstast als Flächennetz, auf der gesamten Glaslösung.									
E-Folie	11.92	N/mm <sup>2</sup>	E-Wert des Folien nach AbZ Z-70.3-25 für Lasten in Längs- und Quer-Richtung.									
frk, ESG	1.5	N/mm <sup>2</sup>	Charakteristische Biegefestigkeit ESG nach SIA 2057-2021.									
yrm, ESG	80.00	N/mm <sup>2</sup>	Bemessungswert der Materialsteifigkeit ESG nach SIA 2057-2021 für VSG-Scheibe mit kug=1.0 nach AbZ Z-70.3-25.									
frd, ESG	0.7	N/mm <sup>2</sup>	Kombinationsbeiwert für Holzlasten (kfrd) nach SIA 260-2013									
yHolz	0.6	-	Kombinationsbeiwert für Windlasten nach SIA 260-2013									
yWind	1.5	-	Teilsicherheitsbeiwert Lastseite für variable Lasten nach SIA 260-2013									
Q	1.5	-	Teilsicherheitsbeiwert Lastseite für variable Lasten nach SIA 260-2013									

Lott	L1	L2	L3	L4	L5	L6	L7	L8	L9	L10	L11	L12	L13	DF810FR17 - 8.8.4 ESG mit SGP - Folie - EXT - Lasten gegen die Absturzrichtung nach innen (IN)										
														hu	wu	def, hu	def, wu	def, vwu						
600	500,5	570,0	500,5	570,0	24.67	4.22	27.37	6.42	0.90	1.61	0.40	10.95	14.80	0.19	72.44	46.43	11.28	7.23	1.69	10.16	5.51	7.78	8.85	7.78
650	550,5	620,0	550,5	620,0	29.41	6.54	9.10	1.67	1.63	1.60	0.40	11.76	16.42	0.21	70.64	45.67	9.05	5.85	2.12	11.22	7.28	10.24	10.24	7.78
700	600,5	670,0	600,5	670,0	34.15	9.59	12.29	2.19	1.62	1.60	0.40	12.84	19.26	0.22	69.28	45.10	9.66	4.96	2.44	11.37	7.31	9.01	11.40	7.78
750	650,5	720,0	650,5	720,0	39.05	12.83	16.64	1.64	1.64	1.63	0.40	13.66	20.49	0.24	67.49	44.35	6.26	3.56	2.44	11.22	7.31	10.28	12.94	7.78
800	700,5	780,0	700,5	780,0	44.95	16.22	14.22	3.58	1.63	1.63	0.40	14.73	22.10	0.26	66.12	43.77	6.52	3.03	4.50	16.20	10.83	14.22	14.22	7.78
850	750,5	820,0	800,5	870,0	49.85	19.96	15.96	1.65	1.65	1.65	0.40	15.55	23.33	0.28	62.97	42.45	6.97	2.66	5.27	17.64	11.89	15.85	15.85	7.78
900	800,5	850,0	850,5	900,0	54.75	15.31	18.13	5.51	1.64	1.64	0.40	16.62	24.94	0.31	61.18	41.70	3.37	2.30	6.12	18.59	12.67	17.28	17.28	7.78
950	850,5	900,0	900,5	950,0	59.65	17.65	20.10	6.72	1.65	1.65	0.40	17.44	26.17	0.33	59.82	41.12	2.98	2.05	7.06	20.00	13.75	19.06	19.06	7.78
1000	900,5	950,0	950,5	1020,0	64.59	22.51	8.11	1.64	1.64	1.64	0.40	18.52	27.77	0.35	58.03	40.37	2.58	1.79	8.08	20.91	14.55	20.62	20.62	7.78
1050	950,5	1020,0	1020,0	1070,0	69.43	24.72	22.97	1.66	1.66	1.66	0.40	19.34	29.00	0.36	56.66	39.80	2.29	1.61	9.19	22.23	15.62	22.53	22.53	7.78
1100	1000,5	1070,0	1050,5	1120,0	75.02	27.38	11.50	1.65	1.65	1.65	0.40	20.41	30.61	0.38	54.88	39.05	2.00	1.43	10.39	23.05	16.40	24.22	24.22	7.78
1150	1050,5	1120,0	1100,5	1170,0	80.82	29.81	13.53	1.66	1.66	1.66	0.40	21.23	31.85	0.40	53.50	38.47	1.79	1.29	11.68	24.28	17.46	26.25	26.25	7.78
1200	1100,5	1170,0	1150,5	1220,0	86.72	32.77	32.77	1.65	1.65	1.65	0.40	22.30	33.45	0.42	51.72	37.72	1.58	1.15	13.08	24.99	18.23	28.08	28.08	7.78
1250	1150,5	1220,0	1200,5	1280,0	92.62	36.45	36.37	18.36	1.66	1.66	0.40	23.12	34.69	0.43	50.35	37.15	1.42	1.05	14.58	26.14	19.38	30.26	30.26	7.78
1300	1200,5	1280,0	1280,5	1320,0	98.52	40.46	38.53	2.21	1.65	1.65	0.40	24.19	36.23	0.45	48.36	36.40	1.26	0.94	16.18	26.74	20.04	32.23	32.23	7.78
1350	1280,5	1320,0	1320,0	1370,0	104.42	44.74	41.40	2.36	1.66	1.66	0.40	25.02	37.52	0.47	47.40	35.82	1.14	0.87	17.90	27.77	21.08	34.56	34.56	7.78
1400	1320,0	1370,0	1370,0	1420,0	110.32	48.31	27.84	1.66	1.66	1.66	0.40	26.08	39.12	0.49	45.42	35.08	1.01	0.78	19.72	28.22	21.79	36.66	36.66	7.78
1450	1370,0	1420,0	1420,0	1470,0	116.22	51.47	31.67	1.67	1.67	1.67	0.40	26.91	40.36	0.50	44.04	34.50	0.92	0.72	21.67	29.11	22.80	39.14	39.14	7.78
1500	1420,0	1470,0	1400,5	1520,0	122.12	57.11	51.57	35.88	1.66	1.66	0.40	27.97	41.96	0.52	42.27	33.75	0.82	0.65	23.73	29.41	23.48	41.38	41.38	7.78
1550	1470,0	1520,0	1520,0	1570,0	128.00	64.80	54.89	40.48	1.67	1.67	0.40	28.80	43.20	0.54	40.89	33.17	0.74	0.60	25.92	30.15	24.46	44.01	44.01	7.78

DF810FR17 - 8.8.4 ESG mit SGP - Folie - EXT - Lasten gegen die Absturzrichtung nach innen (IN)												
hk0,8	defE <sub>max</sub> ,0,8	defE <sub>max</sub> ,0,8	ut,0,8	defE <sub>max</sub> ,0,8	ut,0,8	wk1	wk2	wk3	wk4	wk5	wk6	wk7
0.80	19.74	29.60	0.37	56.80	39.52	8.72	6.17	6.16	6.16	3.38	7.35	5.54
0.80	21.90	32.84	0.41	52.40	38.01	8.72	6.17	6.17	6.17	4.07	4.24	6.03
0.80	23.53	35.29	0.44	49.68	36.86	5.48	4.05	4.05	4.05	5.23	6.77	9.23
0.80	25.68	38.01	0.48	46.99	35.36	5.48	3.28	3.28	3.28	6.34	9.32	10.70
0.80	36.67	58.01	0.73	24.44	26.26	0.99	1.06	1.06	1.06	9.38	10.31	24.13
0.80	40.62	61.22	0.77	20.86	24.76	0.76	0.76	0.76	0.76	8.76	10.40	26.03
0.80	42.46	63.70	0.80	18.12	23.61	0.61	0.79	0.61	0.79	8.22	10.72	28.30
0.80	44.60	66.90	0.84	14.56	22.11	0.44	0.68	0.44	0.68	7.03	10.68	30.38
0.80	46.25	69.37	0.87	11.81	20.96	0.33	0.59	0.33	0.59	6.13	10.88	32.84
0.80	48.38	72.56	0.91	8.26	19.47	0.21	0.51	0.21	0.51	5.38	10.72	35.10
0.80	50.03	75.05	0.94	5.50	18.31	0.13	0.44	0.13	0.44	4.55	10.77	37.73
0.80	52.16	78.24	0.98	1.96	16.82	0.04	0.38	0.04	0.38	3.59	10.77	40.18
0.80	53.82	80.72	1.01	-0.80	15.66	0.02	0.33	-0.02	0.33	0.02	10.45	43.34
0.80	55.94	83.92	1.05	-4.35	14.17	0.08	0.27	-0.08	0.27	0.08	9.86	47.46
0.80	57.60	86.40	1.08	-7.11	13.01	-0.13	-0.24	-0.13	-0.24	-0.13	9.60	51.84

DF810FR17 - 8.8.4 ESG mit SGP - Folie - EXT - Lasten gegen die Absturzrichtung nach innen (IN)												
hk0,8	defE<sub>max</sub>,0,8	defE<sub>max</sub>,0,8	ut,0,8	defE<sub>max</sub>,0,8	ut,0,8	wk1	wk2	wk3	wk4	wk5	wk6	wk7


<tbl\_r cells="13" ix="

**DF810FR21 - 10.10.4 ESG mit PVb - Folie - Lasten gegen die Absturzrichtung nach innen (N)**

L3	70	mm	mm	Abstand oberer zu unterer Lagerpunkt: Glas im Profil
L4	29,5	mm	mm	Abstand unterer Lagerpunkt: Glas Profil zu Unterkante Profil
L7	-0,5	mm	mm	Abstand unterer Lagerpunkt: Glas Profil zu Unterkante Glas
Fu	1	mm	mm	Horizontale Einheitlast: als Lineallast an der Oberkante Gleisbrückung
wu	0,0001	N/mm <sup>2</sup>	N/mm <sup>2</sup>	Horizontale Einheitlast: als Flächenauslast auf der gesamten Gleisbrückung
EJ_Folie	120	N/mm <sup>2</sup>	N/mm <sup>2</sup>	E-Modul PVb-Folie nach Vorgaben der SIA-2057/2021
ym_ESG	1,5	N/mm <sup>2</sup>	N/mm <sup>2</sup>	Charakteristische Begeastigtestigte ESG nach SIA-2057/2021
ym_ESG	88,00	N/mm <sup>2</sup>	N/mm <sup>2</sup>	Bemessungswert der Begeastigtestigte ESG nach SIA-2057/2021 für VSG-Scheibe
Ru_ESG	0,7	N/mm <sup>2</sup>	N/mm <sup>2</sup>	Kombinationsbeiwert für Holmastein (RatC) nach SIA-260/2013
r0_Holm	0,6	-	-	Kombinationsbeiwert für Windseiten nach SIA-260/2013
r0_Wind	1,5	-	-	Teilichtheitsbeiwert Lettsseite für variable Lasten nach SIA-260/2013
Q	-	-	-	-

DF810FR21 - 10.10.4 ESG mit PVb - Folie - Lasten gegen die Absturzrichtung nach innen (N)

Ltot mm	L1 mm	L_Glas mm	hu	wU	def_hu	wmax_wu N/mm <sup>2</sup>	def_wu mm	M_Rd_glas kNm/m	hk_0,4 kNm/m	σEk,max_0,4 N/mm <sup>2</sup>	σEdmax_0,4 N/mm <sup>2</sup>	ut_0,4 mm	σwk1 N/mm <sup>2</sup>	wk1 kN/m <sup>2</sup>	σwk2 N/mm <sup>2</sup>	wk2 kN/m <sup>2</sup>	wkmin_0,4 kN/m <sup>2</sup>	def_hk mm	def_wk1 mm	def_wk2 mm	def_wk3 mm	def_wk4 mm	def_wk5 mm	def_wk6 mm
600	500,5	570,0	19,41	4,11	0,82	4,89	2,27	0,40	7,76	11,65	0,13	8,84	53,23	10,89	1,64	14,23	8,93	10,18	11,96	10,18	11,96	10,18		
650	550,5	620,0	21,53	5,38	0,97	5,97	1,17	0,40	8,61	12,92	0,15	8,82	52,23	10,89	1,64	14,23	8,93	10,18	11,96	10,18	11,96	10,18		
700	600,5	670,0	23,30	6,89	1,13	6,93	1,63	0,40	9,32	13,98	0,16	82,24	52,14	11,70	17,35	10,89	1,64	14,23	8,93	10,18	11,96	10,18		
750	650,5	720,0	25,41	8,66	1,22	8,33	2,21	0,40	10,16	15,25	0,17	80,84	51,55	9,72	21,47	13,69	16,35	16,35	16,35	16,35	16,35	16,35		
800	700,5	780,0	27,19	10,70	1,27	9,57	2,94	0,40	10,88	16,31	0,19	79,65	51,05	8,32	4,28	24,47	15,68	18,96	18,96	18,96	18,96	18,96		
850	750,5	820,0	29,30	13,04	1,32	11,05	3,02	0,40	11,72	17,58	0,20	78,24	50,46	7,08	4,57	5,72	27,05	17,45	21,45	21,45	21,45	21,45		
900	800,5	870,0	31,08	12,49	1,40	12,49	3,02	0,40	12,45	18,65	0,21	77,06	49,96	6,17	4,00	6,28	30,23	19,60	24,42	24,42	24,42	24,42		
950	850,5	920,0	33,18	14,18	1,49	14,18	3,19	0,40	13,27	19,91	0,23	75,66	49,38	5,34	3,48	3,48	33,03	21,55	27,30	27,30	27,30	27,30		
1000	900,5	970,0	34,97	15,88	1,59	15,88	3,27	0,40	13,99	20,98	0,24	74,46	48,88	4,71	3,09	3,09	36,34	23,85	30,63	30,63	30,63	30,63		
1050	950,5	1020,0	37,07	25,80	17,69	9,51	2,26	0,40	14,83	22,24	0,25	73,06	48,29	4,13	2,73	2,73	39,28	25,96	33,89	33,89	33,89	33,89		
1100	1000,5	1070,0	38,86	29,94	19,5	11,59	2,27	0,40	15,54	23,32	0,26	71,87	47,79	3,69	2,45	2,45	42,72	28,40	37,61	37,61	37,61	37,61		
1150	1050,5	1120,0	40,95	34,49	21,59	14,01	2,26	0,40	16,38	24,57	0,28	70,48	47,20	3,26	2,19	2,19	45,73	30,63	41,24	41,24	41,24	41,24		
1200	1100,5	1170,0	42,75	39,49	23,59	16,78	2,27	0,40	17,14	25,65	0,29	69,28	46,11	2,94	1,98	1,98	49,28	33,22	45,36	45,36	45,36	45,36		
1250	1150,5	1220,0	44,84	44,95	25,88	19,94	2,26	0,40	17,94	26,90	0,31	68,98	46,11	2,62	1,78	1,78	52,30	35,53	49,36	49,36	49,36	49,36		
1300	1200,5	1270,0	46,94	50,89	28,07	23,53	2,27	0,40	18,66	27,98	0,32	66,68	45,51	2,38	1,62	1,62	20,36	55,90	38,23	53,90	53,90	53,90		
1350	1250,5	1320,0	49,22	51,52	27,59	21,59	2,26	0,40	19,49	29,23	0,33	65,30	45,03	2,14	1,47	1,47	22,93	55,95	40,65	63,24	63,24	63,24		
1400	1300,5	1370,0	50,52	64,29	32,94	32,94	2,27	0,40	20,21	30,31	0,34	64,10	44,52	1,95	1,35	1,35	25,72	62,54	45,93	68,05	68,05	68,05		
1450	1350,5	1420,0	52,61	71,80	35,62	37,24	2,26	0,40	21,04	31,57	0,35	62,70	43,94	1,76	1,23	1,23	28,72	65,56	45,93	73,43	73,43	73,43		
1500	1400,5	1470,0	54,41	79,86	38,19	42,93	2,27	0,40	21,76	32,65	0,37	61,50	43,43	1,56	1,14	1,14	31,94	69,14	51,36	78,64	78,64	78,64		
1550	1450,5	1520,0	56,49	88,51	41,08	49,24	2,26	0,40	22,60	22,60	0,39	60,12	42,85	1,46	1,04	1,04	35,40	72,06	51,36	78,64	78,64	78,64		
1600	1500,5	1570,0	58,30	97,76	56,22	43,83	2,26	0,40	23,32	34,98	0,40	58,91	42,34	1,34	0,97	0,97	39,10	75,56	54,31	84,44	84,44	84,44		

DF810FR21 - 10.10.4 ESG mit PVb - Folie - Lasten gegen die Absturzrichtung nach innen (N)

hk_0,8 kNm	σEk,max_0,8 N/mm <sup>2</sup>	σEdmax_0,8 N/mm <sup>2</sup>	ut_0,8 mm	σwk1 N/mm <sup>2</sup>	wk1 kN/m <sup>2</sup>	σwk2 N/mm <sup>2</sup>	wk2 kN/m <sup>2</sup>	wkmin_0,8 kN/m <sup>2</sup>	def_hk mm	def_wk1 mm	def_wk2 mm	def_wk3 mm	def_wk4 mm	def_wk5 mm	def_wk6 mm	
																def_wk7 mm
0,80	15,53	23,70	0,26	7,90	47,60	14,70	9,77	9,77	3,29	12,66	8,02	10,52	10,52	10,52	10,52	10,52
0,80	17,22	25,84	0,29	6,07	46,61	11,57	7,81	7,81	4,30	13,34	9,13	12,45	12,45	12,45	12,45	12,45
0,80	18,64	27,96	0,32	66,71	45,62	9,49	6,49	6,49	5,31	15,47	10,38	14,79	14,79	14,79	14,79	14,79
0,80	20,33	30,49	0,35	63,90	44,44	7,68	5,34	5,34	6,93	16,97	11,80	17,11	17,11	17,11	17,11	17,11
0,80	21,75	32,63	0,37	61,52	43,44	6,43	4,54	4,54	8,56	18,90	13,35	19,90	19,90	19,90	19,90	19,90
0,80	23,44	35,16	0,40	58,71	42,26	5,31	3,82	3,82	10,43	20,30	14,61	22,61	22,61	22,61	22,61	22,61
0,80	24,86	37,30	0,42	56,34	41,26	4,51	3,30	3,30	12,56	22,10	16,49	25,82	25,82	25,82	25,82	25,82
0,80	26,54	39,82	0,45	53,54	39,09	3,78	2,83	2,83	14,96	23,37	17,50	28,98	28,98	28,98	28,98	28,98
0,80	27,98	41,96	0,48	51,15	39,08	3,24	2,47	2,47	17,65	24,56	19,07	32,62	32,62	32,62	32,62	32,62
0,80	29,66	44,48	0,51	48,35	37,91	2,73	2,14	2,14	20,64	25,99	20,38	36,24	36,24	36,24	36,24	36,24
0,80	31,09	46,63	0,53	45,96	36,91	2,36	1,89	1,89	23,95	27,72	21,93	40,24	40,24	40,24	40,24	40,24
0,80	32,76	49,14	0,56	43,18	35,73	2,00	1,66	1,66	28,02	31,19	24,40	44,40	44,40	44,40	44,40	44,40
0,80	34,20	51,30	0,58	40,78	34,73	1,73	1,47	1,47	31,59	39,01	24,70	49,00	49,00	49,00	49,00	49,00
0,80	35,87	53,81	0,61	37,99	33,56	1,47	1,30	1,30	35,96	42,27	29,27	53,52	53,52	53,52	53,52	53,52
0,80																

**DF810FR21 - 10.10.4 ESG mit SGP - Folie - EXT - Lasten gegen die Absturzrichtung nach innen (IN)**

L3	70	mm	mm	Abstand oberer zu unterer Lagerpunkt: Gas im Profil.
L4	29,5	mm	mm	Abstand unterer Lagerpunkt: Gas Profil zu Unterkante Profil.
L7	-0,5	mm	mm	Horizontale Entfernung: Abstand unterer Lagerpunkt: Gas Profil zu Unterkante Gas.
Fu	1	mm/kN/m	mm/kN/m <sup>2</sup>	Horizontale Einheitlast: als Lineallast an der Oberkante Gleisbrückung
wu	11,92	N/mm <sup>2</sup>	N/mm <sup>2</sup>	E-Modul SGP-Folie nach Z-70-3-25 nach Laddauer In und Zwischenstütztemperatur von 50° - extern
EJ-Folie	120	N/mm <sup>2</sup>	N/mm <sup>2</sup>	Charakteristische Begeugungsfestigkeit ESG nach SIA-2057-2021
ym, ESG	1,5	N/mm <sup>2</sup>	N/mm <sup>2</sup>	Bemessungswert Materialsteife für ESG nach SIA-2057-2021 für VSG-Scheiben mit kvsg=1,0 nach AbZ-70-3-25
Ru, ESG	80,00	N/mm <sup>2</sup>	N/mm <sup>2</sup>	Kombinationsbeiwert für Holmastein (RaC) nach SIA-260-2013
r0, Holm	0,7	-	-	Teilweitenbeiwert: Lastseite für variable Lasten nach SIA-260-2013
r0, Wind	0,6	-	-	
γQ	1,5	-	-	

DF810FR21 - 10.10.4 ESG mit SGP - Folie - EXT - Lasten gegen die Absturzrichtung nach innen (IN)											
Ltot	L1	L Glas	hu	wu	def, hu	def,wu	εmax, hu	εmax, wu	hk, max. 0,4	σEhk,max. 0,4	σEdmax. 0,4
mm	mm	mm	mm	mm	mm	mm	N/mm <sup>2</sup>	N/mm <sup>2</sup>	km/m	km/m <sup>2</sup>	N/mm <sup>2</sup>
600	500,5	570,0	2,38	0,51	2,41	0,40	6,05	9,98	0,12	77,80	48,68
650	550,5	620,0	18,43	5,23	2,39	0,40	7,93	11,06	0,14	76,60	48,17
700	600,5	670,0	19,82	6,12	0,94	0,40	8,44	11,89	0,15	75,68	47,78
750	650,5	720,0	21,61	4,47	1,23	0,40	8,44	12,97	0,16	74,48	47,28
800	700,5	770,0	23,00	5,35	8,27	0,40	9,20	13,80	0,17	73,56	46,89
850	750,5	820,0	24,80	6,33	9,56	0,40	9,92	14,88	0,19	72,36	46,39
900	800,5	870,0	26,19	7,40	2,51	0,40	10,48	15,71	0,20	71,43	46,00
950	850,5	920,0	27,98	8,59	12,19	0,40	11,19	16,79	0,21	70,24	45,50
1000	900,5	970,0	29,38	9,89	13,53	0,40	11,75	17,63	0,22	69,30	45,11
1050	950,5	1020,0	31,17	11,31	15,15	0,45	12,47	18,70	0,23	68,11	44,61
1100	1000,5	1070,0	32,56	16,64	5,43	0,40	13,02	19,54	0,24	67,18	44,22
1150	1050,5	1120,0	34,35	18,43	6,44	0,40	13,74	20,61	0,26	65,99	43,72
1200	1100,5	1170,0	35,75	20,07	7,57	0,40	14,30	21,45	0,27	65,06	43,32
1250	1150,5	1220,0	37,53	18,23	2,22	0,40	15,01	22,52	0,28	63,87	42,82
1300	1200,5	1270,0	38,93	20,30	23,81	0,40	15,57	23,36	0,29	62,94	42,43
1350	1250,5	1320,0	42,12	22,51	25,93	0,40	16,29	24,43	0,31	61,74	41,93
1400	1300,5	1370,0	32,56	17,88	13,99	0,40	16,85	25,27	0,32	60,81	41,54
1450	1350,5	1420,0	43,90	27,38	30,16	0,40	17,56	26,34	0,33	59,62	41,04
1500	1400,5	1470,0	45,30	30,05	32,26	0,40	18,12	27,18	0,34	58,69	40,65
1550	1450,5	1520,0	47,09	32,89	34,71	0,40	18,84	28,25	0,35	57,50	40,15
1600	1500,5	1570,0	48,49	35,89	36,96	0,40	19,40	29,09	0,36	56,56	39,76

DF810FR21 - 10.10.4 ESG mit SGP - Folie - EXT - Lasten gegen die Absturzrichtung nach innen (IN)											
hk, 0,8	σEhk,max. 0,8	σEdmax. 0,8	ut, 0,8	εmax, 0,8	def, hk	def, wu	εmax, hu	εmax, wu	hk, 0,8	σEhk	σEdhk
km/m	N/mm <sup>2</sup>	N/mm <sup>2</sup>	mm	N/mm <sup>2</sup>	mm	mm	N/mm <sup>2</sup>	N/mm <sup>2</sup>	km/m	mm	mm
0,80	13,30	19,56	0,25	66,72	14,02	15,15	62,26	10,72	1,50	7,93	5,23
0,80	14,74	22,12	0,28	64,32	12,30	8,22	6,22	2,39	8,61	5,76	6,66
0,80	15,86	23,78	0,30	62,46	12,21	6,90	5,70	2,95	9,59	6,49	8,71
0,80	17,29	25,93	0,32	60,08	11,23	8,31	5,70	3,58	10,22	7,01	11,00
0,80	18,40	27,60	0,35	58,22	10,45	7,49	4,89	4,28	11,19	7,78	12,11
0,80	19,84	29,76	0,37	55,82	9,45	5,84	4,13	4,13	11,74	8,29	12,37
0,80	20,95	31,43	0,39	53,97	8,67	5,02	3,60	5,92	12,60	9,03	13,48
0,80	22,38	33,58	0,42	51,58	37,66	4,23	3,09	6,87	13,12	9,58	14,74
0,80	23,50	35,76	0,44	49,72	36,88	3,67	2,73	7,91	13,85	10,28	16,22
0,80	24,94	37,40	0,47	47,33	35,88	3,12	2,37	9,05	14,21	10,78	17,58
0,80	26,05	39,07	0,49	45,48	35,10	2,73	2,11	10,28	14,84	11,45	19,18
0,80	41,09	41,72	0,52	43,09	34,10	2,34	1,85	11,61	15,06	12,57	22,37
0,80	42,60	42,90	0,54	41,22	33,31	2,05	1,66	13,04	15,55	12,97	23,94
0,80	45,04	46,72	0,56	38,85	32,32	1,76	1,47	14,58	15,60	12,97	25,80
0,80	31,14	48,72	0,58	36,98	31,53	1,55	1,32	1,32	15,94	13,59	17,44
0,80	32,58	48,86	0,61	34,60	30,53	1,33	1,18	1,18	18,01	15,80	17,49
0,80	33,70	50,54	0,63	32,73	29,75	1,17	1,07	1,07	19,90	15,95	14,50
0,80	35,12	52,68	0,66	30,36	28,75	1,01	0,95	0,95	21,90	15,62	14,79
0,80	36,24	54,36	0,68	28,49	27,97	0,88	0,87	0,87	24,04	15,58	13,39
0,80	37,67	56,51	0,71	26,10	26,96	0,75	0,78	0,78	26,31	15,02	15,51
0,80	38,79	58,19	0,73	24,24	26,18	0,66	0,71	0,71	28,71	14,77	15,95

**DF810FR21 - 10.10.4 ESG mit SGP - Folie - INT - Lasten gegen die Absturzrichtung nach innen (IN)**

L3	70	mm	mm	Abstand oberer zu unterer Lagerpunkt: Glas im Profil.
L4	29,5	mm	mm	Abstand unterer Lagerpunkt: Glas Profil zu Unterkante Profil.
L7	-0,5	mm	mm	Abstand unterer Lagerpunkt: Glas Profil zu Unterkante Glas.
Fu	1	1	1	Horizontale Einheitstast: als Linienlast an der Oberkante Gleisbrückung
wu	193,7	N/mm <sup>2</sup>	N/mm <sup>2</sup>	Horizontale Einheitstast: als Flächentast auf der gesamten Gabbrüfung
EJ,Folie	120	N/mm <sup>2</sup>	N/mm <sup>2</sup>	Charakteristische Begeugungsfestigkeit ESG nach SIA-2057-2021
ym,ESG	1,5	N/mm <sup>2</sup>	N/mm <sup>2</sup>	Bemessungswert Materialsteife für ESG nach SIA-2057-2021
Ru,ESG	80,00	N/mm <sup>2</sup>	N/mm <sup>2</sup>	Kombinationsbeiwert für Holmastein (Rat.C) nach SIA-260-2013
r0,Holm	0,7	-	-	Kombinationsbeiwert für Windseiten nach SIA-260-2013
r0,Wind	0,6	-	-	Teilbehelfsbeiwert Lettsseite für variable Lasten nach SIA-260-2013
γQ	1,5	-	-	-

**DF810FR21 - 10.10.4 ESG mit SGP - Folie - INT - Lasten gegen die Absturzrichtung nach innen (IN)**

Ltot	L1	L,Glas	hu	wu	def,hu	εmax,wu	def,wu	hk,glass	hk,0,4	σE,max,0,4	εE,max,0,4	ut,0,4	σwk1	wk1	σwk2	wk2	hk,0,4 KNm/m	hk,0,4 KNm/m	wkmin,0,4	def,wk1	def,wk2	def,wk1	def,wk2	def,SLE
mm	mm	mm	mm	N/mm <sup>2</sup>	mm	N/mm <sup>2</sup>	mm	kNm/m	kNm/m	N/mm <sup>2</sup>	N/mm <sup>2</sup>	N/mm <sup>2</sup>	N/mm <sup>2</sup>	mm <sup>2</sup>	mm <sup>2</sup>	N/mm <sup>2</sup>	N/mm <sup>2</sup>	mm	mm	mm	mm	mm	mm	
600	500,5	570,0	12,62	3,3	0,27	3,17	0,40	5,61	5,05	7,57	0,09	80,48	49,80	24,39	15,09	15,09	15,09	15,09	0,50	6,58	4,07	4,45	4,45	4,45
650	550,5	620,0	14,03	4,60	0,21	3,98	0,37	3,14	6,07	9,07	0,11	79,54	49,40	19,98	12,41	12,41	12,41	12,41	0,64	7,39	4,59	5,97	5,97	5,97
700	600,5	670,0	15,04	2,01	0,47	3,19	0,40	6,60	6,60	6,60	0,11	78,86	49,17	10,52	10,52	10,52	10,52	10,52	0,80	8,61	5,36	5,97	5,97	5,97
750	650,5	720,0	14,50	2,49	0,67	3,15	0,40	6,60	6,60	6,60	0,11	77,89	48,71	14,44	8,84	8,84	8,84	8,84	1,00	9,47	5,92	6,68	6,68	6,68
800	700,5	770,0	17,51	6,28	0,88	3,20	0,40	7,60	10,51	10,51	0,13	77,22	48,43	12,30	12,30	12,30	12,30	12,30	1,21	10,82	7,71	7,71	7,71	7,71
850	750,5	820,0	18,97	3,64	1,13	3,16	0,40	7,39	11,38	11,38	0,14	76,24	48,02	10,47	6,60	6,60	6,60	6,60	1,46	11,83	7,45	8,56	8,56	8,56
900	800,5	870,0	19,99	4,34	8,16	1,42	0,40	8,00	11,99	0,15	75,56	47,74	9,26	5,85	5,85	5,85	5,85	1,74	13,15	8,31	8,31	8,31	8,31	
950	850,5	920,0	21,44	5,11	9,3	1,78	0,40	8,98	12,86	0,16	74,60	47,33	8,02	5,09	5,09	5,09	5,09	2,04	14,28	9,06	10,61	10,61	10,61	
1000	900,5	970,0	24,46	5,97	10,3	2,17	0,40	9,56	14,35	0,18	73,92	47,04	7,18	4,57	4,57	4,57	4,57	2,39	15,72	10,00	11,82	11,82	11,82	
1050	950,5	1020,0	23,91	6,92	11,57	2,67	0,40	9,56	14,35	0,18	72,95	46,64	6,31	4,03	4,03	4,03	4,03	2,77	16,83	10,76	12,87	12,87	12,87	
1100	1000,5	1070,0	24,93	7,97	12,68	3,23	0,40	9,97	14,96	0,19	72,27	46,35	5,70	3,66	3,66	3,66	3,66	3,19	18,41	11,81	14,23	14,23	14,23	
1150	1050,5	1120,0	26,38	9,11	14,09	3,87	0,40	10,55	15,83	0,20	71,30	45,95	5,06	3,26	3,26	3,26	3,26	3,64	19,58	12,62	15,39	15,39	15,39	
1200	1100,5	1170,0	27,40	10,37	15,31	4,59	0,40	10,96	16,44	0,21	70,62	45,66	4,61	2,98	2,98	2,98	2,98	4,15	21,17	13,69	16,85	16,85	16,85	
1250	1150,5	1220,0	28,85	11,73	16,85	5,42	0,40	11,54	17,31	0,22	69,60	45,26	4,13	2,69	2,69	2,69	2,69	4,69	22,41	14,56	18,14	18,14	18,14	
1300	1200,5	1270,0	29,88	13,20	18,18	6,35	0,40	11,95	17,93	0,22	68,97	44,97	3,79	2,47	2,47	2,47	2,47	5,28	24,09	15,71	19,73	19,73	19,73	
1350	1250,5	1320,0	31,32	14,79	19,86	7,40	0,40	12,31	18,55	0,23	68,01	44,56	3,42	2,24	2,24	2,24	2,24	5,92	23,34	16,60	21,12	21,12	21,12	
1400	1300,5	1370,0	32,35	21,3	21,3	8,57	0,40	12,94	19,41	0,24	67,32	44,28	3,16	2,08	2,08	2,08	2,08	6,60	27,09	17,81	22,86	22,86	22,86	
1450	1350,5	1420,0	33,79	18,35	23,11	9,87	0,40	13,52	20,27	0,25	66,36	43,87	3,87	2,87	2,87	2,87	2,87	7,34	28,34	18,74	24,35	24,35	24,35	
1500	1400,5	1470,0	34,82	20,32	24,67	11,32	0,40	13,93	20,89	0,26	65,68	43,58	3,66	2,66	2,66	2,66	2,66	7,17	30,14	20,00	26,21	26,21	26,21	
1550	1450,5	1520,0	36,26	22,43	26,62	12,92	0,40	14,50	21,76	0,27	64,72	43,18	3,43	2,43	2,43	2,43	2,43	8,97	31,41	20,96	27,82	27,82	27,82	
1600	1500,5	1570,0	37,29	24,68	28,29	14,69	0,40	14,92	22,37	0,28	64,03	42,89	2,26	1,52	1,52	1,52	1,52	9,87	31,25	22,27	29,82	29,82	29,82	

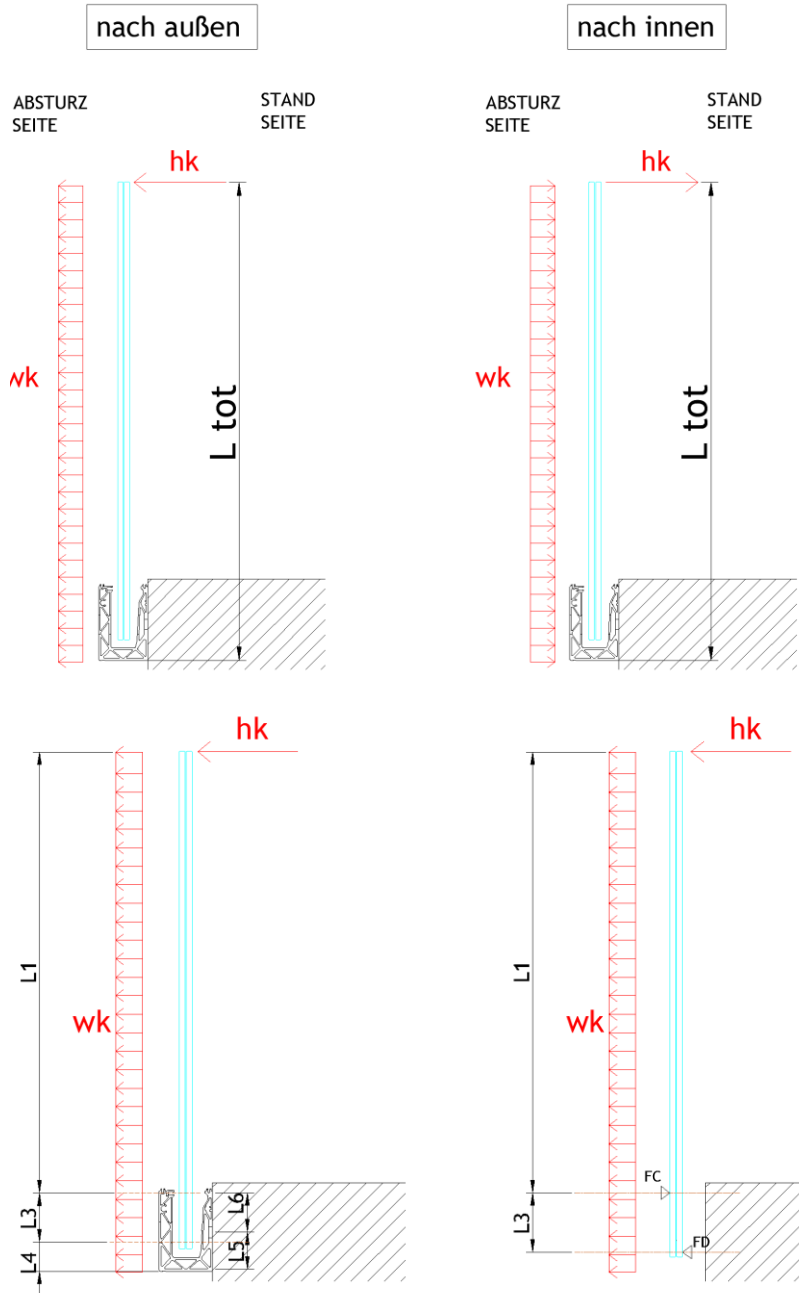
**DF810FR21 - 10.10.4 ESG mit SGP - Folie - INT - Lasten gegen die Absturzrichtung nach innen (IN)**

hk,0,8	σE,max,0,8	εE,max,0,8	ut,0,8	σwk1	wk1	σwk2	wk2	hk,0,8	wkmin,0,8	def,hk	def,wk1	def,wk2	def,wk1	def,wk2	def,SLE	
kNm/m	N/mm <sup>2</sup>	kNm/m	N/mm <sup>2</sup>	mm	mm	mm	mm	mm	mm							
0,80	10,10	15,14	0,19	72,66	21,64	14,02	14,02	1,60	1,60	1,60	1,60	1,60	1,60	1,60	1,60	
0,80	11,22	16,84	0,21	70,18	45,48	17,63	11,43	11,43	11,43	1,28	6,52	4,23	3,79	3,79	5,19	
0,80	12,03	18,05	0,23	68,84	44,91	14,74	9,62	9,62	9,62	1,61	7,52	4,90	6,12	6,12	6,67	
0,80	13,20	19,80	0,25	66,89	44,09	12,14	8,00	8,00	8,00	1,59	8,13	5,36	10,03	10,03	14,88	
0,80	14,01	21,01	0,26	65,54	43,53	10,44	6,93	6,93	6,93	2,42	9,18	6,10	7,93	7,93	16,14	
0,80	15,18	22,76	0,28	63,60	42,71	8,74	5,87	5,87	5,87	2,91	9,87	6,63	8,83	8,83	17,71	
0,80	15,99	23,99	0,30	62,24	42,14	7,63	5,16	5,16	5,16	3,47	9,33	7,33	9,97	9,97	11,01	
0,80	17,15	25,73	0,32	60,30	41,33	6,48	4,44	4,44	4,44	4,09	10,83	7,33	11,01	11,01	12,30	
0,80	19,13	28,69	0,34	58,94	40,77	5,72	3,96	3,96	3,96	4,78	12,53	8,67	22,37	22,37	22,37	
0,80	19,94	29,92	0,36	57,01	39,94	4,93	3,45	3,45	3,45	5,54	13,16	9,22	13,43	13,43	14,88	
0,80	21,10	31,66	0,37	56,65	39,37	4,39	3,11	3,11	3,11	6,38	14,18	10,39	16,14	16,14	17,71	
0,80	21,92	32,88	0,41	52,36	38,56	3,81	2,74	2,74	2,74	8,30	15,70	11,39	17,71	17,71	19,75	
0,80	23,08	34,62	0,43	50,42	37,18	2,99	2,21	2,21	2,21	9,38	16,22	11,96	19,12	19,12	20,84	
0,80	23,90	35,86	0,45	49,05	36,60	2,70	2,01	2,01	2,01	10,56	17,13	12,78	20,84	20,84	22,37	
0,80	25,06	37,58	0,47	47,13	35,79	2,37	1,80	1,80	1,80	11,83	17,56	13,34	24,25	24,25	24,25	
0,80	25,88	38,82	0,49	45,76	35,92	2,15	1,65	1,65	1,65	1,65	13,21	18,47	14,17	24,25	24,25	24,25
0,80	27,03	40,55	0,51	43,84	34,41	1,90	1,49	1,49	1,49	14,68	18,72	14,70	25,91	25,91	25,91	
0,80	27,86	41,78	0,52	42,46	34,83	1,72	1,37	1,37	1,37	1,37	16,26	19,48	15,53	27,95	27,95	27,95
0,80	29,01	43,51	0,54	40,54	33,03	1,52	1,24	1,24	1,24	1,24	19,94	21,98	16,63	29,75	29,75	29,75
0,80	29,83	44,75	0,56	3												

## 4.2 Dimensionamento del profilo in alluminio estruso

### 4.2.1 Informazioni generali

Il calcolo del profilo in alluminio viene eseguito in modo iterativo utilizzando il programma di calcolo Sofistik. In una prima fase, viene selezionata una certa altezza massima del parapetto e un sovraccarico lineare carico orizzontale massimo applicato sul corrimano. L'applicazione di questo carico sul vetro crea reazioni nel profilo (vedi schema riportato sotto).



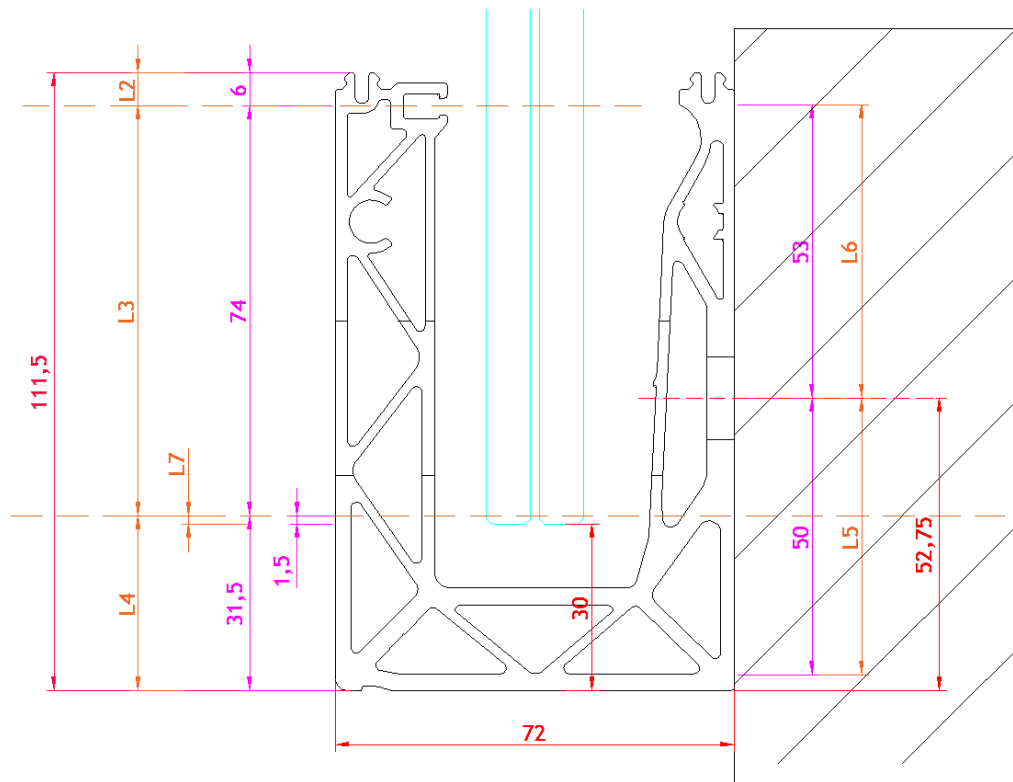


Fig.: parametri di calcolo DF810MF21-out

In una seconda fase, queste due forze opposte di supporto vetro/profilo vengono applicate alle nervature del profilo come carichi lineari nel calcolo numerico. Questi carichi vengono poi modificati iterativamente fino a generare le massime deformazioni plastiche ammissibili nel profilo o fino a raggiungere la capacità portante del profilo. Conoscendo il carico massimo che può essere assorbito dal profilo, è possibile determinare il massimo carico del vento aggiuntivo che può essere applicato per un dato sovraccarico lineare orizzontale, utilizzando le seguenti formule:

$$F_{cd,max} = F_{cd,h} + F_{cd,wind}$$

Reazione massima del vetro sul profilo superiore

$$F_{cd,h} = h_d * (L1 + L3) / L3$$

Reazione massima superiore data dal sovraccarico  $h_d$

$$F_{cd,wind} = w_d * (L1 + L3)^2 / 2 * L3$$

Reazione massima superiore data dal carico del vento  $w_d$

$$w_d \text{ (wk)}$$

Carico massimo del vento che può essere aggiunto al sovraccarico

I risultati del dimensionamento del profilo vengono riassunti e riportati di seguito in formato tabellare. La documentazione inherente al calcolo numerico viene riportata in allegato.

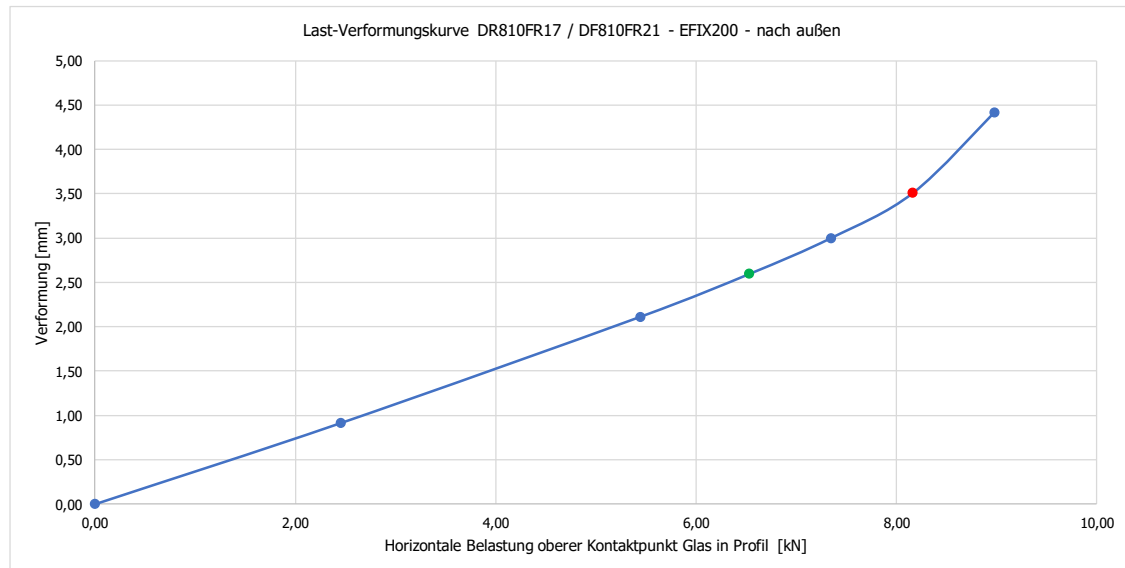
## 4.2.2 Tabelle dei risultati - Dimensionamento del profilo DF810FR - Carichi verso l'esterno

DF810FR17 / DF810FR21 - PROFIL - EFX200 - Lasten in Absturzrichtung nach außen (OUT)									
Abstand Doppel von Umlenkante Profil									
Abstand Doppel zu unterer Lagerpunkt Gas im Profil									
Abstand unterer Lagerpunkt Gas/Profil zu Rührkante Profil									
Horizontaler Abstand Abstand Lagerpunkte Profil für Lasten gegen die Absturzrichtung nach außen									
Horizontaler Abstand Lagerpunkte Profil für Lasten gegen die Absturzrichtung nach innen									
Abstand der Befestigungspunkte Profil auf Untergurd in Längsrichtung									
Horizontaler Einheitssatz als Linieneinsatz an der Umlenkante Gasabstützung									
Horizontaler Einheitssatz als Flächenlast auf Untergurd in Längsrichtung									
Horizontale Einheitssatz als Linieneinsatz auf Untergurd an der gesamten Glasabstützung									
Tischlereiwerter Laststeife Aluminium nach EN 1993-1-1									
Tischlereiwerter Laststeife für variable Lasten nach StE-260, 2013									
Kombinationsbeiwert für Windlasten nach KfK-CH 34.260, 2013									
Kombinationsbeiwert für Windlasten nach StE-260, 2013									
Maximal zulässige Höhe über Auflagerfläche Gas im Profil aus FE-Berechnung									
L <small>ext</small>	L <small>1</small>	F <small>c,h0</small>	F <small>d,h0</small>	F <small>c,wu</small>	F <small>d,wu</small>	F <small>c,uw</small>	F <small>d,uw</small>	F <small>c,eu</small>	F <small>d,eu</small>
mm	mm	kn							
600	1.63	-1.43	2.39	-0.46	0.60	-0.60	0.40	1.30	-1.14
600	1.63	-1.77	2.79	-0.44	0.64	-0.64	0.40	1.53	-1.26
700	1.62	-1.72	2.79	-0.44	0.51	-0.51	0.40	1.53	-1.26
750	2.06	-1.86	2.99	-0.46	0.60	-0.60	0.40	1.53	-1.27
800	2.20	-2.00	3.19	-0.45	0.69	-0.69	0.40	1.60	-1.49
850	2.34	-2.14	3.39	-0.46	0.80	-0.80	0.40	1.60	-1.60
900	2.49	-2.29	3.59	-0.46	0.91	-0.91	0.40	1.61	-1.77
950	2.63	-2.43	3.79	-0.47	1.03	-1.03	0.40	1.61	-1.92
1000	2.65	-2.47	3.79	-0.47	1.05	-1.05	0.40	1.61	-1.94
1050	2.62	-2.42	4.19	-0.49	1.15	-1.15	0.40	1.61	-2.06
1100	3.06	-2.86	4.39	-0.49	1.49	-1.49	0.40	1.99	-2.17
1150	10.00	-3.20	4.39	-0.49	1.49	-1.49	0.40	2.01	-2.45
1200	3.34	-3.14	4.39	-0.49	1.49	-1.49	0.40	2.05	-2.45
1250	3.49	-3.29	4.39	-0.49	1.49	-1.49	0.40	2.05	-2.45
1300	3.63	-3.43	5.19	-0.49	1.99	-1.99	0.40	2.79	-2.67
1350	3.63	-3.57	5.39	-0.49	2.43	-2.43	0.40	3.12	-3.07
1400	3.62	-3.72	5.39	-0.49	2.43	-2.43	0.40	3.63	-3.07
1450	4.06	-4.06	5.79	-0.50	2.88	-2.88	0.40	3.19	-3.07
1500	4.20	-4.00	5.99	-0.50	2.88	-2.88	0.40	3.25	-3.07
1550	4.34	-4.14	6.19	-0.50	3.09	-3.09	0.40	3.26	-3.07
1600	4.49	-4.29	6.39	-0.50	3.32	-3.21	0.40	3.59	-3.07

DF810FR17 / DF810FR21 - PROFIL - EFX200 - Lasten in Absturzrichtung nach außen (OUT)									
Reaktionskräfte Gas/Profil									
Reaktionskräfte Profil/Unguard									
Reaktionskräfte Profil/Unguard									
L <small>ext</small>	L <small>1</small>	F <small>c,h0</small>	F <small>d,h0</small>	F <small>c,wu</small>	F <small>d,wu</small>	F <small>c,uw</small>	F <small>d,uw</small>	F <small>c,eu</small>	F <small>d,eu</small>
mm	mm	kn							
600	1.63	-0.77	2.19	-0.46	0.60	-0.60	0.40	1.30	-1.14
600	1.63	-1.72	2.79	-0.44	0.64	-0.64	0.40	1.53	-1.26
700	1.62	-1.86	2.99	-0.46	0.60	-0.60	0.40	1.53	-1.27
750	2.06	-2.00	3.19	-0.45	0.69	-0.69	0.40	1.60	-1.49
800	2.20	-2.14	3.39	-0.46	0.80	-0.80	0.40	1.60	-1.60
850	2.34	-2.29	3.59	-0.46	0.91	-0.91	0.40	1.61	-1.77
900	2.49	-2.43	3.79	-0.47	1.03	-1.03	0.40	1.61	-1.92
950	2.63	-2.57	3.79	-0.47	1.05	-1.05	0.40	1.61	-1.94
1000	2.65	-2.62	4.19	-0.49	1.15	-1.15	0.40	1.99	-2.17
1050	2.62	-2.72	4.39	-0.49	1.49	-1.49	0.40	2.01	-2.45
1100	3.06	-3.14	4.39	-0.49	1.49	-1.49	0.40	2.05	-2.45
1150	10.00	-3.29	4.39	-0.49	1.49	-1.49	0.40	2.05	-2.45
1200	3.34	-3.43	4.39	-0.49	1.49	-1.49	0.40	2.05	-2.45
1250	3.49	-3.57	5.19	-0.49	1.99	-1.99	0.40	2.79	-2.67
1300	3.63	-3.72	5.39	-0.49	2.43	-2.43	0.40	3.12	-3.07
1350	3.62	-3.87	5.39	-0.49	2.43	-2.43	0.40	3.63	-3.07
1400	4.06	-4.06	5.79	-0.50	2.88	-2.88	0.40	3.19	-3.07
1450	4.20	-4.20	5.99	-0.50	2.88	-2.88	0.40	3.26	-3.07
1500	4.34	-4.44	6.19	-0.50	3.09	-3.09	0.40	3.26	-3.07
1550	4.49	-4.54	6.39	-0.50	3.32	-3.21	0.40	3.59	-3.07
1600	4.64	-4.67	6.65	-0.52	6.38	-6.06	0.57	7.78	-7.78
1600	4.64	-4.35	6.65	-0.52	6.38	-6.06	0.57	7.78	-7.78
1600	4.67	-4.67	7.34	-0.52	7.02	-6.38	10.05	7.78	-7.78
1600	4.89	-4.57	7.34	-0.52	7.02	-6.38	10.53	7.78	-7.78
1600	5.12	-4.80	7.68	-0.52	7.34	-7.02	11.01	10.53	-10.53
1600	5.35	-5.03	8.03	-0.52	7.55	-7.66	11.49	11.01	-11.01
1600	5.58	-5.26	8.37	-0.52	7.89	-7.98	11.97	11.49	-11.49
1600	5.81	-5.49	8.71	-0.52	8.10	-8.24	12.45	11.97	-11.97
1600	6.04	-5.72	9.01	-0.52	8.32	-8.57	12.93	12.45	-12.45
1600	6.59	-6.17	9.76	-0.52	9.34	-9.06	13.49	12.45	-12.45
1600	6.69	-6.72	9.60	-0.52	9.58	-9.60	13.89	12.45	-12.45
1600	6.72	-6.40	10.08	-0.52	9.95	-9.95	14.37	13.89	-13.89
1600	6.95	-6.63	10.43	-0.52	10.22	-10.22	15.33	14.85	-14.85
1600	7.18	-6.86	10.77	-0.52	10.90	-10.90	15.33	14.85	-14.85

DF810FR17 / DF810FR21 - PROFIL - EFX200 - Lasten in Absturzrichtung nach außen (OUT)									
Reaktionskräfte Gas/Profil									
Reaktionskräfte Profil/Unguard									
Reaktionskräfte Profil/Unguard									
H <small>ext</small>	F <small>c,1.6</small>	F <small>d,1.6</small>	F <small>c,1.6</small>						
kn/m	kn								
1.60	2.61	-2.29	3.91	-0.43	3.82	-3.10	5.73	-5.25	10.16
1.60	2.84	-2.52	4.25	-0.47	4.14	-3.77	6.21	-5.25	7.78
1.60	3.07	-2.75	4.60	-0.47	4.46	-4.14	6.69	-5.25	8.28
1.60	3.29	-2.99	4.94	-0.46	4.76	-4.46	7.17	-5.25	8.78
1.60	3.52	-3.20	5.23	-0.46	5.10	-4.76	7.65	-5.25	9.28
1.60	3.75	-3.43	5.43	-0.45	5.42	-5.10	8.13	-5.25	9.78
1.60	3.98	-3.66	5.67	-0.45	5.74	-5.42	8.61	-5.25	10.28
1.60	4.21	-3.89	6.31	-0.45	6.06	-5.74	9.09	-5.25	10.78
1.60	4.44	-4.12	6.65	-0.52	6.38	-6.06	9.57	-6.06	11.25
1.60	4.67	-4.35	7.00	-0.52	6.38	-6.38	10.05	-6.06	11.74
1.60	4.89	-4.57	7.34	-0.52	7.02	-6.70	10.53	-6.05	12.23
1.60	5.12	-4.80	7.68	-0.52	7.34	-7.02	11.01	-6.03	12.70
1.60	5.35	-5.03	8.03	-0.52	7.55	-7.34	11.49	-6.01	13.18
1.60	5.58	-5.26	8.37	-0.52	7.89	-7.66	11.97	-6.01	13.66
1.60	5.81	-5.49	8.71	-0.52	8.23	-8.08	12.45	-6.01	14.14
1.60	6.04	-5.72	9.01	-0.52	8.57	-8.40	12.93	-6.01	14.61
1.60	6.59	-6.17	9.76	-0.52	9.34	-9.06	13.49	-6.01	15.19
1.60	6.69	-6.72	9.60	-0.52	9.58	-9.60	13.89	-6.01	

Lastrichtung nach außen	Lastfaktor	FC.Rd.außen.FE	FC.Rd.außen.FE	Verformung
	-	kN	kN/m	mm
	0,00	0,00	0,00	0,00
	0,30	2,45	12,25	0,91
SLS	0,67	5,44	27,21	2,11
	0,80	6,53	32,65	2,60
	0,90	7,35	36,74	3,00
<b>ULS</b>	<b>1,00</b>	<b>8,16</b>	<b>40,82</b>	<b>3,51</b>
	1,10	8,98	44,90	4,42

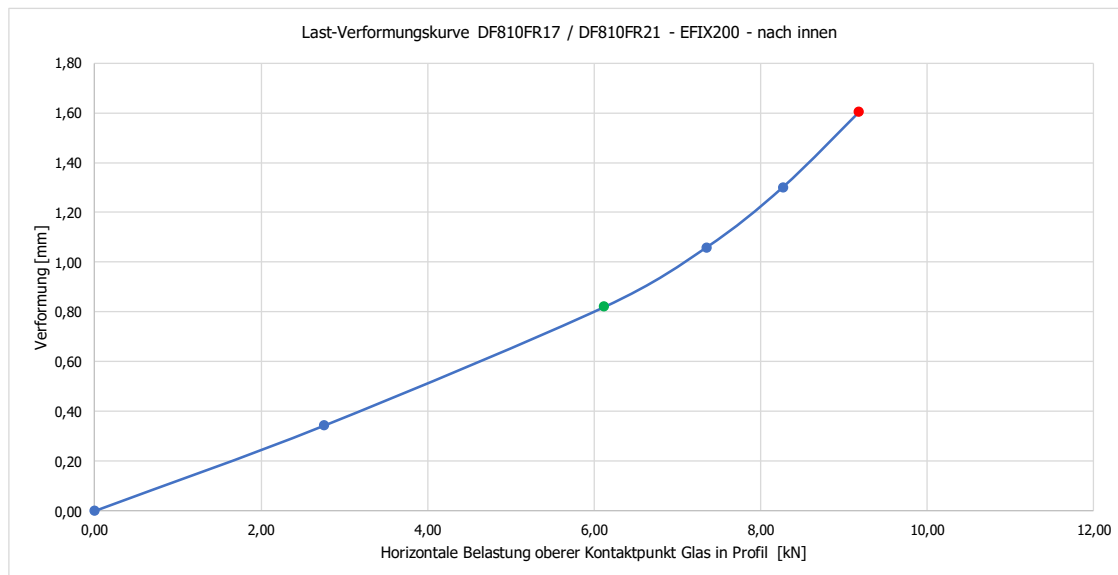


#### 4.2.3 Tabelle dei risultati - Dimensionamento del profilo DF810FR - Carichi verso l'interno

DF810FRK17 / DF810FR21 - PROFIL - EFX200 - Lasten gegen die Absturzrichtung nach innen (IN)									
Abstand Distanz von unteren Längsrückwand Glas im Profil e Profil									
Abstand und Abstand von unteren Längsrückwand Glas im Profil e Profil									
Abstand und unterer Liegepunkt, Glas Profil e Längsrückwand nach außen									
Honzaabstand Abstand Längsrückwand Profil für Lasten in Absturzrichtung nach innen									
Honzaabstand Abstand Längsrückwand Profil für Lasten gegen die Absturzrichtung nach innen									
Honzaabstand Abstand Längsrückwand Profil für Untergurte in Längsrichtung									
Honzaabstand Abstand Längsrückwand als Abstand an der Oberfläche Gleisrichtung									
Honzaabstand Abstand Längsrückwand auf der gesamten Gleisabstützung									
Teilchenliegebewertung Aluminium nach EN 1999-1-1									
-Q, Au-Au									
-Q, Holz									
-Q,Wind									
<b>Fck,dimensionen</b>									
<b>9,18</b>									
<b>KN</b>									

DF810FRK17 / DF810FR21 - PROFIL - EFX200 - Lasten gegen die Absturzrichtung nach innen (IN)									
Höhe H / mm									
Reaktionsschreite Glas/Profil									
L1	mm	Fck,hu	Fdu,hu	Reaktionsschreite Profil/Ungesägt	Fch,hu	Reaktionsschreite Glas/Profil/Ungesägt	Fch,hu	Höhe last	Reaktionsschreite Profil/Ungesägt
1.60	1.63	1.67	-1.57	-1.07	0.46	0.46	0.57	0.60	0.57
1.60	1.60	1.77	-1.57	2.05	0.46	0.43	0.57	0.60	0.54
1.60	1.92	-1.77	2.24	-2.44	0.64	0.51	0.40	0.40	1.06
1.60	2.06	-1.86	2.43	-2.63	0.74	0.50	0.66	0.69	1.15
1.60	2.06	-2.00	2.62	-2.82	0.85	0.60	0.79	0.82	1.25
1.60	2.34	-2.14	2.81	-3.01	0.96	0.80	1.04	1.00	1.35
1.60	2.49	-2.29	3.00	-3.20	1.08	0.91	1.18	1.15	1.60
1.60	2.63	-2.49	3.19	-3.39	1.21	1.03	1.34	1.30	1.87
1.60	2.77	-2.55	3.35	-3.76	1.35	1.15	1.55	1.53	2.17
1.60	2.80	-2.72	3.56	-3.95	1.44	1.24	1.75	1.73	2.36
1.60	2.86	-2.62	3.75	-4.14	1.54	1.34	1.88	1.86	2.55
1.60	3.00	-2.42	3.95	-4.34	1.64	1.42	2.07	2.04	2.91
1.60	3.14	-2.30	4.14	-4.53	1.76	1.57	2.27	2.24	3.22
1.60	3.34	-2.00	4.33	-4.72	1.96	1.72	2.48	2.45	3.20
1.60	3.50	-1.70	4.52	-4.91	2.13	1.88	2.47	2.42	3.18
1.60	3.63	-1.43	4.51	-4.88	2.11	1.81	2.46	2.42	3.14
1.60	3.77	-1.16	4.51	-4.88	2.05	1.76	2.46	2.42	3.14
1.60	3.92	-0.90	4.56	-5.08	2.05	1.71	2.46	2.42	3.14
1.60	4.00	-0.66	4.56	-5.08	2.08	1.66	2.46	2.42	3.14
1.60	4.16	-0.40	4.56	-5.08	2.10	1.61	2.46	2.42	3.14
1.60	4.34	-0.14	4.56	-5.08	2.10	1.56	2.46	2.42	3.14
1.60	4.49	-0.29	4.56	-5.08	2.10	1.51	2.46	2.42	3.14
1.60	4.49	-0.49	4.56	-5.08	2.10	1.46	2.46	2.42	3.14
1.60	4.49	-0.59	4.56	-5.08	2.10	1.41	2.46	2.42	3.14
1.60	4.49	-0.69	4.56	-5.08	2.10	1.36	2.46	2.42	3.14
1.60	4.49	-0.79	4.56	-5.08	2.10	1.31	2.46	2.42	3.14
1.60	4.49	-0.89	4.56	-5.08	2.10	1.26	2.46	2.42	3.14
1.60	4.49	-0.99	4.56	-5.08	2.10	1.21	2.46	2.42	3.14
1.60	4.49	-1.09	4.56	-5.08	2.10	1.16	2.46	2.42	3.14
1.60	4.49	-1.19	4.56	-5.08	2.10	1.11	2.46	2.42	3.14
1.60	4.49	-1.29	4.56	-5.08	2.10	1.06	2.46	2.42	3.14
1.60	4.49	-1.39	4.56	-5.08	2.10	1.01	2.46	2.42	3.14
1.60	4.49	-1.49	4.56	-5.08	2.10	0.96	2.46	2.42	3.14
1.60	4.49	-1.59	4.56	-5.08	2.10	0.91	2.46	2.42	3.14
1.60	4.49	-1.69	4.56	-5.08	2.10	0.86	2.46	2.42	3.14
1.60	4.49	-1.79	4.56	-5.08	2.10	0.81	2.46	2.42	3.14
1.60	4.49	-1.89	4.56	-5.08	2.10	0.76	2.46	2.42	3.14
1.60	4.49	-1.99	4.56	-5.08	2.10	0.71	2.46	2.42	3.14
1.60	4.49	-2.09	4.56	-5.08	2.10	0.66	2.46	2.42	3.14
1.60	4.49	-2.19	4.56	-5.08	2.10	0.61	2.46	2.42	3.14
1.60	4.49	-2.29	4.56	-5.08	2.10	0.56	2.46	2.42	3.14
1.60	4.49	-2.39	4.56	-5.08	2.10	0.51	2.46	2.42	3.14
1.60	4.49	-2.49	4.56	-5.08	2.10	0.46	2.46	2.42	3.14
1.60	4.49	-2.59	4.56	-5.08	2.10	0.41	2.46	2.42	3.14
1.60	4.49	-2.69	4.56	-5.08	2.10	0.36	2.46	2.42	3.14
1.60	4.49	-2.79	4.56	-5.08	2.10	0.31	2.46	2.42	3.14
1.60	4.49	-2.89	4.56	-5.08	2.10	0.26	2.46	2.42	3.14
1.60	4.49	-2.99	4.56	-5.08	2.10	0.21	2.46	2.42	3.14
1.60	4.49	-3.09	4.56	-5.08	2.10	0.16	2.46	2.42	3.14
1.60	4.49	-3.19	4.56	-5.08	2.10	0.11	2.46	2.42	3.14
1.60	4.49	-3.29	4.56	-5.08	2.10	0.06	2.46	2.42	3.14
1.60	4.49	-3.39	4.56	-5.08	2.10	0.01	2.46	2.42	3.14
1.60	4.49	-3.49	4.56	-5.08	2.10	-0.04	2.46	2.42	3.14
1.60	4.49	-3.59	4.56	-5.08	2.10	-0.09	2.46	2.42	3.14
1.60	4.49	-3.69	4.56	-5.08	2.10	-0.14	2.46	2.42	3.14
1.60	4.49	-3.79	4.56	-5.08	2.10	-0.19	2.46	2.42	3.14
1.60	4.49	-3.89	4.56	-5.08	2.10	-0.24	2.46	2.42	3.14
1.60	4.49	-3.99	4.56	-5.08	2.10	-0.29	2.46	2.42	3.14
1.60	4.49	-4.09	4.56	-5.08	2.10	-0.34	2.46	2.42	3.14
1.60	4.49	-4.19	4.56	-5.08	2.10	-0.39	2.46	2.42	3.14
1.60	4.49	-4.29	4.56	-5.08	2.10	-0.44	2.46	2.42	3.14
1.60	4.49	-4.39	4.56	-5.08	2.10	-0.49	2.46	2.42	3.14
1.60	4.49	-4.49	4.56	-5.08	2.10	-0.54	2.46	2.42	3.14
1.60	4.49	-4.59	4.56	-5.08	2.10	-0.59	2.46	2.42	3.14
1.60	4.49	-4.69	4.56	-5.08	2.10	-0.64	2.46	2.42	3.14
1.60	4.49	-4.79	4.56	-5.08	2.10	-0.69	2.46	2.42	3.14
1.60	4.49	-4.89	4.56	-5.08	2.10	-0.74	2.46	2.42	3.14
1.60	4.49	-4.99	4.56	-5.08	2.10	-0.79	2.46	2.42	3.14
1.60	4.49	-5.09	4.56	-5.08	2.10	-0.84	2.46	2.42	3.14
1.60	4.49	-5.19	4.56	-5.08	2.10	-0.89	2.46	2.42	3.14
1.60	4.49	-5.29	4.56	-5.08	2.10	-0.94	2.46	2.42	3.14
1.60	4.49	-5.39	4.56	-5.08	2.10	-0.99	2.46	2.42	3.14
1.60	4.49	-5.49	4.56	-5.08	2.10	-1.04	2.46	2.42	3.14
1.60	4.49	-5.59	4.56	-5.08	2.10	-1.09	2.46	2.42	3.14
1.60	4.49	-5.69	4.56	-5.08	2.10	-1.14	2.46	2.42	3.14
1.60	4.49	-5.79	4.56	-5.08	2.10	-1.19	2.46	2.42	3.14
1.60	4.49	-5.89	4.56	-5.08	2.10	-1.24	2.46	2.42	3.14
1.60	4.49	-5.99	4.56	-5.08	2.10	-1.29	2.46	2.42	3.14
1.60	4.49	-6.09	4.56	-5.08	2.10	-1.34	2.46	2.42	3.14
1.60	4.49	-6.19	4.56	-5.08	2.10	-1.39	2.46	2.42	3.14
1.60	4.49	-6.29	4.56	-5.08	2.10	-1.44	2.46	2.42	3.14
1.60	4.49	-6.39	4.56	-5.08	2.10	-1.49	2.46	2.42	3.14
1.60	4.49	-6.49	4.56	-5.08	2.10	-1.54	2.46	2.42	3.14
1.60	4.49	-6.59	4.56	-5.08	2.10	-1.59	2.46	2.42	3.14
1.60	4.49	-6.69	4.56	-5.08	2.10	-1.64	2.46	2.42	3.14
1.60	4.49	-6.79	4.56	-5.08	2.10	-1.69	2.46	2.42	3.14
1.60	4.49	-6.89	4.56	-5.08	2.10	-1.74	2.46	2.42	3.14
1.60	4.49	-6.99	4.						

Lastrichtung nach innen	Lastfaktor	FC.Rd.innen.FE	FC.Rd.innen.FE	Verformung
	-	kN	kN/m	mm
	0,00	0,00	0,00	0,00
	0,30	2,76	13,78	0,34
SLS	0,67	6,12	30,61	0,82
	0,80	7,35	36,74	1,06
	0,90	8,27	41,33	1,30
ULS	1,00	9,18	45,92	1,60
	1,10	10,10	50,51	
	1,20	11,02	55,10	



## 5 Riepilogo dei risultati del dimensionamento del vetro e del profilo

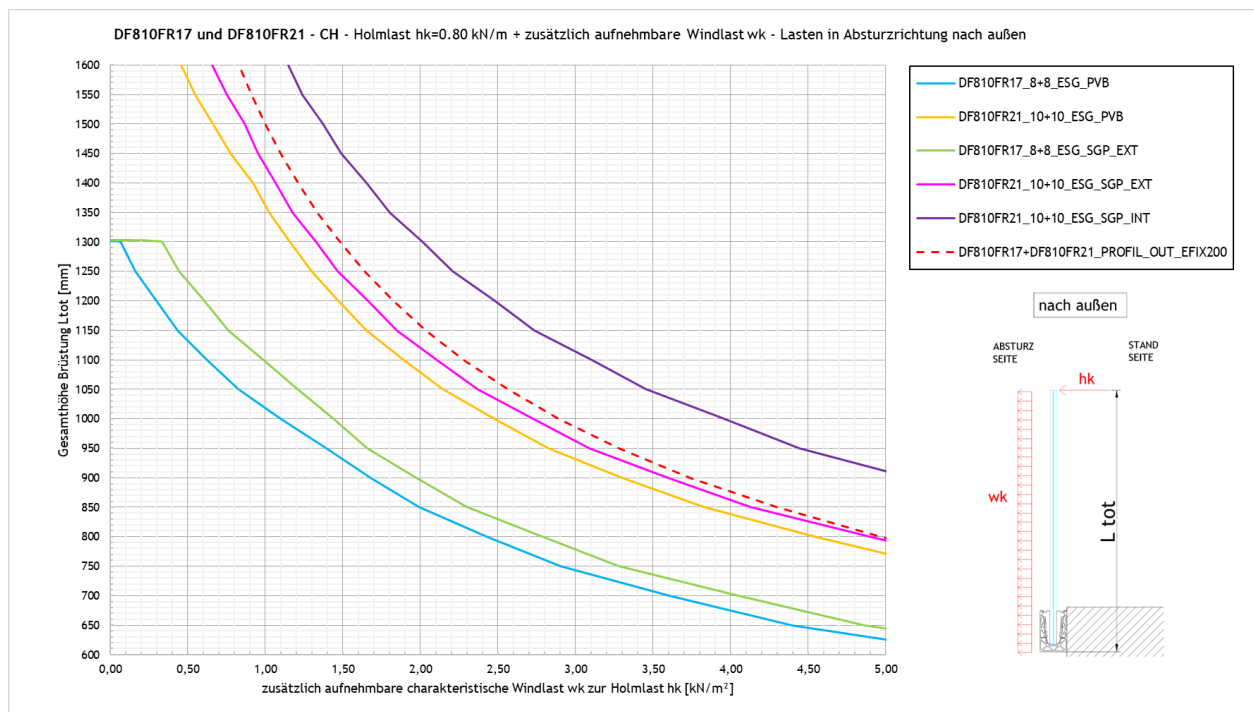
### 5.1 Carico del vento aggiuntivo wk al sovraccarico lineare orizzontale

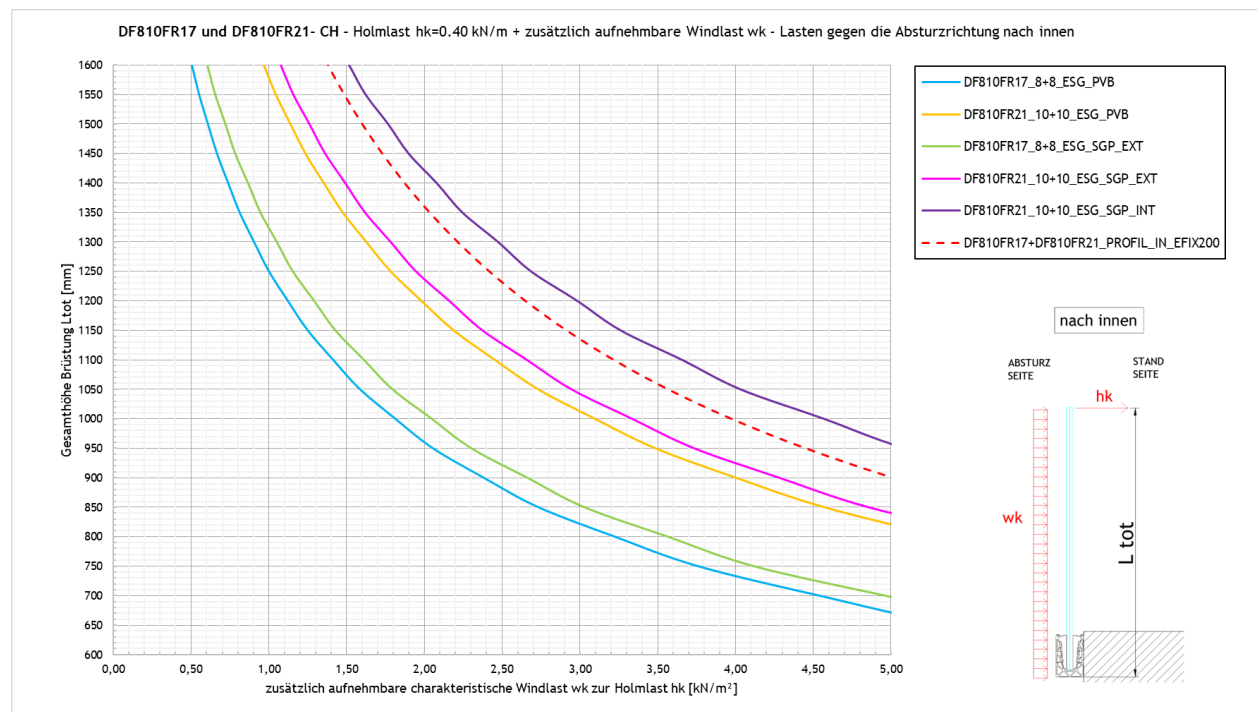
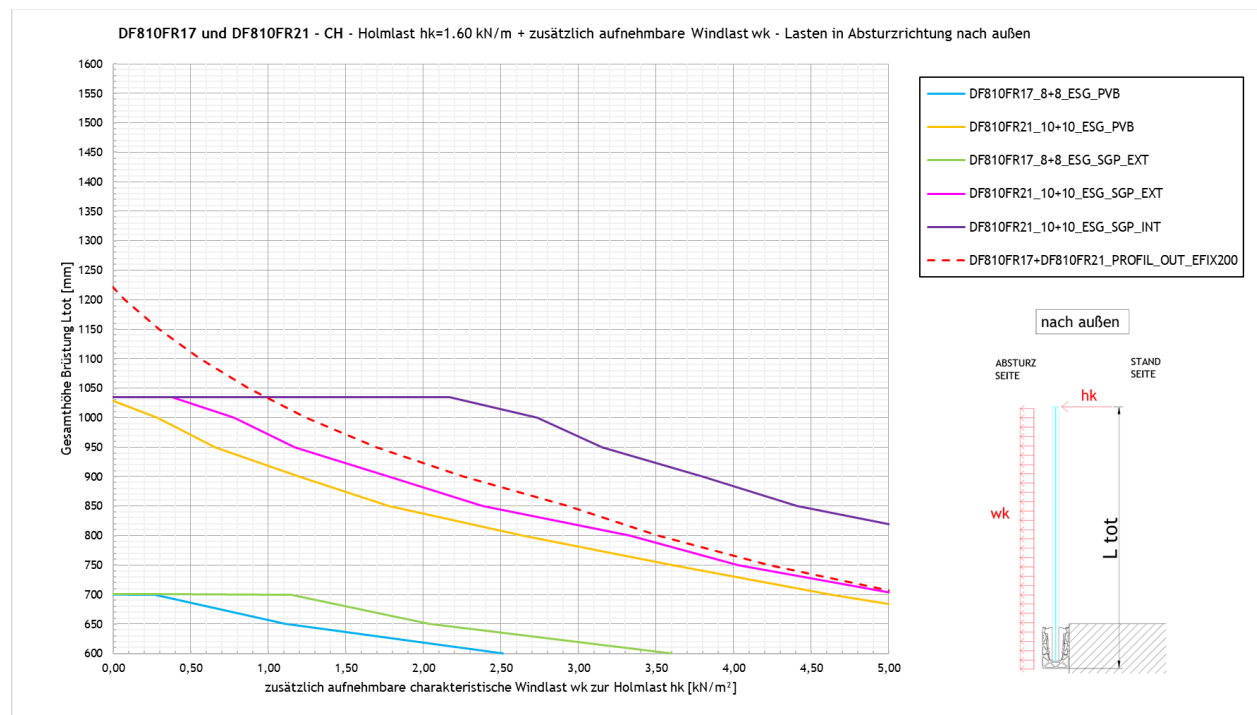
#### 5.1.1 Risultati basati sulla resistenza ultima del vetro e del profilo

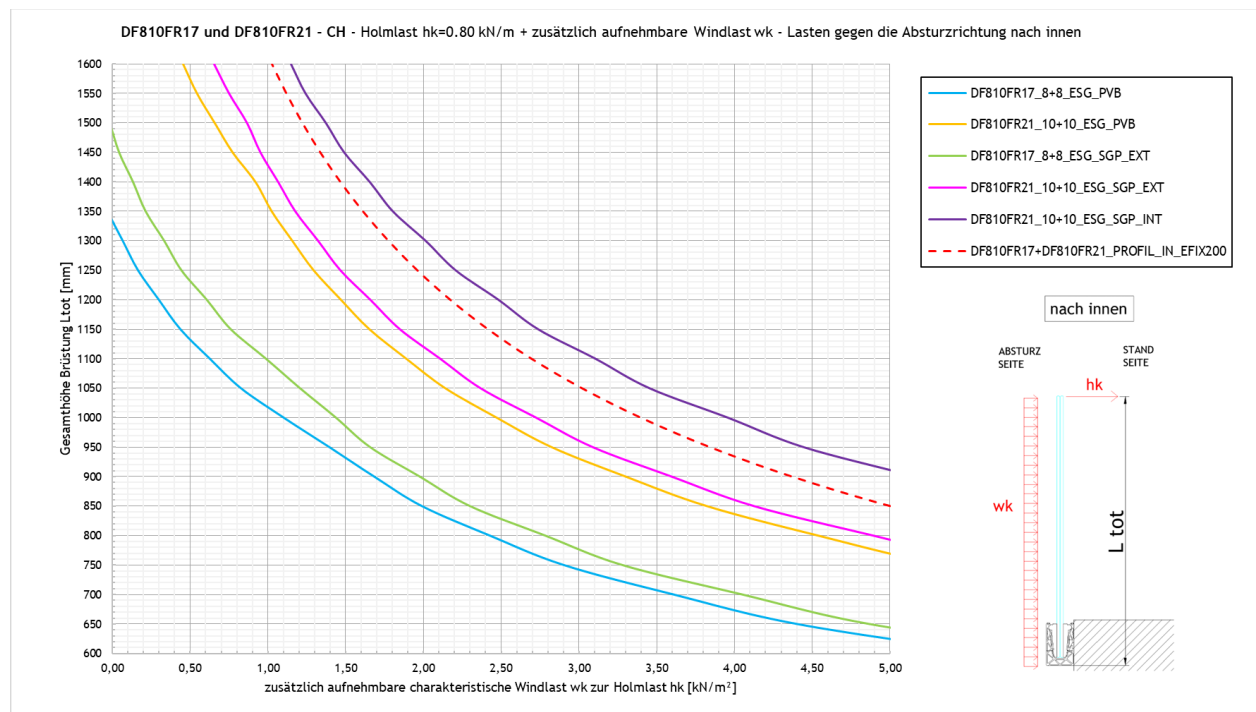
Le figure seguenti mostrano il carico massimo del vento che può essere aggiunto al sovraccarico lineare orizzontale, sia per la direzione di caduta che in direzione opposta alla direzione di caduta. I valori tengono conto solo della resistenza ultima del parapetto (vetro e profilo) senza limiti di deformazione in conformità con la norma SIA-2057-2021, capitolo 4.4. I risultati che tengono conto del limite di deformazione sono riportati nel capitolo 5.1.2.

Eventuali limiti di deformazione del parapetto in vetro devono sempre essere concordati con il committente su base specifica del progetto.

In caso di utilizzo all'interno di un edificio senza carico di vento o considerando solo il sovraccarico lineare orizzontale, è necessario leggere i grafici per un carico di vento pari a 0 kN/m<sup>2</sup>, l'intersezione delle curve con l'asse Y determina direttamente l'altezza massima ammissibile del parapetto.







### 5.1.2 Risultati basati sulla limitazione della deformazione del vetro

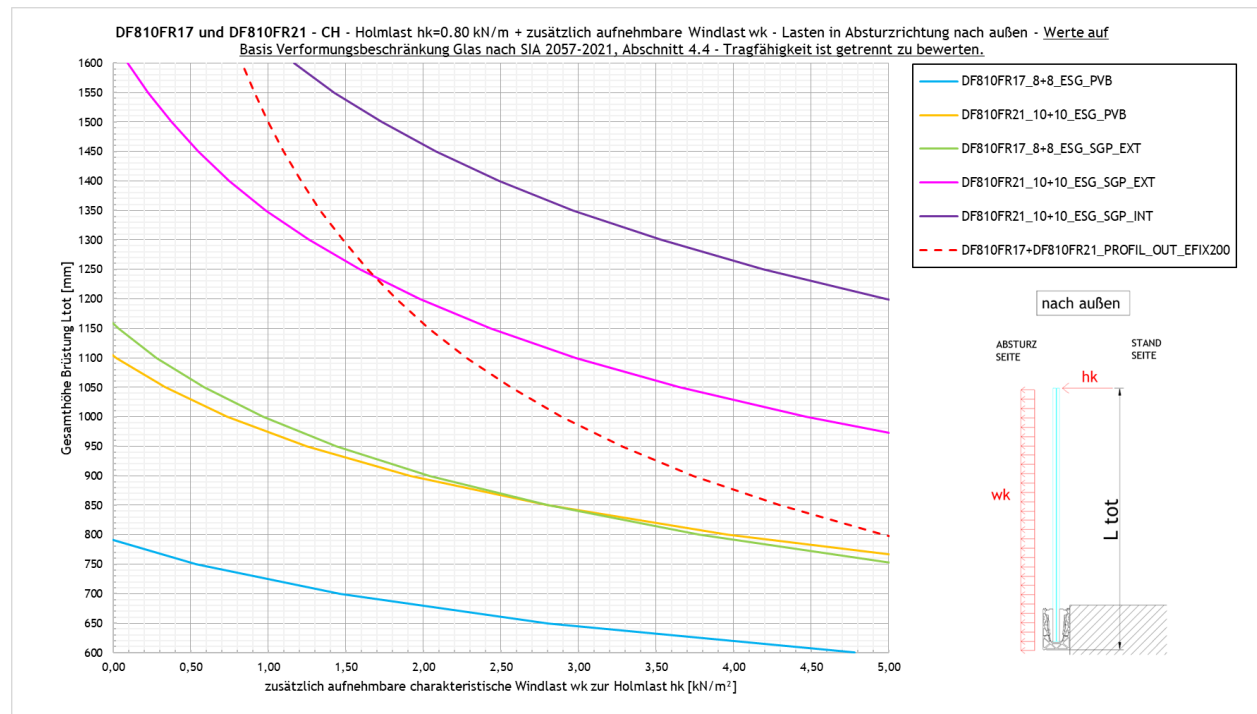
Le figure seguenti mostrano, esclusivamente per la direzione di caduta, il carico massimo del vento che può essere aggiunto al sovraccarico lineare orizzontale, tenendo conto della limitazione della deformazione per lastre incastrate solo su un lato in conformità con la norma SIA-2057-2021, capitolo 4.4.

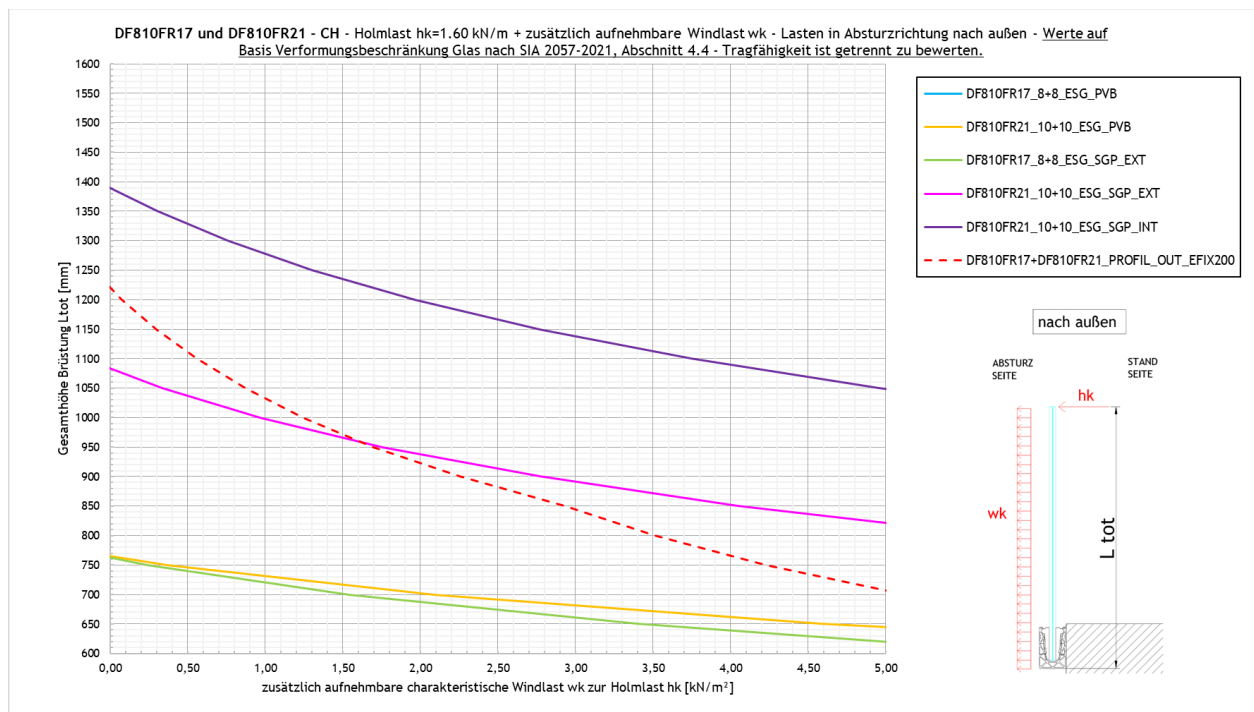
In caso di utilizzo all'interno di un edificio senza carico di vento o considerando solo il sovraccarico lineare orizzontale, è necessario leggere i grafici per un carico di vento pari a 0 kN/m<sup>2</sup>, l'intersezione delle curve con l'asse Y determina direttamente l'altezza massima ammissibile del parapetto.

I risultati sono determinati per una deformazione massima del vetro di  $L_A/50$ , con  $L_A$  come lunghezza libera a sbalzo del vetro. Ciò limite corrisponde al valore guida secondo la Tabella 7 della norma SIA-2057-2021.

I limiti di deformazione del parapetto in vetro devono sempre essere concordati con il committente su base specifica del progetto; è possibile che debbano essere rispettati anche altri valori limite.

**Importante: la capacità portante del parapetto deve sempre essere valutata e garantita separatamente, sulla base dei risultati grafici della sezione 5.1.1 o dei risultati tabellari della sezione 5.2.1.**





## 5.2 Conclusioni - applicazione per carico lineare orizzontale

### 5.2.1 Risultati basati sulla resistenza ultima del vetro e del profilo

- a) Tabella di predimensionamento DF810FR senza corrimano portante ma con protezione dei bordi - in base alla resistenza ultima del profilo e del vetro senza limitazioni di deformazione<sup>4</sup>

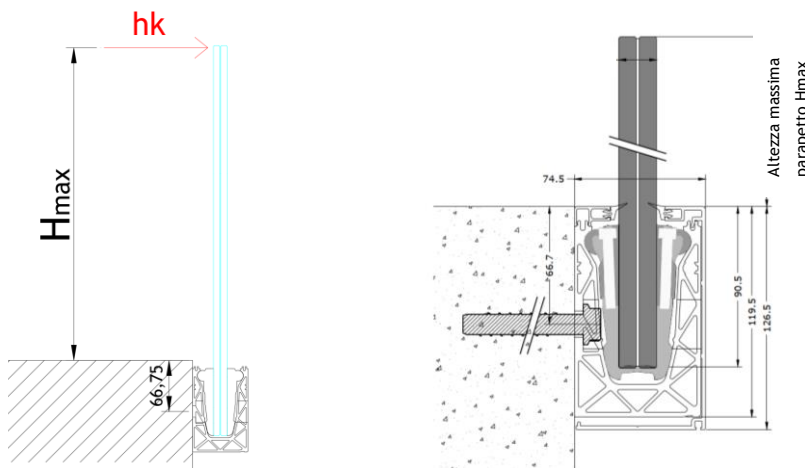
DF810FR				
Applicazione	Composizione lastre	Interasse ancoranti in [cm]	Altezza massima del parapetto <sup>2</sup> (Hmax) in [cm] Piano di riferimento = bordo superiore del profilo vedi grafici sotto	
			Cat. A, B e D secondo SIA 261-2020 $h_k=0,8 \text{ kN/m}$	Cat. C senza possibili affollamenti secondo SIA 261-2020 $h_k=1,6 \text{ kN/m}$
Interna + Esterna <sup>1</sup> - solo carichi lineari orizzontali <sup>2</sup>	88.4 Temperato con PVB/Sentryglas®	20	110	50
	88.4 Temperato con PVB/Sentryglas	40	110	-
	1010.4 Temperato con PVB/Sentryglas®	20	130	90

<sup>1</sup> Applicazione interna ed esterna in conformità alle specifiche del benessere tecnico AbZ Z-70.353 (Sentryglas®)

<sup>2</sup> I valori della tabella si riferiscono ai soli carichi lineari orizzontali di spinta verso l'esterno nella direzione di caduta (vedi direzione  $h_k$  nella grafica sottostante).

<sup>4</sup> I valori della tabella tengono conto solo della resistenza ultima del parapetto (vetro e profilo) senza limiti di deformazione secondo la norma SIA-2057-2021, capitolo 4.4. Questo fatto deve essere concordato con il committente per il progetto specifico.

Rappresentazione del sistema e della direzione del carico per i risultati riassunti nella tabella:



- b) Tabella di predimensionamento DF810FR con corrimano portante<sup>3</sup> in base alla resistenza ultima del profilo e del vetro senza limitazioni di deformazione<sup>4</sup>

DF810FR				
Applicazione	Composizione lastre	Interasse ancoranti in [cm]	Altezza massima del parapetto <sup>2</sup> (Hmax) in [cm] Piano di riferimento = bordo superiore del profilo vedi grafici sotto	
			Cat. A, B e D secondo SIA 261-2020 $h_k=0,8 \text{ kN/m}$	Cat. C senza possibili affollamenti secondo SIA 261-2020 $h_k=1,6 \text{ kN/m}$
<b>Interna + Esterna<sup>1</sup></b> - solo carichi lineari orizzontali <sup>2</sup>	88.4 Temperato con PVB/Sentryglas®	20	120	60
	88.4 Temperato con PVB/Sentryglas®	40	110	-
	1010.4 Temperato con PVB	20	130	90
	1010.4 Temperato con Sentryglas®	20	130	100
<b>Interna<sup>1</sup></b> - solo carichi lineari orizzontali <sup>2</sup>	1010.4 Temperato con Sentryglas®	20	130	110

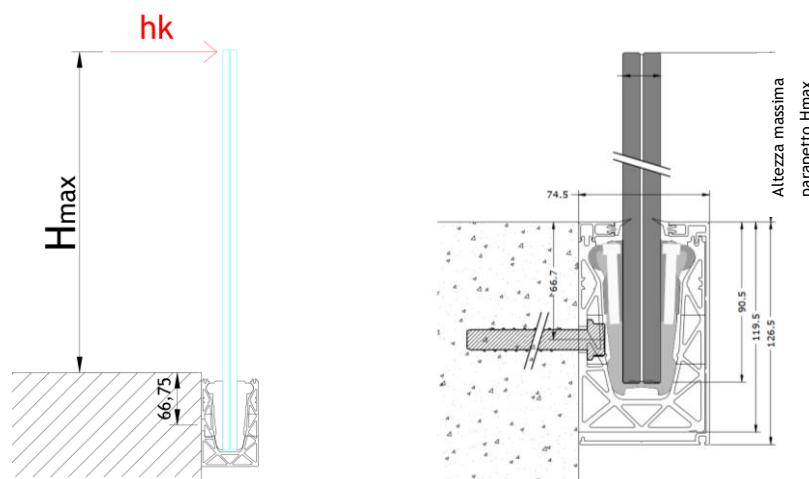
<sup>1</sup> Applicazione interna ed esterna in conformità alle specifiche del benessere tecnico AbZ Z-70.353 (Sentryglas®)

<sup>2</sup> I valori della tabella si riferiscono ai soli carichi lineari orizzontali di spinta verso l'esterno nella direzione di caduta (vedi direzione  $h_k$  nella grafica sottostante).

<sup>3</sup> Lo scenario di rottura della balaustra in vetro (in conformità alla norma DIN 18008-4, 6.1.2) e la verifica del corrimano portante devono essere analizzati in base al progetto specifico; i valori della tabella si riferiscono vetro stratificato intatto.

<sup>4</sup> I valori della tabella tengono conto solo della resistenza ultima del parapetto (vetro e profilo) senza limiti di deformazione secondo la norma SIA-2057-2021, capitolo 4.4. Questo fatto deve essere concordato con il committente per il progetto specifico.

Rappresentazione del sistema e della direzione del carico per i risultati riassunti nella tabella:



### 5.2.2 Risultati basati sulla limitazione della deformazione del vetro

- c) Tabella di predimensionamento DF810FR - basata sulla sola limitazione della deformazione del vetro secondo SIA 2057<sup>3 4</sup>

DF810FR			
Applicazione	Composizione lastre	Altezza massima del parapetto <sup>2</sup> (Hmax) in [cm] Piano di riferimento = bordo superiore del profilo vedi grafici sotto	
		Cat. A, B e D secondo SIA 261-2020 $h_k=0,8 \text{ kN/m}$	Cat. C senza possibili affollamenti secondo SIA 261-2020 $h_k=1,6 \text{ kN/m}$
<b>Interna + Esterna<sup>1</sup></b> - solo carichi lineari orizzontali <sup>2</sup>	88.4 Temperato con PVB	65	-
	88.4 Temperato con Sentryglas®	100	60
	1010.4 Temperato con PVB	95	60
	1010.4 Temperato con Sentryglas®	130	95
<b>Interna<sup>1</sup></b> - solo carichi lineari orizzontali <sup>2</sup>	1010.4 Temperato con Sentryglas®	130	125

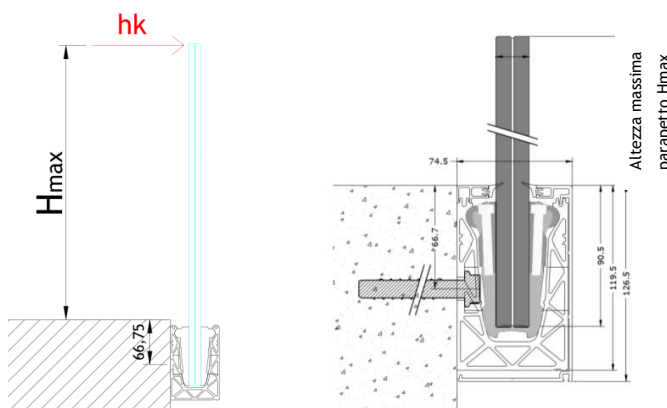
<sup>1</sup> Applicazione interna ed esterna in conformità alle specifiche del benessere tecnico AbZ Z-70.353 (Sentryglas®)

<sup>2</sup> I valori della tabella si riferiscono ai soli carichi lineari orizzontali di spinta verso l'esterno nella direzione di caduta (vedi direzione  $h_k$  nella grafica sottostante).

<sup>3</sup> I valori della tabella tengono conto solo del limite di deformazione del vetro in conformità alla norma SIA 2057-2021, capitolo 4.4, tabella 7, con il valore guida  $L_A/50$  ( $L_A$  come vetro a luce libera). Il limite di deformazione deve essere generalmente concordato con il cliente per il progetto specifico.

<sup>4</sup> Oltre alla limitazione della deformazione, la capacità portante del vetro e del profilo (resistenza ultima) deve essere verificata e garantita di conseguenza - si veda il capitolo 5.1.1 o 5.2.1 con le tabelle di predimensionamento a)+b).

Rappresentazione del sistema e della direzione del carico per i risultati riassunti nella tabella:

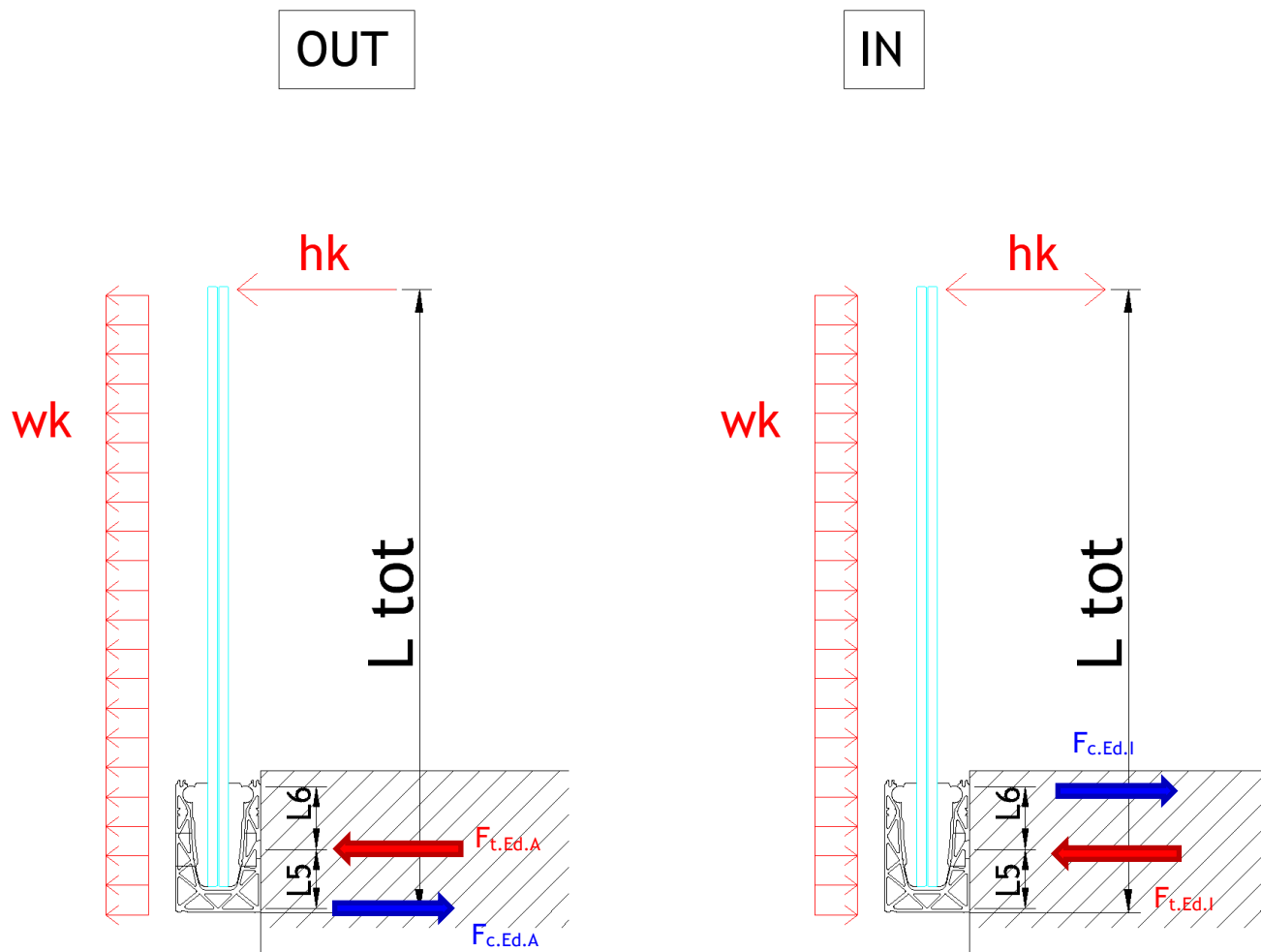


### 5.3 Forze sugli ancoranti

Di seguito sono riportate le forze di reazione sugli ancoraggi (componenti di compressione e trazione) o la formula per il loro calcolo basata su interasse pari a  $e=200$  mm per entrambe le direzioni di carico verso l'esterno e verso l'interno.

Verso l'esterno - direzione della caduta.

Verso l'interno - direzione opposta alla caduta



Per interasse pari a e=200 mm:

Verso l'esterno - direzione della caduta:

$$FtEd.A.e200 = e * \max \left( \frac{1.5 * hk * Ltot}{L5} + \frac{1.5 * 0.6 * wk * Ltot^2}{2 * L5}; \frac{1.5 * 0.7 * hk * Ltot}{L5} + \frac{1.5 * wk * Ltot^2}{2 * L5} \right)$$

$$FcEd.A.e200 =$$

$$e * \max \left( \frac{1.5 * hk * (Ltot - L5)}{L5} + \frac{1.5 * 0.6 * wk * ((Ltot - L5)^2 - L5^2)}{2 * L5}; \frac{1.5 * 0.7 * hk * (Ltot - L5)}{L5} + \frac{1.5 * wk * ((Ltot - L5)^2 - L5^2)}{2 * L5} \right)$$

con  $e = 200\text{mm}$  e  $L5 = 50\text{mm}$

Verso l'interno - direzione opposta alla caduta:

$$FtEd.I.e200 =$$

$$e * \max \left( \frac{1.5 * hk * (Ltot - L5 - L6)}{L6} + \frac{1.5 * 0.6 * wk * ((Ltot - L5 - L6)^2 - L6^2)}{2 * L6}; \frac{1.5 * hk * 0.7 * (Ltot - L5 - L6)}{L6} + \frac{1.5 * wk * ((Ltot - L5 - L6)^2 - L6^2)}{2 * L6} \right)$$

$$FcEd.I.e200 =$$

$$e * \max \left( \frac{1.5 * hk * (Ltot - L5)}{L6} + \frac{1.5 * 0.6 * wk * (Ltot - L5)^2}{2 * L6}; \frac{1.5 * 0.7 * hk * (Ltot - L5)}{L6} + \frac{1.5 * wk * (Ltot - L5)^2}{2 * L6} \right)$$

con  $e = 200\text{mm} + L6 = 53\text{mm}$

## Allegati - Calcolo numerico

### a) Fondamenti di calcolo

23065 Defender 810 - GER+CH, Logli

DF810FR17 und DF810FR21

Einbauort: Deutschland, Schweiz

$$\gamma_{perm} := 1.35$$

$$\gamma_{var} := 1.5$$

Legierung Aluprofile: EN AW6063-T6 mit  $t \leq 25$  mm

$$f_{ok} := 160 \text{ MPa} \quad f_{uk} := 195 \text{ MPa} \quad \gamma_{0alu} := 1.10 \quad \gamma_{1alu} := 1.10 \quad \gamma_{2alu} := 1.25$$

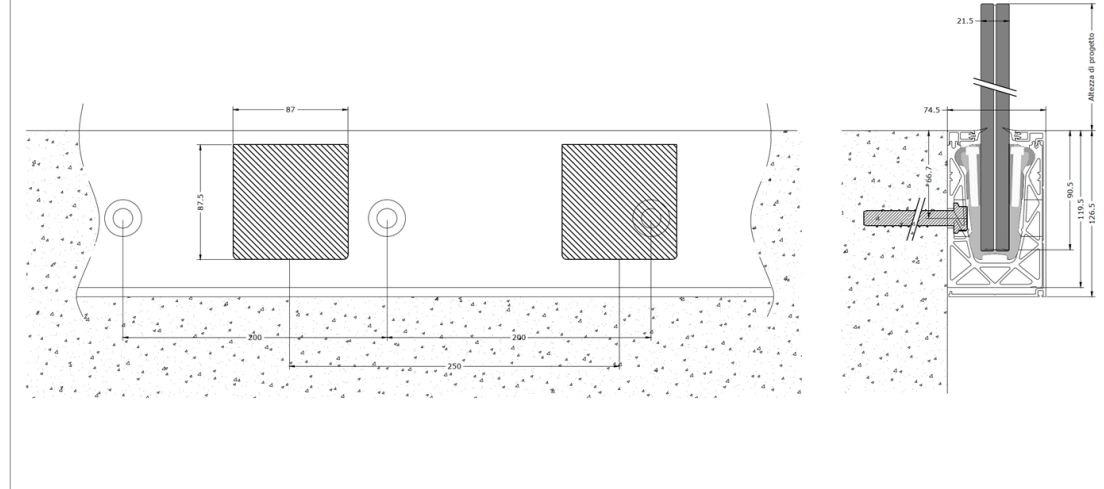
$$E_{alu} := 70000 \text{ MPa} \quad \rho_{alu} := 27 \frac{\text{kN}}{\text{m}^3}$$

$$f_{od} := \frac{f_{ok}}{\gamma_{0alu}} = 145.4545 \frac{\text{N}}{\text{mm}^2}$$

Sistema per parapetti DF810FR21  
per posa laterale di vetri stratificati 10.10/2 o 10.10/4 (in figura rappresentato 10.10/4)  
alluminio 6063 T6

pinze e cunei in POM viti M6 in acciaio INOX  
profili di finitura in alluminio

SCALA 1:2  
misure in mm se non diversamente indicato



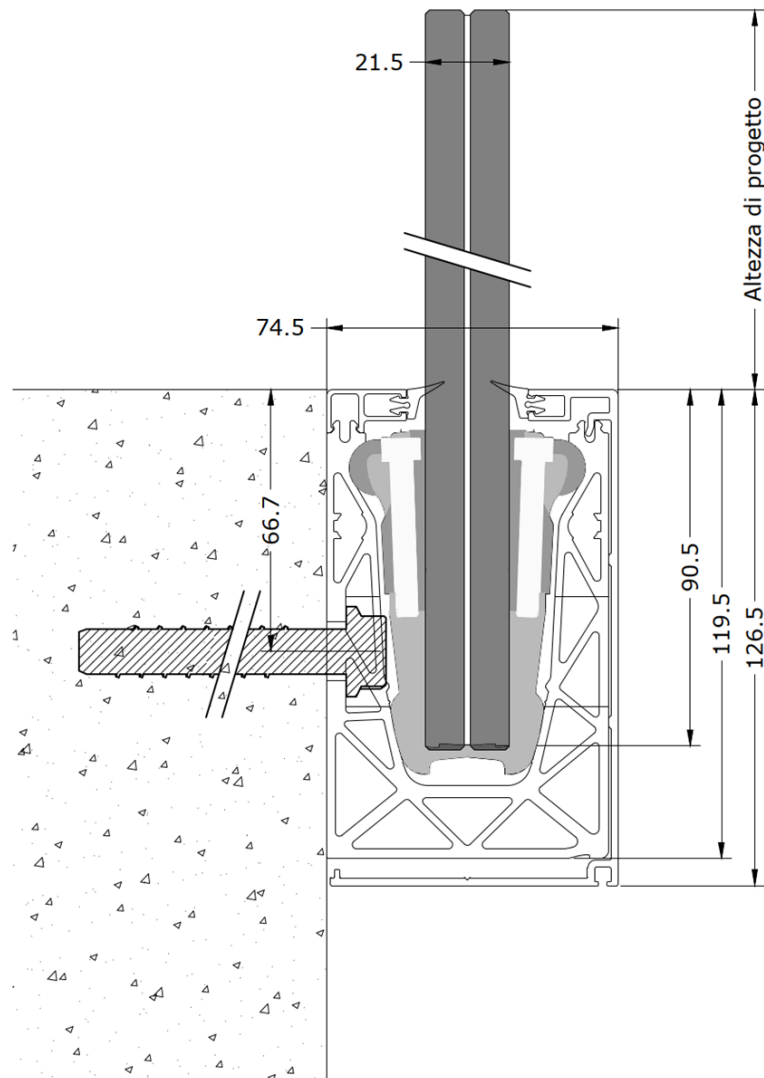
**BESTIMMUNG REAKTIONSKRÄFTE GLAS / PROFIL**

$$q_{max.ek.out} := 1.60 \frac{\text{kN}}{\text{m}}$$

$$q_{max.ed.out} := q_{max.ek.out} \cdot \gamma_{var} = 2.4 \frac{\text{kN}}{\text{m}}$$

$$q_{max.ek.in} := 1.80 \frac{\text{kN}}{\text{m}}$$

$$q_{max.ed.in} := q_{max.ek.in} \cdot \gamma_{var} = 2.7 \frac{\text{kN}}{\text{m}}$$



**a) In Absturzrichtung nach außen**

$$H_{tot} := 1220 \text{ mm}$$

$$l_4 := 29.5 \text{ mm}$$

$$l_3 := 70 \text{ mm}$$

$$l_{glass.1} := H_{tot} - l_3 - l_4 = 1120.5 \text{ mm}$$

$$e_{fix} := 200 \text{ mm}$$

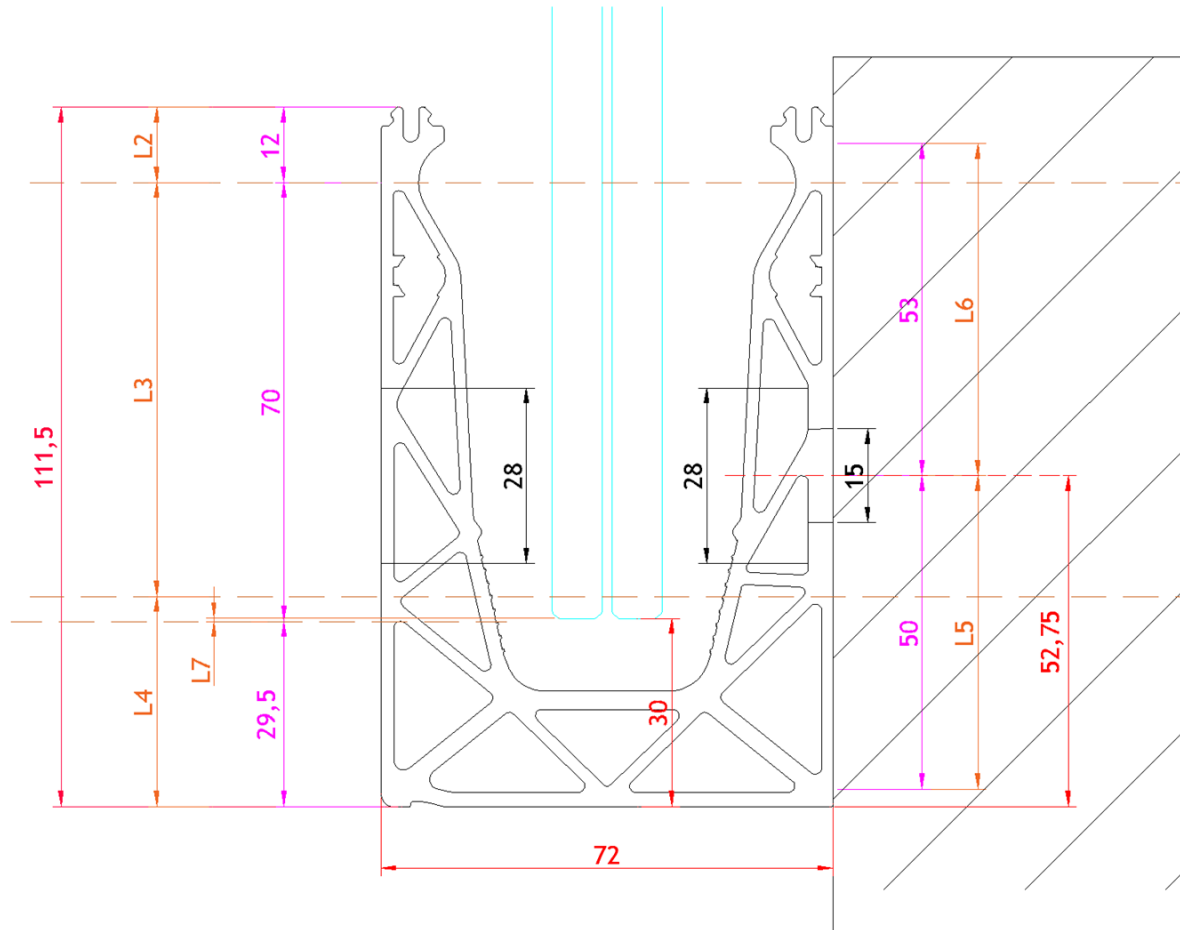
$$H_{Ed.1.out} := q_{max.ed.out} \cdot \left( \frac{l_{glass.1} + l_3}{l_3} \right) = 40.8171 \frac{\text{kN}}{\text{m}}$$

$$H_{Ed.1.out} \cdot e_{fix} = 8.1634 \text{ kN}$$

$$H_{Ed.2.out} := q_{max.ed.out} \cdot \left( \frac{l_{glass.1}}{l_3} \right) = 38.4171 \frac{\text{kN}}{\text{m}}$$

$$H_{Ed.2.out} \cdot e_{fix} = 7.6834 \text{ kN}$$

$$H_{Ed.1.out} - H_{Ed.2.out} = 2.4 \frac{\text{kN}}{\text{m}}$$



**b) Gegen die Absturzrichtung nach innen**

$$H_{tot} = 1220 \text{ mm}$$

$$l_{glass.1} := H_{tot} - l_3 - l_4 = 1120.5 \text{ mm}$$

$$e_{fix} := 200 \text{ mm}$$

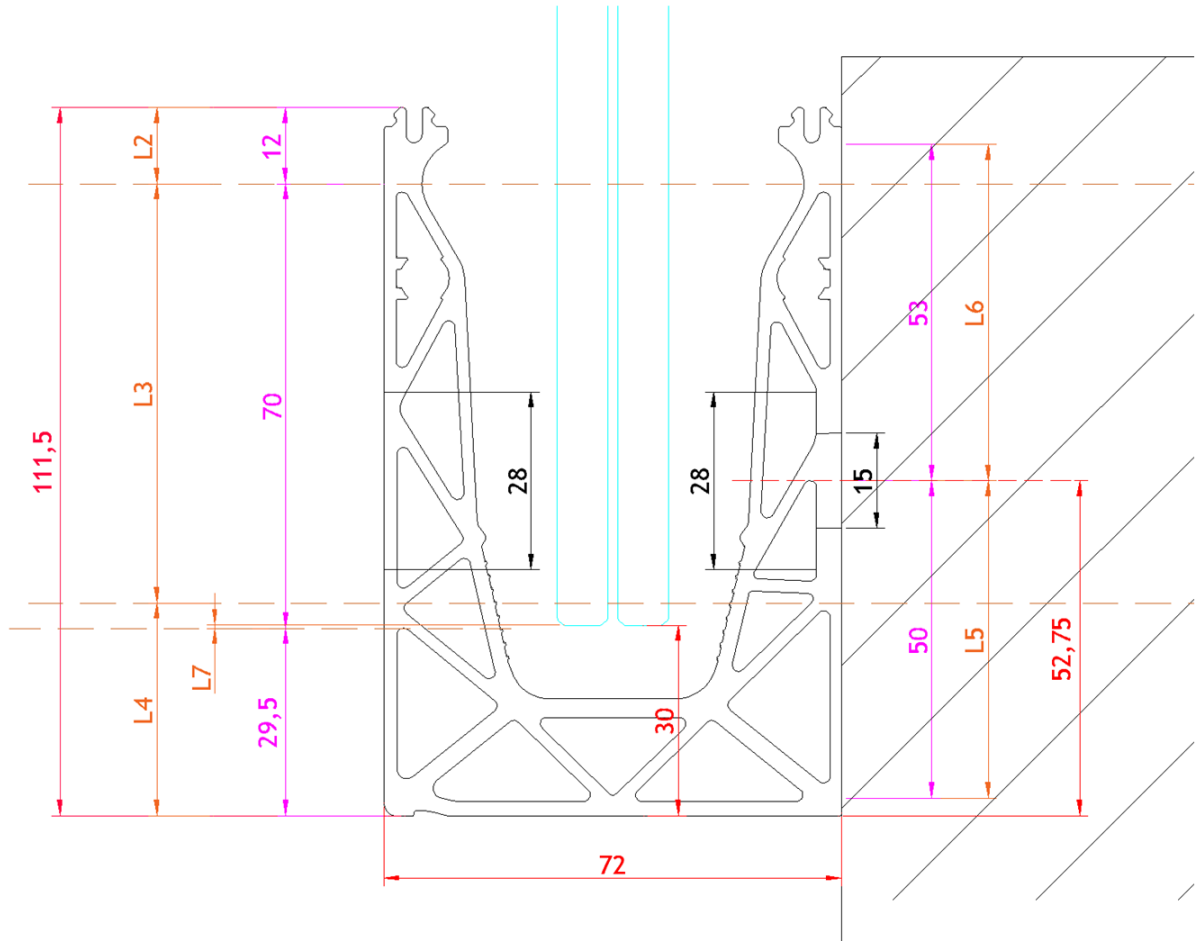
$$H_{Ed.1.in} := q_{max.ed.in} \cdot \left( \frac{l_{glass.1} + l_3}{l_3} \right) = 45.9193 \frac{\text{kN}}{\text{m}}$$

$$H_{Ed.1.in} \cdot e_{fix} = 9.1839 \text{ kN}$$

$$H_{Ed.2.in} := q_{max.ed.in} \cdot \left( \frac{l_{glass.1}}{l_3} \right) = 43.2193 \frac{\text{kN}}{\text{m}}$$

$$H_{Ed.2.in} \cdot e_{fix} = 8.6439 \text{ kN}$$

$$H_{Ed.1.in} - H_{Ed.2.in} = 2.7 \frac{\text{kN}}{\text{m}}$$



**BESTIMMUNG REAKTIONSKRÄFTE PROFIL AUF UNTERGRUND**

$$H_{tot} = 1220 \text{ mm}$$

$$l_5 := 50 \text{ mm}$$

$$l_6 := 53 \text{ mm}$$

$$l_8 := 52.75 \text{ mm}$$

$$e_{fix} := 200 \text{ mm}$$

Für die Belastung in Absturzrichtung (out)

$$q_{max.ed.out} = 2.4 \frac{\text{kN}}{\text{m}}$$

$$F_{t.Ed.out} := q_{max.ed.out} \cdot \left( \frac{(H_{tot} - l_8) + l_5}{l_5} \right) \cdot e_{fix} = 11.6856 \text{ kN}$$

$$F_{c.Ed.out} := q_{max.ed.out} \cdot \left( \frac{(H_{tot} - l_8)}{l_5} \right) \cdot e_{fix} = 11.2056 \text{ kN}$$

$$F_{h.Ed.out} := q_{max.ed.out} \cdot e_{fix} = 0.48 \text{ kN}$$

$$F_{t.Ed.out} - F_{c.Ed.out} = 0.48 \text{ kN}$$

Für die Belastung gegen die Absturzrichtung (in)

$$q_{max.ed.in} = 2.7 \frac{\text{kN}}{\text{m}}$$

$$F_{c.Ed.in} := q_{max.ed.in} \cdot \left( \frac{(H_{tot} - l_8 - l_6) + l_6}{l_6} \right) \cdot e_{fix} = 11.8927 \text{ kN}$$

$$F_{t.Ed.in} := q_{max.ed.in} \cdot \left( \frac{(H_{tot} - l_8 - l_6)}{l_6} \right) \cdot e_{fix} = 11.3527 \text{ kN}$$

$$F_{h.Ed.in} := q_{max.ed.in} \cdot e_{fix} = 0.54 \text{ kN}$$

$$F_{c.Ed.in} - F_{t.Ed.in} = 0.54 \text{ kN}$$

**b) Risultati del calcolo numerico DF810FR**